



**Értékünk
AZ
EMBER**
Humánerőforrás- fejlesztési Operatív Program



SZÉCHENYI ISTVÁN
EGYETEM, GYŐR



MISKOLCI EGYETEM

VÉGESELEM-MÓDSZER ALAPJAI

Páczelt István és Baksa Attila
ME, Mechanikai Tanszék

Szabó Tamás
SZE, Gépszerkezettan
és Mechanika Tanszék

© Prof. Dr. Páczelt István, 2007.

Készült a HEFOP 3.3.1-P.-2004-09-0102/1.0 pályázat támogatásával

Európa itt épül





Bevezetés

- A módszerek
- A tárgy célja

1. Fogalmak

2. Variációs elvek

3. Elemmodell

4. Egyváltozós feladat

5. Kompatibilis elemek

6. Kétváltozós feladatok

7. Lemezelemek

8. Modellezés

9. Rezgés

10. Intelligens szerk.

Bevezetés



A módszerek

Bevezetés

● A módszerek

● A tárgy célja

1. Fogalmak

2. Variációs elvek

3. Elemmodell

4. Egyváltozós feladat

5. Kompatibilis elemek

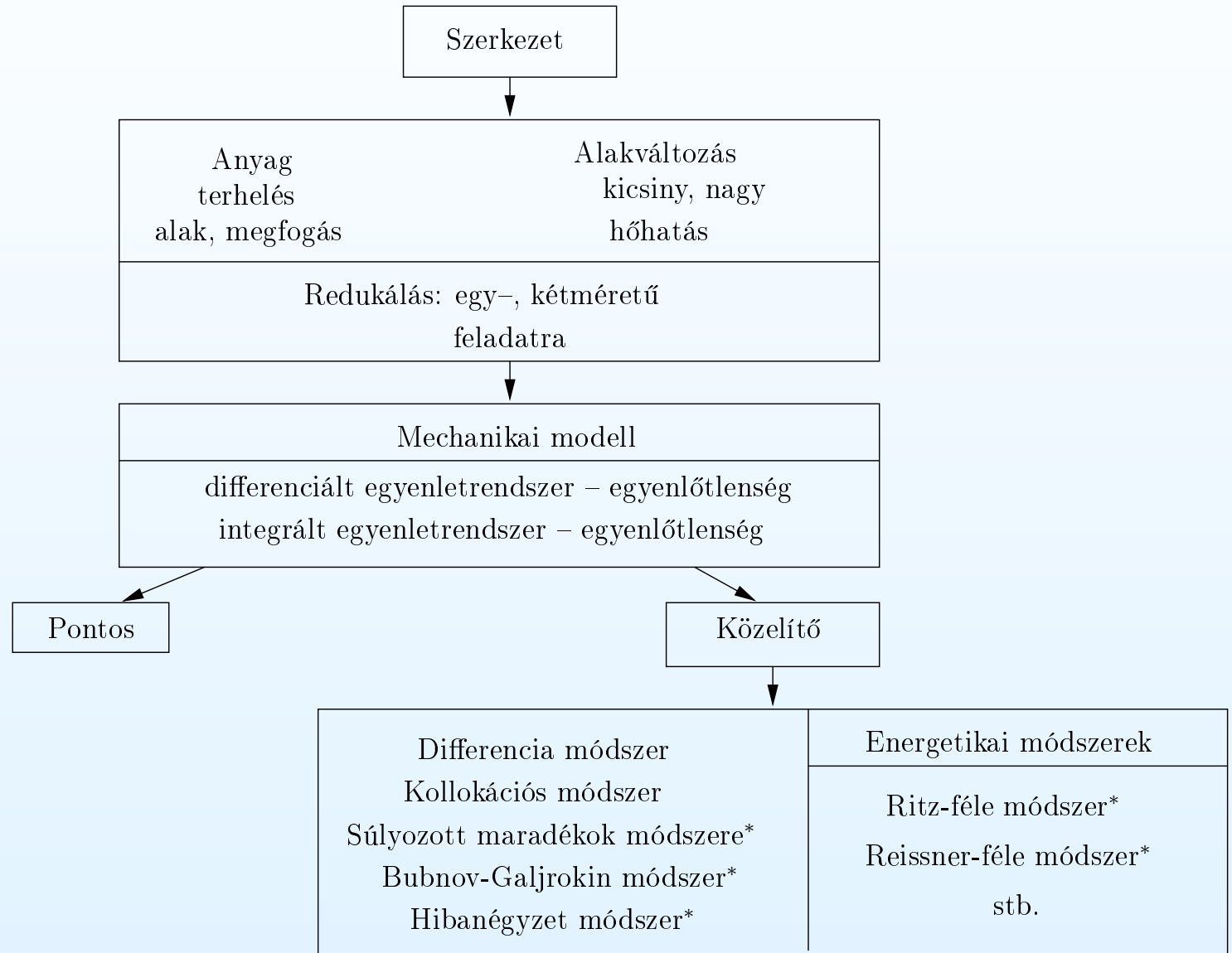
6. Kétváltozós feladatok

7. Lemezelemek

8. Modellezés

9. Rezgés

10. Intelligens szerk.





Bevezetés

- A módszerek
- **A tárgy célja**

1. Fogalmak

2. Variációs elvek

3. Elemmodell

4. Egyváltozós feladat

5. Kompatibilis elemek

6. Kétváltozós feladatok

7. Lemezelemek

8. Modellezés

9. Rezgés

10. Intelligens szerk.

A tárgy célja

A végeelem-módszer oktatás célja a műszaki mechanika alaptantárgyaira és a numerikus módszerek ismeretére alapozva, illetve építve olyan ismeret elsajátítása, amely az érdeklődőt képessé teszi

1. a módszer mechanikai alapjainak elsajátítására,
2. különféle elemek előállítására,
3. a modellezési kérdések behatóbb elemzésére,
4. a nagyméretű rendszerek numerikus kezelésére,
5. a kapott eredmények szakszerű értékelése,
6. végeelem-programrendszerek használatára.



Bevezetés

1. Fogalmak

- Mechanikai rendszer
- Funkcionál
- Variálás

2. Variációs elvek

3. Elemmodell

4. Egyváltozós feladat

5. Kompatibilis elemek

6. Kétváltozós feladatok

7. Lemezelemek

8. Modellezés

9. Rezgés

10. Intelligens szerk.

1. Fogalmak



Mechanikai rendszer

Bevezetés

1. Fogalmak

● Mechanikai rendszer

● Funkcionál

● Variálás

2. Variációs elvek

3. Elemmodell

4. Egyváltozós feladat

5. Kompatibilis elemek

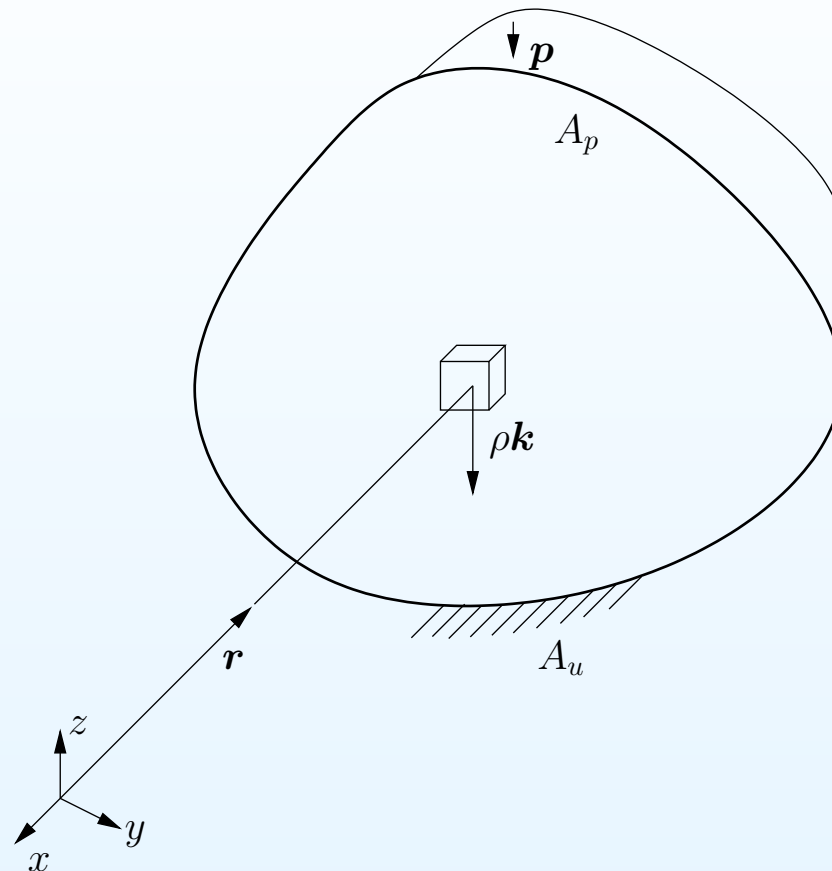
6. Kétfváltozós feladatok

7. Lemezelemek

8. Modellezés

9. Rezgés

10. Intelligens szerk.



$$\mathbf{r} = x\mathbf{e}_x + y\mathbf{e}_y + z\mathbf{e}_z.$$



A mechanikai rendszer

Bevezetés

1. Fogalmak

- **Mechanikai rendszer**
- Funkcionál
- Variálás

2. Variációs elvek

3. Elemmodell

4. Egyváltozós feladat

5. Kompatibilis elemek

6. Kétváltozós feladatok

7. Lemezelemek

8. Modellezés

9. Rezgésstan

10. Intelligens szerk.

Elmozdulásmező $\mathbf{u} = \mathbf{u}(\mathbf{r}) = ue_x + ve_y + we_z$

Alakváltozási tenzormező $\mathbf{A} = \mathbf{A}(\mathbf{r}) = \mathbf{A}^T(\mathbf{r})$

Feszültségi tenzormező: $\mathbf{T} = \mathbf{T}(\mathbf{r}) = \mathbf{T}^T(\mathbf{r})$

$$\mathbf{A}(\mathbf{r}) = \begin{bmatrix} \varepsilon_x & \frac{1}{2}\gamma_{xy} & \frac{1}{2}\gamma_{xz} \\ \frac{1}{2}\gamma_{yx} & \varepsilon_y & \frac{1}{2}\gamma_{yz} \\ \frac{1}{2}\gamma_{zx} & \frac{1}{2}\gamma_{zy} & \varepsilon_z \end{bmatrix}, \quad \varepsilon_x = \frac{\partial u}{\partial x}, \quad \gamma_{xy} = \frac{\partial u}{\partial y} + \frac{\partial v}{\partial x},$$

$$\mathbf{T}(\mathbf{r}) = \begin{bmatrix} \sigma_x & \tau_{xy} & \tau_{xz} \\ \tau_{yx} & \sigma_y & \tau_{yz} \\ \tau_{zx} & \tau_{zy} & \sigma_z \end{bmatrix}$$



Bevezetés

1. Fogalmak

● Mechanikai rendszer

● Funkcionál

● Variálás

2. Variációs elvek

3. Elemmodell

4. Egyváltozós feladat

5. Kompatibilis elemek

6. Kétfváltozós feladatok

7. Lemezelemek

8. Modellezés

9. Rezgés

10. Intelligens szerk.

A mechanikai rendszer

Geometriai egyenlet

$$\mathbf{A} = \frac{1}{2}(\mathbf{u} \circ \nabla + \nabla \circ \mathbf{u})$$

Egyensúlyi egyenlet

$$\mathbf{T} \cdot \nabla + \rho \mathbf{k} = \mathbf{0}$$

Anyagegyenlet

$$\mathbf{T} = \mathbf{D} \cdot \cdot \mathbf{A}$$

mely homogén, izotróp anyag esetén

$$\mathbf{T} = 2G \left(\mathbf{A} + \frac{\nu}{1 - 2\nu} A_I \mathbf{I} \right)$$

KPF:

$$\mathbf{u} = \mathbf{u}_0 \quad \mathbf{r} \in A_u$$

DPF:

$$\mathbf{T} \cdot \mathbf{n} = \mathbf{p} \quad \mathbf{r} \in A_p$$



Bevezetés

1. Fogalmak

● Mechanikai rendszer

● Funkcionál

● Variálás

2. Variációs elvek

3. Elemmodell

4. Egyváltozós feladat

5. Kompatibilis elemek

6. Kétváltozós feladatok

7. Lemezelemek

8. Modellelés

9. Rezgés

10. Intelligens szerk.

Kinematikailag lehetséges

Definíció 1.

Kinematikailag lehetséges (megengedett) elmozdulásmezőnek nevezünk minden olyan \mathbf{u}^* mezőt, amely folytonos, véges deriváltakkal rendelkezik és kielégíti a KPF-t, azaz

$$\mathbf{u}^* = \mathbf{u}_0 \quad \mathbf{r} \in A_u$$

$$\mathbf{A}^* = \frac{1}{2}(\mathbf{u}^* \circ \nabla + \nabla \circ \mathbf{u}^*) \quad \mathbf{r} \in V$$



Bevezetés

1. Fogalmak

● Mechanikai rendszer

● Funkcionál

● Variálás

2. Variációs elvek

3. Elemmodell

4. Egyváltozós feladat

5. Kompatibilis elemek

6. Kétfváltozós feladatok

7. Lemezelemek

8. Modellezés

9. Rezgés

10. Intelligens szerk.

Statikailag lehetséges

Definíció 2.

Statikailag lehetséges feszültségmezőnek nevezünk minden olyan $\bar{\mathbf{T}}$ tenzormezőt, mely kielégíti az egyensúlyi egyenletet és a dinamikai peremfeltételt, azaz

$$\bar{\mathbf{T}} \cdot \nabla + \rho \mathbf{k} = \mathbf{0} \quad \mathbf{r} \in V$$

$$\bar{\mathbf{T}} \cdot \mathbf{n} = \mathbf{p} \quad \mathbf{r} \in A_p$$



Bevezetés

1. Fogalmak

- Mechanikai rendszer
- **Funkcionál**
- Variálás

2. Variációs elvek

3. Elemmodell

4. Egyváltozós feladat

5. Kompatibilis elemek

6. Kétváltozós feladatok

7. Lemezelemek

8. Modellézés

9. Rezgés

10. Intelligens szerk.

Funkcionál

Funkcionál alatt az Ω értelmezési tartományon értelmezett függvénytől, annak különböző rendű deriváltjaitól függő skalár mennyiséget értünk, azaz

$$F = F(\mathbf{r}, \mathbf{u}, \mathbf{u}', \dots)$$

ami egyváltozós esetben

$$F = F\left(x, u(x), \frac{du}{dx} \dots\right) = F(x, u, u' \dots)$$

Például

$$F(x, u) = \int_0^1 a \left(\frac{du}{dx}\right)^2 dx - \int_0^1 up dx$$

A fizikai feladathoz rendelten az F -ben szereplő $\mathbf{u} = \mathbf{u}(\mathbf{r})$ függvény az ismeretlen, ennek meghatározása a cél.



Variálás

Bevezetés

1. Fogalmak

- Mechanikai rendszer
- Funkcionál
- Variálás

2. Variációs elvek

3. Elemmodell

4. Egyváltozós feladat

5. Kompatibilis elemek

6. Kétváltozós feladatok

7. Lemezelemek

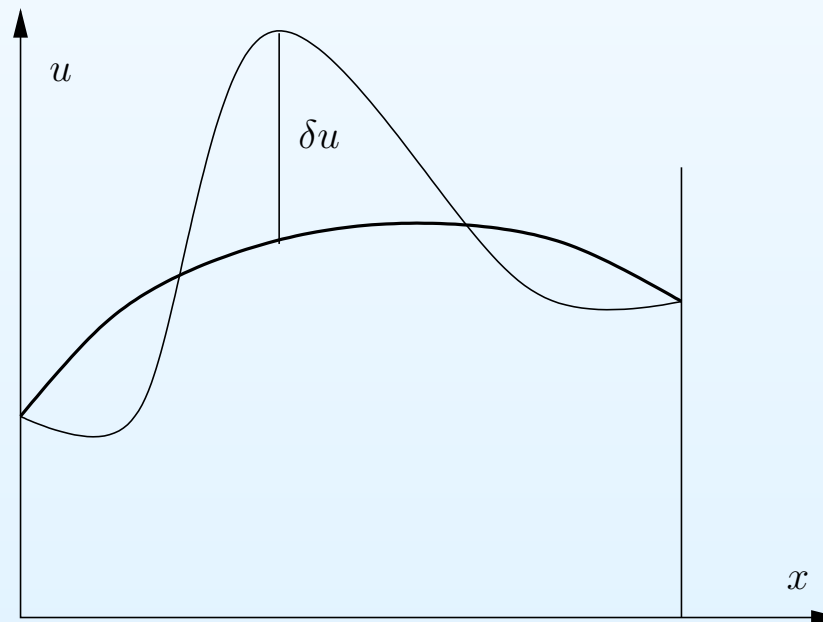
8. Modellezés

9. Rezgés

10. Intelligens szerk.

A függvény variációja alatt, annak kismértékű megváltoztatását értjük. Általában a megváltoztatott függvénytől meg szokás követelni a folytonosságot és deriválhatóságot, illetve feladattól függően bizonyos peremfeltételek kielégítését is.

A variálás jeleként δ -t szokás használni. Így u variációja alatt δu -t értjük.





Variálás

Bevezetés

1. Fogalmak

- Mechanikai rendszer
- Funkcionál
- **Variálás**

2. Variációs elvek

3. Elemmodell

4. Egyváltozós feladat

5. Kompatibilis elemek

6. Kétváltozós feladatok

7. Lemezelemek

8. Modellezés

9. Rezgés

10. Intelligens szerk.

A funkcionál első variációját $F = F(x, u, u')$ esetén

$$\delta F = \frac{\partial F}{\partial u} \delta u + \frac{\partial F}{\partial u'} \delta u'$$

jelenti, míg az F teljes differenciálja

$$dF = \frac{\partial F}{\partial x} dx + \frac{\partial F}{\partial u} du + \frac{\partial F}{\partial u'} du'$$

Állnak az alábbi összefüggések

$$\delta(F_1 + F_2) = \delta F_1 + \delta F_2$$

$$\delta(F_1 \cdot F_2) = \delta F_1 \cdot F_2 + F_1 \cdot \delta F_2$$

$$\delta F^n = n F^{n-1} \delta F$$

$$\delta \left(\frac{F_1}{F_2} \right) = \frac{\delta F_1 \cdot F_2 - F_1 \cdot \delta F_2}{(F_2)^2}$$



Bevezetés

1. Fogalmak

- Mechanikai rendszer
- Funkcionál
- **Variálás**

2. Variációs elvek

3. Elemmodell

4. Egyváltozós feladat

5. Kompatibilis elemek

6. Kétváltozós feladatok

7. Lemezelemek

8. Modellezés

9. Rezgés

10. Intelligens szerk.

Variálás

Az u függvény megváltoztatását egy α állandó és $v(x)$ függvényen keresztül kifejezve $\delta u = \alpha v$, ahol α paraméter, amely a különböző variációknál más és más, $v(x)$ egy másik függvény. Az u függvény variációjának deriváltja

$$\frac{d}{dx}(\delta u) = \frac{d}{dx}(\alpha v) = \alpha \frac{dv}{dx} = \alpha v' = \delta u' = \delta \left(\frac{du}{dx} \right)$$

vagyis a deriválás és a variálás sorrendje felcserélhető.
Integrálásnál pedig áll

$$\delta \int_{\Omega} u(x) dx = \int_{\Omega} \delta u(x) dx.$$



Bevezetés

1. Fogalmak

2. Variációs elvek

- Variációs elvek előnye
- Jelölések
- $\min \Pi_p$ elv
- Ritz-féle módszer
- Példa: Húzott-rúd
- Példa: Hajlított-nyírt
- $\min \Pi_p$ több testre

3. Elemmodell

4. Egyváltozós feladat

5. Kompatibilis elemek

6. Kétváltozós feladatok

7. Lemezelemek

8. Modellezés

9. Rezgésstan

10. Intelligens szerk.

2. Variációs elvek



Bevezetés

1. Fogalmak

2. Variációs elvek

● Variációs elvek előnye

- Jelölések
- $\min \Pi_p$ elv
- Ritz-féle módszer
- Példa: Húzott-rúd
- Példa: Hajlított-nyírt
- $\min \Pi_p$ több testre

3. Elemmodell

4. Egyváltozós feladat

5. Kompatibilis elemek

6. Kétfváltozós feladatok

7. Lemezelemek

8. Modellézés

9. Rezgésstan

10. Intelligens szerk.

Variációs elvek előnye

1. A vizsgált variációs elvhez kapcsolódó funkcionál nagyon gyakran fizikai tartalommal bír.
2. A funkcionál alacsonyabb rendű deriváltakat tartalmaz mint ami az eredeti feladat differenciál-egyenletrendszerében szerepel.
3. Variációs elvek révén bonyolult peremfeltételek, illesztési feltételek, mezőegyenletek vezethetők le, ill. igazolni lehet a megoldás létezését és egyértékűségét.
4. A számítás közelítésének jóságára a funkcionálban szereplő mezők „*a priori*” ki nem elégített perem és illesztési feltételeinek kielégülési mértékén keresztül kapunk szemléletes képet. A közelítés egyetlen skalárral, a funkcionál értékével minősíthető.
5. A variációs elvekre alapozva numerikusan stabil és konvergens eljárások származtathatók.
6. A közelítő mezők alkalmas megválasztásával jól kondicionáltságú algebrai egyenletrendszer nyerhető, amelynek számítógépes megoldására jól ismert hatékony eljárások használhatók.



Bevezetés

1. Fogalmak

2. Variációs elvek

- Variációs elvek előnye

- **Jelölések**

- $\min \Pi_p$ elv

- Ritz-féle módszer

- Példa: Húzott-rúd

- Példa: Hajlított-nyírt

- $\min \Pi_p$ több testre

3. Elemmodell

4. Egyváltozós feladat

5. Kompatibilis elemek

6. Kétváltozós feladatok

7. Lemezelemek

8. Modellézés

9. Rezgésstan

10. Intelligens szerk.

Jelölések

Legyen az elmozdulásmező kinematikailag lehetséges. Ekkor az elmozdulás mező variációja (virtuális elmozdulás) alatt

$$\delta \mathbf{u} = \mathbf{u}^* - \mathbf{u},$$

ahol \mathbf{u} az egzakt elmozdulás. Nyilvánvalóan teljesül: $\delta \mathbf{u} = \mathbf{0}$, ha $\mathbf{r} \in A_u$.

Hasonlóan értelmezhető az alakváltozás variációja:

$$\begin{aligned} \mathbf{A}^* &= \mathbf{A}(\mathbf{u}^*) = \mathbf{A}(\mathbf{u} + \delta \mathbf{u}) = \frac{1}{2} [(\mathbf{u} + \delta \mathbf{u}) \circ \nabla + \nabla \circ (\mathbf{u} + \delta \mathbf{u})] = \\ &= \frac{1}{2} \underbrace{(\mathbf{u} \circ \nabla + \nabla \circ \mathbf{u})}_A + \frac{1}{2} \underbrace{(\delta \mathbf{u} \circ \nabla + \nabla \circ \delta \mathbf{u})}_{\delta A} \end{aligned}$$

azaz

$$\mathbf{A}^* = \mathbf{A} + \delta \mathbf{A}$$



Elmozdulásmező variációja

Bevezetés

1. Fogalmak

2. Variációs elvek

- Variációs elvek előnye

• Jelölések

- $\min \Pi_p$ elv
- Ritz-féle módszer
- Példa: Húzott-rúd
- Példa: Hajlított-nyírt
- $\min \Pi_p$ több testre

3. Elemmodell

4. Egyváltozós feladat

5. Kompatibilis elemek

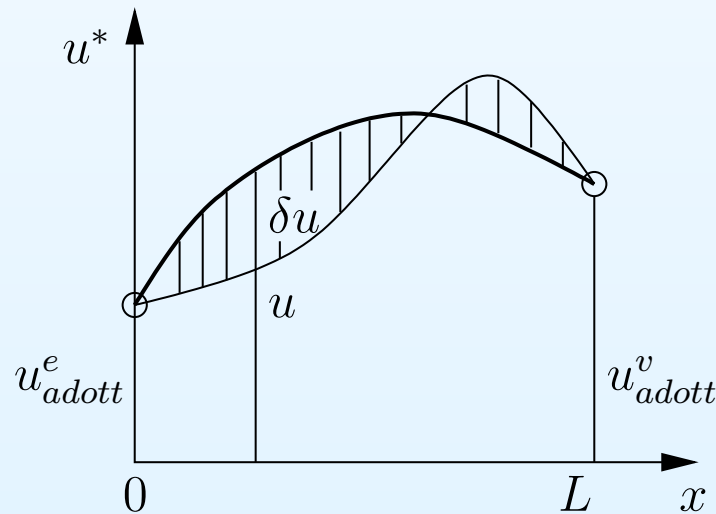
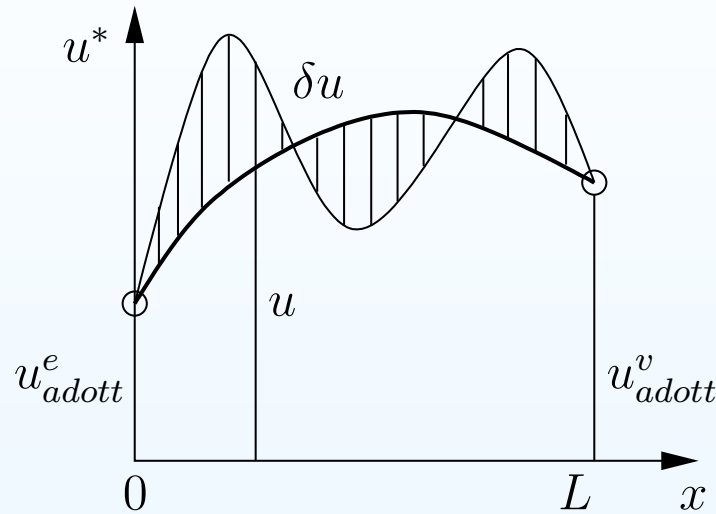
6. Kétfváltozós feladatok

7. Lemezelemek

8. Modellezés

9. Rezgés

10. Intelligens szerk.





Bevezetés

1. Fogalmak

2. Variációs elvek

• Variációs elvek előnye

• Jelölések

• $\min \Pi_p$ elv

• Ritz-féle módszer

• Példa: Húzott-rúd

• Példa: Hajlított-nyírt

• $\min \Pi_p$ több testre

3. Elemmodell

4. Egyváltozós feladat

5. Kompatibilis elemek

6. Kétváltozós feladatok

7. Lemezelemek

8. Modellezés

9. Rezgés

10. Intelligens szerk.

Teljes potenciális energia

A teljes potenciális energia rugalmas anyagú testre

$$\Pi_p = \Pi_p(\mathbf{u}) = \frac{1}{2} \int_V \mathbf{A} \cdot \cdot \mathbf{D} \cdot \cdot \mathbf{A} dV - \int_V \mathbf{u} \cdot \rho \mathbf{k} dV - \int_{A_p} \mathbf{u} \cdot \mathbf{p} dA$$

mely kifejezésében az első tag az alakváltozási energia

$$\frac{1}{2} \int_V \mathbf{A} \cdot \cdot \mathbf{D} \cdot \cdot \mathbf{A} dV = U_{alakov.}$$

míg a második a külső erők munkája

$$W_k = \int_{A_p} \mathbf{u} \cdot \mathbf{p} dA + \int_V \mathbf{u} \cdot \rho \mathbf{k} dV$$



Bevezetés

1. Fogalmak

2. Variációs elvek

- Variációs elvek előnye
- Jelölések
- **min Π_p elv**
- Ritz-féle módszer
- Példa: Húzott-rúd
- Példa: Hajlított-nyírt
- min Π_p több testre

3. Elemmodell

4. Egyváltozós feladat

5. Kompatibilis elemek

6. Kétváltozós feladatok

7. Lemezelemek

8. Modellezés

9. Rezgés

10. Intelligens szerk.

min Π_p elv

$$\begin{aligned} \Pi_p(\mathbf{u} + \delta\mathbf{u}) &= \frac{1}{2} \int_V (\mathbf{A} + \delta\mathbf{A}) \cdot \cdot \mathbf{D} \cdot \cdot (\mathbf{A} + \delta\mathbf{A}) dV - \\ &\quad - \int_V (\mathbf{u} + \delta\mathbf{u}) \cdot \rho \mathbf{k} dV - \int_{A_p} (\mathbf{u} + \delta\mathbf{u}) \cdot \mathbf{p} dA = \\ &= \frac{1}{2} \int_V \mathbf{A} \cdot \cdot \overbrace{\mathbf{D}}^T \cdot \cdot \mathbf{A} dV - \int_V \mathbf{u} \cdot \rho \mathbf{k} dV - \int_{A_p} \mathbf{u} \cdot \mathbf{p} dA + \end{aligned}$$

$\Pi_p(\mathbf{u})$: egzakt értékhez tartozó

$$+ \underbrace{\int_V \delta\mathbf{A} \cdot \cdot \overbrace{\mathbf{D}}^T \cdot \cdot \mathbf{A} dV - \int_V \delta\mathbf{u} \cdot \rho \mathbf{k} dV - \int_{A_p} \delta\mathbf{u} \cdot \mathbf{p} dA}_{\delta\Pi_p}$$

$\delta\Pi_p$: a potenciális energia első variációja

$$+ \underbrace{\frac{1}{2} \int_V \delta\mathbf{A} \cdot \cdot \overbrace{\mathbf{D}}^{\delta T} \cdot \cdot \delta\mathbf{A} dV}_{\delta^2\Pi_p \geq 0}$$



Bevezetés

1. Fogalmak

2. Variációs elvek

- Variációs elvek előnye
- Jelölések
- **min Π_p elv**
- Ritz-féle módszer
- Példa: Húzott-rúd
- Példa: Hajlított-nyírt
- min Π_p több testre

3. Elemmodell

4. Egyváltozós feladat

5. Kompatibilis elemek

6. Kétváltozós feladatok

7. Lemezelemek

8. Modellezés

9. Rezgés

10. Intelligens szerk.

min Π_p elv

$$\Pi_p(\mathbf{u}^*) = \Pi_p(\mathbf{u} + \delta \mathbf{u}) = \Pi_p(\mathbf{u}) + \delta \Pi_p + \delta^2 \Pi_p$$

ahol

$$\delta^2 \Pi_p = \frac{1}{2} \int_V \delta \mathbf{A} \cdot \cdot \mathbf{D} \cdot \cdot \delta \mathbf{A} dV \geq 0$$

hisz ez utóbbi kifejezés alakváltozási energiát fejez ki. Az első variáció zérus értéke $\delta \Pi_p = 0$ a potenciális energia stacionér pontját jelöli ki, amelyben a potenciális energia abszolút minimummal rendelkezik. A kinematikailag lehetséges elmozdulásmezőnél a potenciális energia mindig nagyobb, mint a tényleges mezőhöz tartozóé.

$$\Pi_p(\mathbf{u}^*) \geq \Pi_p(\mathbf{u})$$



Bevezetés

1. Fogalmak

2. Variációs elvek

- Variációs elvek előnye
- Jelölések
- **min Π_p elv**
- Ritz-féle módszer
- Példa: Húzott-rúd
- Példa: Hajlított-nyírt
- min Π_p több testre

3. Elemmodell

4. Egyváltozós feladat

5. Kompatibilis elemek

6. Kétfváltozós feladatok

7. Lemezelemek

8. Modellézés

9. Rezgésstan

10. Intelligens szerk.

min Π_p elv

A $\delta \Pi_p = 0$ feltétel a $\mathbf{T}(\mathbf{u}) = \mathbf{D} \cdot \cdot \mathbf{A}$, $\mathbf{A} = \mathbf{A}(\mathbf{u})$ jelöléssel

$$\delta \Pi_p = \int_V \delta \mathbf{A} \cdot \cdot \mathbf{T}(\mathbf{u}) dV - \int_V \delta \mathbf{u} \cdot \rho \mathbf{k} dV - \int_{A_p} \delta \mathbf{u} \cdot \mathbf{p} dA = 0$$

Az első integrál átalakításával

$$\int_V (\delta \mathbf{u} \circ \nabla) \cdot \cdot \mathbf{T} dV = \int_V (\mathbf{u} \cdot \mathbf{T} \cdot \nabla) dV - \int_V \delta \mathbf{u} \cdot (\mathbf{T} \cdot \nabla) dV$$

majd a Gauss-Osztrogradszkij tétel felhasználásával

$$- \int_V \delta \mathbf{u} \cdot [\mathbf{T}(\mathbf{u}) \cdot \nabla + \rho \mathbf{k}] dV + \int_{A_p} \delta \mathbf{u} \cdot [\mathbf{T}(\mathbf{u}) \cdot \mathbf{n} - \mathbf{p}] dA = 0$$

írható, mivel $\delta \mathbf{u} = \mathbf{0}$ az A_u felületen. Mit is mond ez az egyenlet?



Bevezetés

1. Fogalmak

2. Variációs elvek

- Variációs elvek előnye
- Jelölések
- **$\min \Pi_p$ elv**
- Ritz-féle módszer
- Példa: Húzott-rúd
- Példa: Hajlított-nyírt
- $\min \Pi_p$ több testre

3. Elemmodell

4. Egyváltozós feladat

5. Kompatibilis elemek

6. Kétfváltozós feladatok

7. Lemezelemek

8. Modellézés

9. Rezgés

10. Intelligens szerk.

$\min \Pi_p$ elv

Tétel:

A teljes potenciális energia minimumát meghatározó $\delta \Pi_p = 0$ stacionaritási feltétel által kijelölt pontban olyan elmozdulásmező alakul ki a testben, amely az eredetileg „a priori” előírt kinematikailag lehetséges elmozdulásmezőre kirótt feltételeket betartva, kielégíti az előzetesen nem biztosított egyensúlyi egyenletet, mint mezőegyenletet és a dinamikai peremfeltételt, vagyis szolgáltatja a rugalmasságtani feladat egzakt megoldását.

A tételből következik, hogy közelítő számítás felépítésekor miután u helyett u^* -ot használunk, az egyensúlyi egyenlet és a DPF már nem fog pontosan kielégülni.



Bevezetés

1. Fogalmak

2. Variációs elvek

- Variációs elvek előnye
- Jelölések
- $\min \Pi_p$ elv
- **Ritz-féle módszer**
- Példa: Húzott-rúd
- Példa: Hajlított-nyírt
- $\min \Pi_p$ több testre

3. Elemmodell

4. Egyváltozós feladat

5. Kompatibilis elemek

6. Kétfváltozós feladatok

7. Lemezelemek

8. Modellézés

9. Rezgésstan

10. Intelligens szerk.

Ritz-féle módszer

A tényleges mezőnél a potenciális energia abszolút minimummal rendelkezik. A közelítést speciális hatványfüggvények alkotta sorral képzik. Így az \mathbf{u}^* mezőt az alábbi módon közelítjük:

$$\mathbf{u}^* = \mathbf{u}_0^*(\mathbf{r}) + \sum_{i=1}^N (c_i \varphi_i(\mathbf{r}) \mathbf{e}_x + c_{i+N} \psi_i(\mathbf{r}) \mathbf{e}_y + c_{i+2N} \chi_i(\mathbf{r}) \mathbf{e}_z)$$

ahol $\mathbf{u}_0^*(\mathbf{r})$ kinetikai peremfeltételt kielégítő mező $\mathbf{u}_0^*(\mathbf{r}) = \mathbf{u}_0(\mathbf{r})$ $\mathbf{r} \in A_u$, $\varphi_i(\mathbf{r})$, $\psi_i(\mathbf{r})$, $\chi_i(\mathbf{r})$ általunk felvett közelítő függvények, amelyek eleget tesznek a $\varphi_i(\mathbf{r}) = \psi_i(\mathbf{r}) = \chi_i(\mathbf{r}) = 0$ $\mathbf{r} \in A_u$ homogén peremfeltételnek, folytonosak, deriválhatók, N a közelítő sorban felvett tagok száma, c_i ($i = 1, \dots, 3N$) ismeretlen állandók, paraméterek.



Bevezetés

1. Fogalmak

2. Variációs elvek

- Variációs elvek előnye
- Jelölések
- $\min \Pi_p$ elv
- **Ritz-féle módszer**
- Példa: Húzott-rúd
- Példa: Hajlított-nyírt
- $\min \Pi_p$ több testre

3. Elemmodell

4. Egyváltozós feladat

5. Kompatibilis elemek

6. Kétfváltozós feladatok

7. Lemezelemek

8. Modellezés

9. Rezgés

10. Intelligens szerk.

Ritz-féle módszer

Az \mathbf{u}^* mező variációja

$$\delta \mathbf{u}^* = \sum_{i=1}^N (\delta c_i \varphi_i(\mathbf{r}) \mathbf{e}_x + \delta c_{i+N} \psi_i(\mathbf{r}) \mathbf{e}_y + \delta c_{i+2N} \chi_i(\mathbf{r}) \mathbf{e}_z)$$

A potenciális energia az ismeretlen paraméterek függvényeként áll elő

$$\Pi_p = \Pi_p(c_1, \dots, c_{3N})$$

$$\delta \Pi_p = 0 = \delta c_1 \frac{\partial \Pi_p}{\partial c_1} + \dots + \delta c_i \frac{\partial \Pi_p}{\partial c_i} + \dots + \delta c_{3N} \frac{\partial \Pi_p}{\partial c_{3N}}$$

stacionaritási (minimum) feltételből

$$\frac{\partial \Pi_p}{\partial c_i} = 0 \quad i = 1, \dots, 3N$$

algebrai egyenletrendszert nyerjük a c_i állandók meghatározására.



Bevezetés

1. Fogalmak

2. Variációs elvek

- Variációs elvek előnye
- Jelölések
- $\min \Pi_p$ elv
- Ritz-féle módszer
- **Példa: Húzott-rúd**
- Példa: Hajlított-nyírt
- $\min \Pi_p$ több testre

3. Elemmodell

4. Egyváltozós feladat

5. Kompatibilis elemek

6. Kétváltozós feladatok

7. Lemezelemek

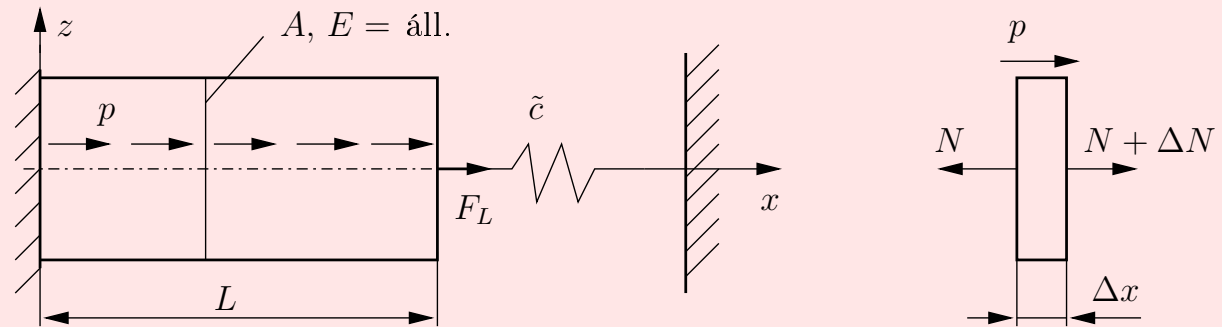
8. Modellézés

9. Rezgésstan

10. Intelligens szerk.

Példa: Húzott-rúd

2.1. feladat: A változó $A = A(x)$ keresztmetszetű rúd hossz tengelye mentén megoszló terhelés intenzitása legyen p . A rúd $x = 0$ helyen megfogott, míg az $x = L$ végén F_L koncentrált erő hat, továbbá \tilde{c} állandójú rugón keresztül csatlakozik a talajhoz.



Megoldás: A teljes potenciális energia

$$\Pi_p = \underbrace{\frac{1}{2} \int_V \sigma_x \varepsilon_x dV}_{\text{rúd belső alakváltozási energiája}} - \underbrace{\int_L u p dx - u_L F_L}_{\text{külső terhelés munkája}} + \underbrace{\frac{1}{2} \tilde{c} (u_L)^2}_{\text{rúgóenergia}} \quad (2.1-a)$$



Bevezetés

1. Fogalmak

2. Variációs elvek

- Variációs elvek előnye
- Jelölések
- $\min \Pi_p$ elv
- Ritz-féle módszer
- **Példa: Húzott-rúd**
- Példa: Hajlított-nyírt
- $\min \Pi_p$ több testre

3. Elemmodell

4. Egyváltozós feladat

5. Kompatibilis elemek

6. Kétváltozós feladatok

7. Lemezelemek

8. Modellézés

9. Rezgés

10. Intelligens szerk.

Példa: Húzott-rúd

A rudaknál használt hipotézis szerint a keresztmetszetben $\sigma_x = E\varepsilon_x = \text{áll. feszültség}$ keletkezik, ahol $\varepsilon_x = \frac{du}{dx} \equiv u'$, E Young féle rugalmassági modulus. Így

$$\Pi_p = \frac{1}{2} \int_L AE(u')^2 dx - \int_L pu dx - F_L u_L + \frac{1}{2} \tilde{c}u_L^2 \quad (2.1-b)$$

A variációs számítás szabálya szerint

$$\delta u^2 = 2u \cdot \delta u \quad (2.1-c)$$

és így

$$\delta \Pi_p = \int_L AEu' \delta u' dx - \int_L \delta u p dx - \delta u_L F_L + \tilde{c}u_L \delta u_L = 0$$

Az első integrált a szorzatintegrálási szabály szerint átalakítva

$$\delta \Pi_p = AEu' \delta u \Big|_0^L - \int_L [(AEu')' + p] \delta u dx - \delta u_L (F_L - \tilde{c}u_L) = 0$$

$$\delta \Pi_p = \delta u_L \cdot [AEu' \Big|_L - F_L + \tilde{c}u_L] - \int_L [(AEu')' + p] \delta u dx = 0 \quad (2.1-d)$$

variációs egyenlethez jutunk.



Bevezetés

1. Fogalmak

2. Variációs elvek

- Variációs elvek előnye
- Jelölések
- $\min \Pi_p$ elv
- Ritz-féle módszer
- **Példa: Húzott-rúd**
- Példa: Hajlított-nyírt
- $\min \Pi_p$ több testre

3. Elemmodell

4. Egyváltozós feladat

5. Kompatibilis elemek

6. Kétváltozós feladatok

7. Lemezelemek

8. Modellezés

9. Rezgés

10. Intelligens szerk.

Példa: Húzott-rúd

Az első tag eltűnéséből a

$$N_L \equiv (AEu)'_L = F_L - \tilde{c}u_L \quad (2.1-e)$$

dinamikai peremfeltételt, míg az integrál eltűnéséből az

$$(AEu')' = -p, \quad (N' = -p) \quad (2.1-f)$$

egyensúlyi egyenletet nyertük. Ez utóbbit hagyományos úton is megkaphatjuk. Véve a rúd elemi részét, a rá ható tengelyirányú erők egyensúlyi feltételéből $dN + p\Delta x = 0$, illetve $N' = -p$ következik, ami egybeesik a $\delta\Pi_p = 0$ feltételnél kappal.

Legyen $AE = \text{áll.}$ Közelítsük az u mezőt négyzetes hatvány függvényen keresztül.

$$u = c_0 + c_1x + c_2x^2 \quad (2.1-g)$$

Mivel $x = 0$ -nál $u = 0$, $c_0 = 0$ következik. A (2.1-g) alatti közelítéssel $u' = c_1 + 2c_2x$, továbbá

$$\begin{aligned} \Pi_p = & \frac{1}{2} \int_L AE(c_1 + 2c_2x)^2 dx - \int p(c_1x + c_2x^2) dx - \\ & - F_L(c_1L + c_2L^2) + \frac{1}{2}\tilde{c}(c_1L + c_2L^2)^2 \end{aligned}$$

illetve



Bevezetés

1. Fogalmak

2. Variációs elvek

- Variációs elvek előnye
- Jelölések
- $\min \Pi_p$ elv
- Ritz-féle módszer
- **Példa: Húzott-rúd**
- Példa: Hajlított-nyírt
- $\min \Pi_p$ több testre

3. Elemmodell

4. Egyváltozós feladat

5. Kompatibilis elemek

6. Kétváltozós feladatok

7. Lemezelemek

8. Modellezés

9. Rezgésstan

10. Intelligens szerk.

Példa: Húzott-rúd

$$\delta \Pi_p = \int_L AE(c_1 + 2c_2x)(\delta c_1 + 2\delta c_2x) dx - \int_L p(\delta c_1x + \delta c_2x^2) dx - F_L(\delta c_1L + \delta c_2L^2) + \tilde{c}(c_1L + c_2L^2)(\delta c_1L + \delta c_2L^2)$$

Rendezve az egyenletet

$$\delta \Pi_p = 0 = \delta c_1 \left[\int_L AE(c_1 + 2c_2x) dx - \int_L px dx - F_L \cdot L + \tilde{c}(c_1L + c_2L^2)L \right] + \delta c_2 \left[\int_L AE(c_1 + 2c_2x) 2x dx - \int_L px^2 dx - F_L \cdot L^2 + \tilde{c}(c_1L + c_2L^2)L^2 \right]$$

ami rövidebben

$$\delta \Pi_p = \delta c_1 \frac{\partial \Pi_p}{\partial c_1} + \delta c_2 \frac{\partial \Pi_p}{\partial c_2} = 0 \quad (2.1-h)$$

alakban is felírható.



Bevezetés

1. Fogalmak

2. Variációs elvek

- Variációs elvek előnye
- Jelölések
- $\min \Pi_p$ elv
- Ritz-féle módszer
- **Példa: Húzott-rúd**
- Példa: Hajlított-nyírt
- $\min \Pi_p$ több testre

3. Elemmodell

4. Egyváltozós feladat

5. Kompatibilis elemek

6. Kétváltozós feladatok

7. Lemezelemek

8. Modellezés

9. Rezgés

10. Intelligens szerk.

Példa: Húzott-rúd

Mivel δc_i , ($i = 1, 2$) tetszőleges, $\partial \Pi_p / \partial c_i = 0$ egyenleteket nyerjük. Ezek jelen esetben

$$\left\{ \int_L AE[1; 2x] dx + [\tilde{c}L^2; \tilde{c}L^3] \right\} \begin{bmatrix} c_1 \\ c_2 \end{bmatrix} - \int_L px dx - F_L \cdot L = 0$$

$$\left\{ \int_L AE[2x; 4x^2] dx + [\tilde{c}L^3; \tilde{c}L^4] \right\} \begin{bmatrix} c_1 \\ c_2 \end{bmatrix} - \int_L px^2 dx - F_L \cdot L^2 = 0$$

$p = \text{áll. érték}$ mellett a végső megoldandó egyenletrendszer

$$\left(AE \begin{bmatrix} L & L^2 \\ L^2 & \frac{4}{3}L^3 \end{bmatrix} + \tilde{c} \begin{bmatrix} L^2 & L^3 \\ L^3 & L^4 \end{bmatrix} \right) \begin{bmatrix} c_1 \\ c_2 \end{bmatrix} = \begin{bmatrix} F_L L + p \frac{L^2}{2} \\ F_L L^2 + p \frac{L^3}{3} \end{bmatrix} \quad (2.1-i)$$



Bevezetés

1. Fogalmak

2. Variációs elvek

- Variációs elvek előnye
- Jelölések
- $\min \Pi_p$ elv
- Ritz-féle módszer
- **Példa: Húzott-rúd**
- Példa: Hajlított-nyírt
- $\min \Pi_p$ több testre

3. Elemmodell

4. Egyváltozós feladat

5. Kompatibilis elemek

6. Kétváltozós feladatok

7. Lemezelemek

8. Modellézés

9. Rezgésstan

10. Intelligens szerk.

Példa: Húzott-rúd

A esetek

1.

$$p = 0 \quad \tilde{c} = 0 \quad (\text{húzott rúd esete}) \Rightarrow c_1 = \frac{F_L}{AE}, \quad c_2 = 0$$

2.

$$p = p_0 = \text{áll.}, \quad F_L = 0, \quad \tilde{c} = 0 \Rightarrow c_1 = \frac{p_0}{AE} L, \quad c_2 = -\frac{p_0}{2AE}$$

3.

$p = p_0 = \text{áll.}, \quad F_L = 0, \quad \tilde{c} = 0$ a megoldást az előző két eset

szuperponálásából kapjuk $\Rightarrow c_1 = \frac{1}{AE} (F_L + p_0 L), \quad c_2 = \frac{p_0}{2AE}$

4.

$$p = 0, \quad AE = 0, \quad F_L \neq 0 \Rightarrow c_1 = \frac{F_L}{\tilde{c}}, \quad u_L = \frac{F_L}{\tilde{c}}$$

@@



Bevezetés

1. Fogalmak

2. Variációs elvek

- Variációs elvek előnye
- Jelölések
- $\min \Pi_p$ elv
- Ritz-féle módszer
- Példa: Húzott-rúd
- **Példa: Hajlított-nyírt**
- $\min \Pi_p$ több testre

3. Elemmodell

4. Egyváltozós feladat

5. Kompatibilis elemek

6. Kétváltozós feladatok

7. Lemezelemek

8. Modellézés

9. Rezgés

10. Intelligens szerk.

Példa: Hajlított-nyírt tartó

2.2. feladat: Vizsgáljuk az xz síkban elhelyezkedő hajlított-nyírt tartót. A tartó keresztmetszetének főtengelyei essenek egybe az xz síkra merőleges y tengellyel, ill. a z tengellyel. A keresztmetszetek súlypontjain áthaladó tengely ílymódon az x tengelynek felel meg. A tartóra z tengely irányába p sűrűségű megoszlóterhelés, az $x = L$ keresztmetszetben F_L^z nyíróerő és M_L^Y hajlítónyomaték működik. Ezen terhelések hatására a tartó az xz síkban deformálódik. A tartó középvonalának elmozdulás koordinátája z irányában w_0 .

Megoldás: A Bernoulli-féle hipotézis szerint a tartó keresztmetszete az alakváltozás után is merőleges marad a meggörbült középvonalra, a középvonal nem nyúlik meg. Ílymódon az xz koordinátájú P pont x irányú elmozdulása

$$u = -w'_0 z \quad (2.2-a)$$

amiből az x irányú fajlagos nyúlás

$$\varepsilon = u' = -w''_0 z \quad (2.2-b)$$

és a keletkező normál feszültség

$$\sigma = E\varepsilon = -Ew''_0 z \quad (2.2-c)$$

A teljes potenciális energia

$$\Pi_p = \frac{1}{2} \int_V \sigma \varepsilon dV - \int_L p w_0 dx - w_L F_L^z + w'_{oL} M_L^Y \quad (2.2-d)$$

ahol $w_{oL} = w_0(L)$, $w'_{oL} = w'_0(L)$.



Példa: Hajlított-nyírt tartó

Bevezetés

1. Fogalmak

2. Variációs elvek

- Variációs elvek előnye
- Jelölések
- $\min \Pi_p$ elv
- Ritz-féle módszer
- Példa: Húzott-rúd
- **Példa: Hajlított-nyírt**
- $\min \Pi_p$ több testre

3. Elemmodell

4. Egyváltozós feladat

5. Kompatibilis elemek

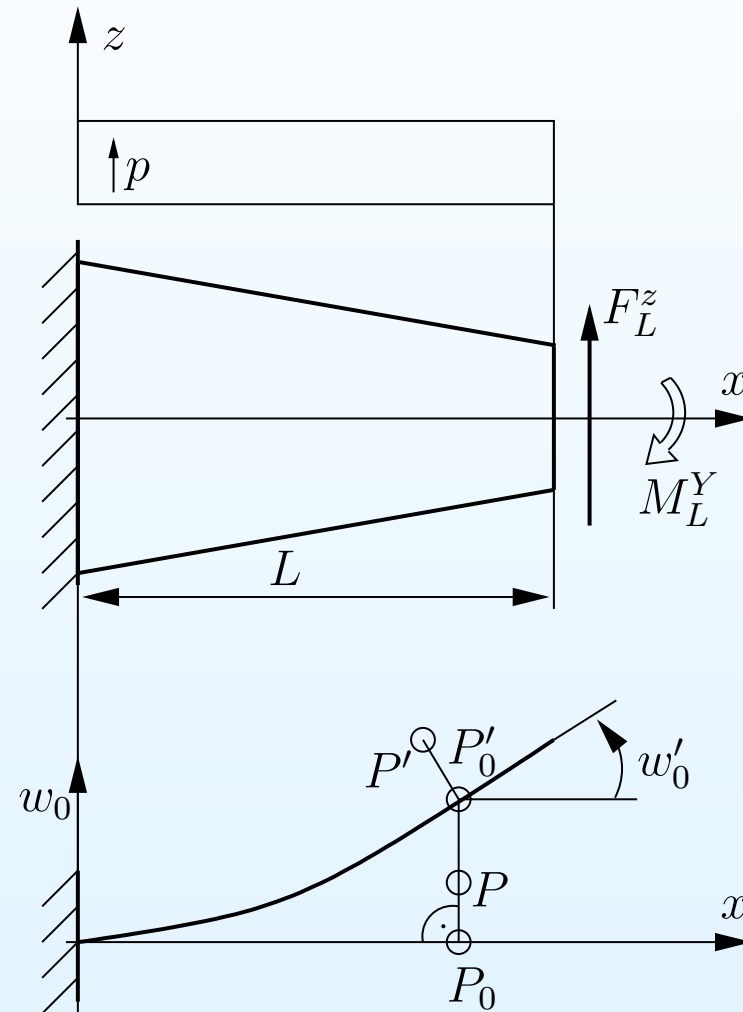
6. Kétváltozós feladatok

7. Lemezelemek

8. Modellezés

9. Rezgés

10. Intelligens szerk.





Bevezetés

1. Fogalmak

2. Variációs elvek

- Variációs elvek előnye
- Jelölések
- $\min \Pi_p$ elv
- Ritz-féle módszer
- Példa: Húzott-rúd
- **Példa: Hajlított-nyírt**
- $\min \Pi_p$ több testre

3. Elemmodell

4. Egyváltozós feladat

5. Kompatibilis elemek

6. Kétfváltozós feladatok

7. Lemezelemek

8. Modellézés

9. Rezgésstan

10. Intelligens szerk.

Példa: Hajlított-nyírt tartó

A (2.2-b), (2.2-c) egyenletek behelyettesítésével, a keresztmetszetbeli integrálás elvégzésével

$$\Pi_p = \frac{1}{2} \int_L I_y E (w_0'')^2 dx - \int_L p w_0 dx - w_{0L} F_L^z + w_{0L}' M_L^Y \quad (2.2-e)$$

A Π_p első variációját képezve, kapjuk azt, hogy

$$\delta \Pi_p = \int_L I_y E w_0'' \delta w_0' dx - \int_L p \delta w_0 dx - \delta w_{0L} F_L^z + \delta w_{0L}' M_L^Y \quad (2.2-f)$$

A szorzatintegrálási szabály kétszeri alkalmazásával, a tagok rendezésével stacionér helyzetben

$$\delta \Pi_p = [I_y E w_0'' |_L + M_L^Y] \delta w_{0L}' - [(I_y E w_0'')' |_L + F_L^z] \delta w_{0L} + \int_L [I_y E w_0'']' - p] \delta w_0 dx = 0 \quad (2.2-g)$$

hisz az $x = 0$ -nál lévő befalazás miatt $\delta w_0(0) = 0$, $\delta w_0'(0) = 0$.



Bevezetés

1. Fogalmak

2. Variációs elvek

- Variációs elvek előnye
- Jelölések
- $\min \Pi_p$ elv
- Ritz-féle módszer
- Példa: Húzott-rúd
- **Példa: Hajlított-nyírt**
- $\min \Pi_p$ több testre

3. Elemmodell

4. Egyváltozós feladat

5. Kompatibilis elemek

6. Kétváltozós feladatok

7. Lemezelemek

8. Modellézés

9. Rezgésstan

10. Intelligens szerk.

Példa: Hajlított-nyírt tartó

A variációk függetlenségéből adódóan egyrészt a dinamikai peremfeltételeket kapjuk meg:

$$M_L^Y = -I_y E w_0'' \Rightarrow M_y = -I_y E w_0'' \quad (2.2-h)$$

$$F_L^z = -(I_y E w_0'')'_L \Rightarrow F^z = -T_z = -(I_y E w_0'')' \quad (2.2-i)$$

ahol T_z a nyíróerő, másrészt az

$$(I_y E w_0'')'' = p \quad (2.2-j)$$

egyensúlyi egyenlethez jutunk.

A (2.2-h) és (2.2-i) alatt egyúttal az M_y hajlítónyomatéokra és T_z nyíróerőre is kapunk összefüggéseket. Prizmatikus tartónál $I_y = \text{áll.}$

Az alábbiakban építsük fel a közelítő megoldást $F_L^z = M_L^Y = 0$ esetén.

A közelítőfüggvény

$$w_0 = \sum_{n=2}^N c_n x^n \quad \text{mivel} \quad w_0(0) = w_0'(0) = 0 \quad \text{kell legyen.} \quad (2.2-k)$$



Példa: Hajlított-nyírt tartó

Bevezetés

1. Fogalmak

2. Variációs elvek

- Variációs elvek előnye
- Jelölések
- $\min \Pi_p$ elv
- Ritz-féle módszer
- Példa: Húzott-rúd
- **Példa: Hajlított-nyírt**
- $\min \Pi_p$ több testre

3. Elemmodell

4. Egyváltozós feladat

5. Kompatibilis elemek

6. Kétfváltozós feladatok

7. Lemezelemek

8. Modellezés

9. Rezgés

10. Intelligens szerk.

Továbbá a lehajlás másodrendű deriváltja

$$w_0'' = \sum_{n=2}^N n(n-1) c_n x^{n-2} = \sum_{n=2}^N g_n(x) c_n = [g_2 \dots g_N] \begin{bmatrix} c_2 \\ \vdots \\ c_N \end{bmatrix} = \mathbf{g}^T \mathbf{c} \quad (2.2-l)$$

A w_0 és w_0'' -nek (2.2-e)-be helyettesítésével a potenciális energia

$$\Pi_p = \frac{1}{2} \mathbf{c}^T \underbrace{\int_L \begin{bmatrix} g_2 \\ \vdots \\ g_N \end{bmatrix} I_y E [g_2 \dots g_N] dx}_{\mathbf{Q}} \mathbf{c} - \mathbf{c}^T \underbrace{\int_L \begin{bmatrix} x^2 \\ \vdots \\ x^n \end{bmatrix} p dx}_{\mathbf{b}}$$

a \mathbf{c} paraméterek függvényeként áll elő, vagyis

$$\Pi_p = \frac{1}{2} \mathbf{c}^T \mathbf{Q} \mathbf{c} - \mathbf{c}^T \mathbf{b} \quad (2.2-m)$$

ahonnan a minimumfeltételből a

$$\frac{\partial \Pi_p}{\partial \mathbf{c}} = \mathbf{0} = \mathbf{Q} \mathbf{c} - \mathbf{b} \quad (2.2-n)$$

algebrai egyenletrendszert nyerjük a \mathbf{c} állandók meghatározására.

@@



Több testből álló rendszerre felírt $\min \Pi_p$ elv

Bevezetés

1. Fogalmak

2. Variációs elvek

- Variációs elvek előnye
- Jelölések
- $\min \Pi_p$ elv
- Ritz-féle módszer
- Példa: Húzott-rúd
- Példa: Hajlított-nyírt
- $\min \Pi_p$ több testre

3. Elemmodell

4. Egyváltozós feladat

5. Kompatibilis elemek

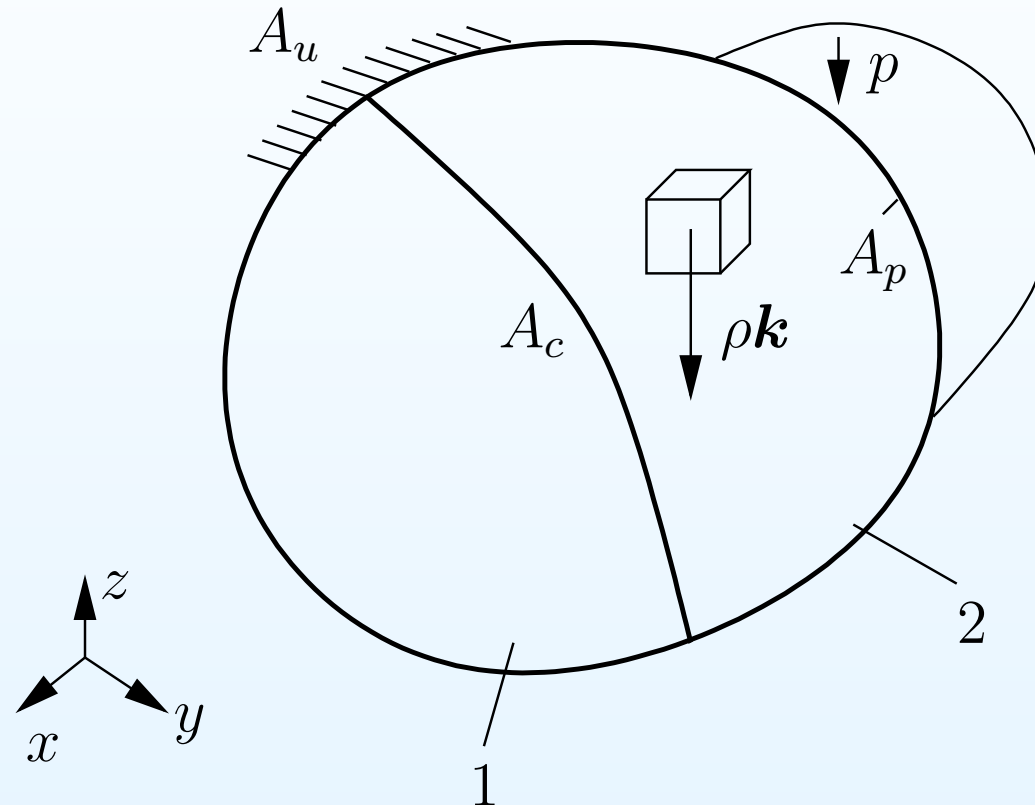
6. Kétfváltozós feladatok

7. Lemezelemek

8. Modellezés

9. Rezgésstan

10. Intelligens szerk.





Bevezetés

1. Fogalmak

2. Variációs elvek

- Variációs elvek előnye
- Jelölések
- $\min \Pi_p$ elv
- Ritz-féle módszer
- Példa: Húzott-rúd
- Példa: Hajlított-nyírt
- $\min \Pi_p$ több testre

3. Elemmodell

4. Egyváltozós feladat

5. Kompatibilis elemek

6. Kétfváltozós feladatok

7. Lemezelemek

8. Modellezés

9. Rezgés

10. Intelligens szerk.

Több testből álló rendszerre felírt $\min \Pi_p$ elv

Mindkét testre érvényesek a rugalmasságtan egyenletei, azaz

$$\mathbf{A}^e = \frac{1}{2} (\mathbf{u}^e \circ \nabla + \nabla \circ \mathbf{u}^e) \quad \mathbf{r} \in V^e$$

$$\mathbf{T}^e = \mathbf{D}^e \cdot \mathbf{A}^e \quad \mathbf{r} \in V^e$$

$$\mathbf{T}^e \cdot \nabla + \rho \mathbf{k}^e = \mathbf{0} \quad \mathbf{r} \in V^e$$

mint mezőegyenlet, továbbá érvényesek a peremfeltételek

$$\mathbf{u}^e = \mathbf{u}_0 \quad \mathbf{r} \in A_u^e$$

$$\mathbf{T}^e \cdot \mathbf{u}^e = \mathbf{p}^e \quad \mathbf{r} \in A_p^e$$



Bevezetés

1. Fogalmak

2. Variációs elvek

- Variációs elvek előnye
- Jelölések
- $\min \Pi_p$ elv
- Ritz-féle módszer
- Példa: Húzott-rúd
- Példa: Hajlított-nyírt
- $\min \Pi_p$ több testre

3. Elemmodell

4. Egyváltozós feladat

5. Kompatibilis elemek

6. Kétfváltozós feladatok

7. Lemezelemek

8. Modellézés

9. Rezgés

10. Intelligens szerk.

Több testből álló rendszerre felírt $\min \Pi_p$ elv

A testek csatlakozó A_c^e közös felületén, az eddig nem ismert illesztési feltételek állnak fenn. Feltételezésünk értelmében a közös felületi pontok együtt mozognak, nem válnak el egymástól, azaz a testek között kétoldalú érintkezési feltételek állnak fenn. A felületen lévő feszültségek egyensúlyban vannak.

Ily módon a KIF (kinematikai illesztési) és a DIF (dinamikai illesztési) feltételek az alábbiak:

$$\mathbf{u}^1 = \mathbf{u}^2 \quad \mathbf{r} \in A_c$$

$$\mathbf{T}^1 \cdot \mathbf{n}^1 = -\mathbf{T}^2 \cdot \mathbf{n}^2 \quad \mathbf{r} \in A_c$$

Itt \mathbf{n}^1 és \mathbf{n}^2 a testekből kifelé mutató normálvektorok.



Bevezetés

1. Fogalmak

2. Variációs elvek

- Variációs elvek előnye
- Jelölések
- $\min \Pi_p$ elv
- Ritz-féle módszer
- Példa: Húzott-rúd
- Példa: Hajlított-nyírt
- $\min \Pi_p$ több testre

3. Elemmodell

4. Egyváltozós feladat

5. Kompatibilis elemek

6. Kétváltozós feladatok

7. Lemezelemek

8. Modellezés

9. Rezgésstan

10. Intelligens szerk.

Több testből álló rendszerre felírt $\min \Pi_p$ elv

A vizsgált rendszer teljes potenciális energiája a két testre külön-külön felírható potenciális energiák összegeként áll elő:

$$\Pi_p = \sum_{e=1}^2 \left\{ \frac{1}{2} \int_{V^e} \mathbf{A} \cdot \cdot \mathbf{D} \cdot \cdot \mathbf{A} dV - \int_{V^e} \mathbf{u} \cdot \rho \mathbf{k} dV - \int_{A_p^e} \mathbf{u} \cdot \mathbf{p} dA \right\}$$

A két testre vonatkozó variációs elv felépítéséhez induljunk ki a teljes potenciális energiák variációjából:

$$\delta \Pi_p = \sum_{e=1}^2 \delta \Pi_p^e = \sum_{e=1}^2 \{ \delta U_{alakv.}^e - \delta W_k^e \} = 0$$

$$\sum_{e=1}^2 \left\{ \underbrace{\frac{1}{2} \int_{V^e} \delta \mathbf{A}^e \cdot \cdot \mathbf{T}^e dV}_{\delta U_{alakv.}^e} - \underbrace{\int_{V^e} \delta \mathbf{u}^e \cdot \rho \mathbf{k} dV - \int_{A_p^e} \delta \mathbf{u}^e \cdot \mathbf{p} dA}_{-\delta W_k^e} \right\}$$



Bevezetés

1. Fogalmak

2. Variációs elvek

- Variációs elvek előnye
- Jelölések
- $\min \Pi_p$ elv
- Ritz-féle módszer
- Példa: Húzott-rúd
- Példa: Hajlított-nyírt
- $\min \Pi_p$ több testre

3. Elemmodell

4. Egyváltozós feladat

5. Kompatibilis elemek

6. Kétfváltozós feladatok

7. Lemezelemek

8. Modellezés

9. Rezgés

10. Intelligens szerk.

Több testből álló rendszerre felírt $\min \Pi_p$ elv

Az első integrál az egy testre vonatkozó vizsgálatnál bemutatottak szerint átalakítható

$$\begin{aligned} \int_{V^e} \delta \mathbf{u} \cdot (\mathbf{T} \cdot \nabla)^e dV &= \int_{V^e} (\delta \mathbf{u} \cdot \mathbf{T} \cdot \nabla)^e dV - \int_{V^e} \underbrace{(\delta \mathbf{u} \circ \nabla \cdot \cdot \mathbf{T}^e)}_{\delta \mathbf{A} + \delta \Psi} dV = \\ &= \int_{A^e} \delta \mathbf{u}^e \cdot \mathbf{T}^e \cdot \mathbf{n}^e dA - \int_{V^e} \delta \mathbf{A}^e \cdot \cdot \mathbf{T}^e dV \end{aligned}$$

innen

$$\int_{V^e} \delta \mathbf{A}^e \cdot \cdot \mathbf{T}^e dV = \int_{A^e} \delta \mathbf{u}^e \cdot \mathbf{T}^e \cdot \mathbf{n}^e dA - \int_{V^e} \delta \mathbf{u}^e \cdot (\mathbf{T} \cdot \nabla)^e dV$$

ahol $A^e = \underbrace{A_u^e}_{\delta \mathbf{u} = \mathbf{0}} + A_c^e$



Bevezetés

1. Fogalmak

2. Variációs elvek

- Variációs elvek előnye
- Jelölések
- $\min \Pi_p$ elv
- Ritz-féle módszer
- Példa: Húzott-rúd
- Példa: Hajlított-nyírt
- $\min \Pi_p$ több testre

3. Elemmodell

4. Egyváltozós feladat

5. Kompatibilis elemek

6. Kétváltozós feladatok

7. Lemezelemek

8. Modellézés

9. Rezgésstan

10. Intelligens szerk.

Több testből álló rendszerre felírt $\min \Pi_p$ elv

A kapott formulákat visszaírva és a tagokat átrendezve:

$$\sum_{e=1}^2 \left\{ \int_{V^e} \delta \mathbf{u}^e \cdot [\mathbf{T} \cdot \nabla + \rho \mathbf{k}]^e dV - \int_{A_p^e} \delta \mathbf{u}^e \cdot (\mathbf{T} \cdot \mathbf{n} - \mathbf{p})^e dA \right\} - \int_{A_c^{12}} \delta \mathbf{u}^1 \cdot (\mathbf{T}^1 \cdot \mathbf{n}^1 + \mathbf{T}^2 \cdot \mathbf{n}^2) dA = 0$$

variációs egyenlethez jutunk.

Nyilvánvalóan, ha a KIF nem állna fenn, akkor e fenti egyenlet utolsó integrálja két részre esne, ami a belső felület feszültségmentességét fejezné ki. Ez pedig a megfigyelésekkel ellentétes eredményt szolgáltatna. A levezetett variációs egyenlet, vagyis a variációs elv biztosítja az egyensúlyi egyenlet, a dinamikai perem-, és illesztési feltétel teljesülését.



Bevezetés

1. Fogalmak

2. Variációs elvek

3. Elemmodell

- Lokális approximáció
- Potenciális energia
- Csomóponti terhelés
- A megoldandó feladat

4. Egyváltozós feladat

5. Kompatibilis elemek

6. Kétváltozós feladatok

7. Lemezelemek

8. Modellezés

9. Rezgés

10. Intelligens szerk.

3. Elemmodell



Lokális approximáció elve egyváltozós feladatnál

Bevezetés

1. Fogalmak

2. Variációs elvek

3. Elemmodell

• Lokális approximáció

• Potenciális energia

• Csomóponti terhelés

• A megoldandó feladat

4. Egyváltozós feladat

5. Kompatibilis elemek

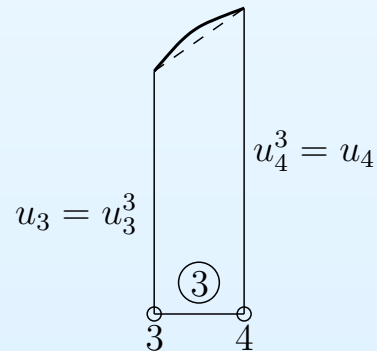
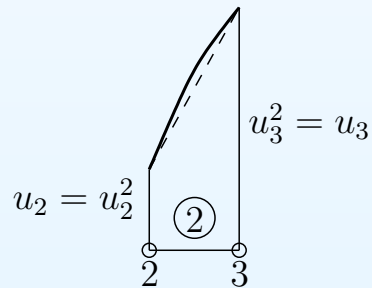
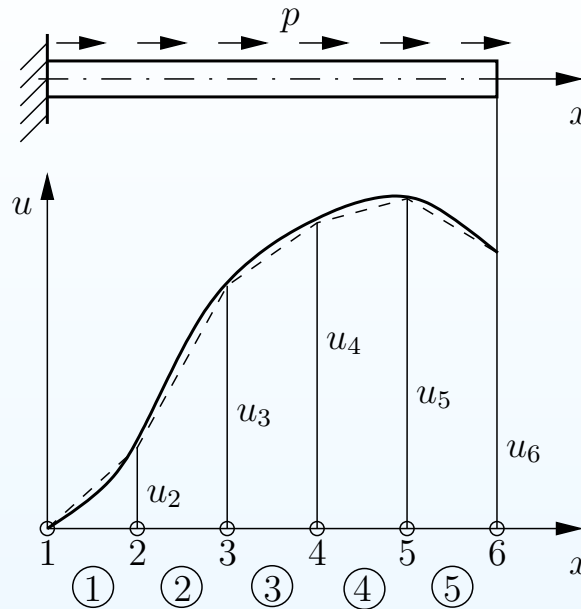
6. Kétváltozós feladatok

7. Lemezelemek

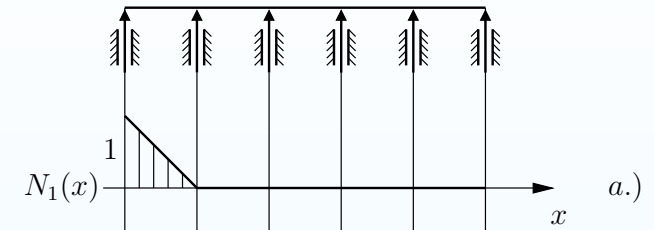
8. Modellezés

9. Rezgés

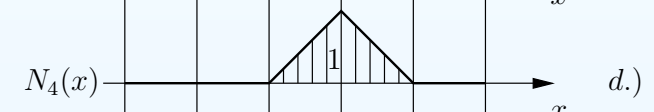
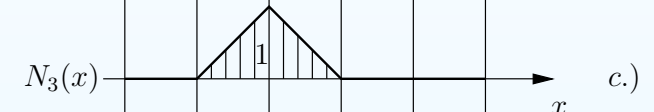
10. Intelligens szerk.



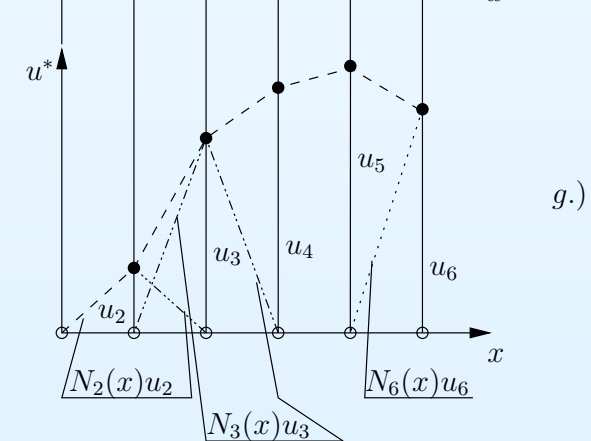
a.)



b.)



c.)





Bevezetés

1. Fogalmak

2. Variációs elvek

3. Elemmodell

● Lokális approximáció

- Potenciális energia
- Csomóponti terhelés
- A megoldandó feladat

4. Egyváltozós feladat

5. Kompatibilis elemek

6. Kétfváltozós feladatok

7. Lemezelemek

8. Modellezés

9. Rezgés

10. Intelligens szerk.

Lokális approximáció elve egyváltozós feladatnál

A közelített elmozdulásmező

$$u^*(x) = \sum_{i=2}^6 N_i(x) u_i = [N_2(x) \ N_3(x) \ \cdots \ N_6(x)] \begin{bmatrix} u_2 \\ u_3 \\ \vdots \\ u_6 \end{bmatrix} = \mathbf{N}(x) \mathbf{q}$$

Ehhez képezzük az i, j csomópontokat tartalmazó elemen belüli elmozdulásmezőt

$$u^e(x) = \left[\frac{x_j - x}{L^e}, \frac{x - x_i}{L^e} \right] \begin{bmatrix} u_i^e \\ u_j^e \end{bmatrix}$$

ami a $\xi = x - x_i$ változó bevezetésével

$$\begin{aligned} u^e(\xi) &= \left[1 - \frac{\xi}{L}, \frac{\xi}{L} \right]^e \begin{bmatrix} u_i^e \\ u_j^e \end{bmatrix} = \\ &= [N_i^e(\xi) \ N_j^e(\xi)] \begin{bmatrix} u_i^e \\ u_j^e \end{bmatrix} = \mathbf{N}^e(\xi) \mathbf{q}^e = \mathbf{q}^{eT} \mathbf{N}^{eT}(\xi) \end{aligned}$$



Bevezetés

1. Fogalmak

2. Variációs elvek

3. Elemmodell

- Lokális approximáció
- **Potenciális energia**
- Csomóponti terhelés
- A megoldandó feladat

4. Egyváltozós feladat

5. Kompatibilis elemek

6. Kétfváltozós feladatok

7. Lemezelemek

8. Modellezés

9. Rezgés

10. Intelligens szerk.

Diszkrétizált potenciális energia

A húzott rúdban kialakuló fajlagos nyúlás

$$\varepsilon^e = \frac{du^e}{dx} = \varepsilon^e(\xi) = \frac{du^e(\xi)}{d\xi} = \frac{1}{L} [-1, 1] \mathbf{q}^e = \mathbf{B}^e \mathbf{q}^e$$

illetve a normál feszültség a Hooke törvényalapján

$$\sigma^e = E \varepsilon^e = \sigma^e(\xi) = E \varepsilon^e(\xi) = E \mathbf{B}^e \mathbf{q}^e$$

$$\begin{aligned} U^e &= \frac{1}{2} \int_L \sigma \varepsilon A d\xi = \frac{1}{2} \mathbf{q}^{eT} \int_{L^e} \mathbf{B}^{eT} A^e E \mathbf{B}^e d\xi \mathbf{q}^e = \\ &= \frac{1}{2} \mathbf{q}^{eT} \frac{A^e E}{L^e} \begin{bmatrix} 1 & -1 \\ -1 & 1 \end{bmatrix} \mathbf{q}^e \equiv \frac{1}{2} \mathbf{q}^{eT} \mathbf{K}^e \mathbf{q}^e, \end{aligned}$$

$$W_k^e = \int_{L^e} u p d\xi = \mathbf{q}^{eT} \int_{L^e} \mathbf{N}^{eT}(\xi) p d\xi \equiv \mathbf{q}^{eT} \mathbf{f}^e$$

Teljes potenciális energia

$$\Pi_p^e = \frac{1}{2} \mathbf{q}^{eT} \mathbf{K}^e \mathbf{q}^e - \mathbf{q}^{eT} \mathbf{f}^e$$



Egydimenziós végelem, lokális koordinátafüggvények

Bevezetés

1. Fogalmak

2. Variációs elvek

3. Elemmodell

- Lokális approximáció
- **Potenciális energia**
- Csomóponti terhelés
- A megoldandó feladat

4. Egyváltozós feladat

5. Kompatibilis elemek

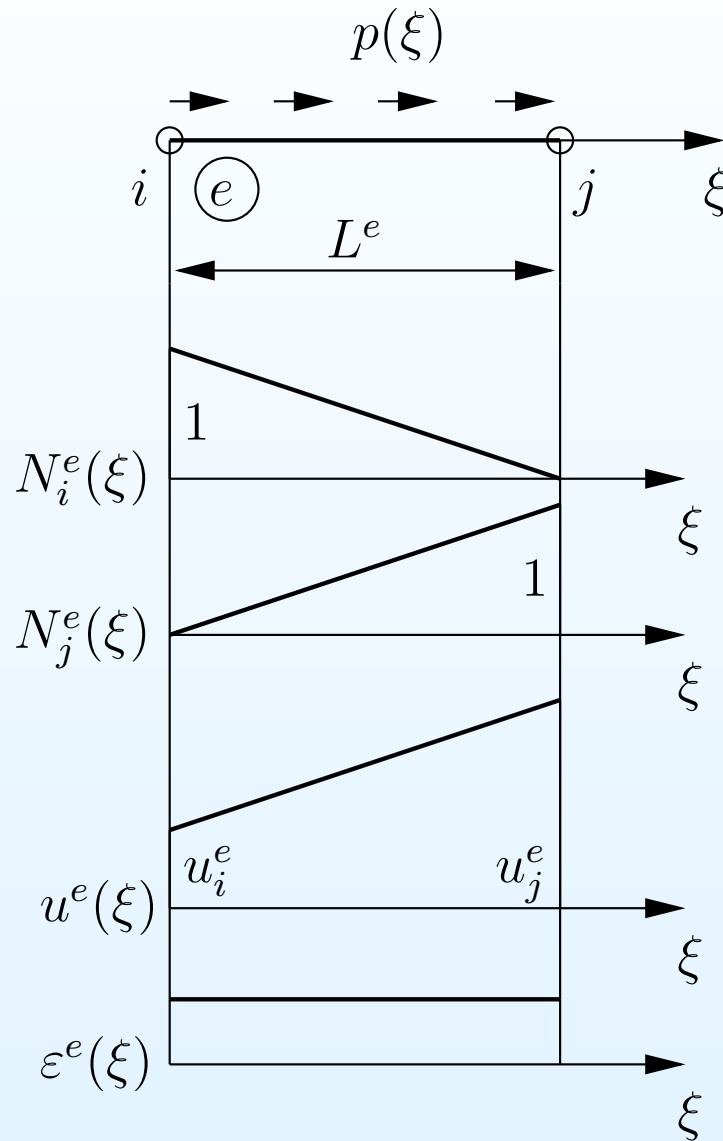
6. Kétváltozós feladatok

7. Lemezelemek

8. Modellezés

9. Rezgés

10. Intelligens szerk.





Csomóponti terhelés

Bevezetés

1. Fogalmak

2. Variációs elvek

3. Elemmodell

- Lokális approximáció
- Potenciális energia
- **Csomóponti terhelés**
- A megoldandó feladat

4. Egyváltozós feladat

5. Kompatibilis elemek

6. Kétfváltozós feladatok

7. Lemezelemek

8. Modellezés

9. Rezgés

10. Intelligens szerk.

Állandó intenzitású hosszmenti p megoszló terhelésnél

$$\mathbf{f}^e = \begin{bmatrix} \mathbf{f}_i \\ \mathbf{f}_j \end{bmatrix}^e = \int_{L^e} \mathbf{N}^{eT}(\xi) p d\xi = \int_{\xi=0}^{L^e} \begin{bmatrix} N_i(\xi) \\ N_j(\xi) \end{bmatrix}^e p d\xi = \frac{pL^e}{2} \begin{bmatrix} 1 \\ 1 \end{bmatrix}$$

vagyis a lineáris elmozdulásmező miatt a rúdelemen ébredő pL^e nagyságú erő a két csomópontra fele-fele arányban van szétosztva, azaz redukálva.



A megoldandó feladat

Bevezetés

1. Fogalmak

2. Variációs elvek

3. Elemmodell

- Lokális approximáció
- Potenciális energia
- Csomóponti terhelés
- **A megoldandó feladat**

4. Egyváltozós feladat

5. Kompatibilis elemek

6. Kétfváltozós feladatok

7. Lemezelemek

8. Modellezés

9. Rezgés

10. Intelligens szerk.

Mivel az 1-es pontban a rúd elmozdulása zérus, úgy $\mathbf{q}_1 = \mathbf{0}$. A $\delta \Pi_p = 0$ variációs egyenlet értelmében

$$\delta \Pi_p = \sum_{i=2}^5 \delta \mathbf{q}_i^T \frac{\partial \Pi_p}{\partial \mathbf{q}_i} = 0,$$

azaz a megoldandó algebrai egyenletrendszer

$$\begin{bmatrix} \mathbf{K}_{22} & \mathbf{K}_{23} & & & & & \\ \mathbf{K}_{32} & \mathbf{K}_{33} & \mathbf{K}_{34} & & & & \\ & \mathbf{K}_{43} & \mathbf{K}_{44} & \mathbf{K}_{45} & & & \\ & & \mathbf{K}_{54} & \mathbf{K}_{55} & \mathbf{K}_{56} & & \\ & & & \mathbf{K}_{65} & \mathbf{K}_{66} & & \end{bmatrix} \begin{bmatrix} \mathbf{q}_2 \\ \mathbf{q}_3 \\ \mathbf{q}_4 \\ \mathbf{q}_5 \\ \mathbf{q}_6 \end{bmatrix} = \begin{bmatrix} \mathbf{f}_2 \\ \mathbf{f}_3 \\ \mathbf{f}_4 \\ \mathbf{f}_5 \\ \mathbf{f}_6 \end{bmatrix}$$

ahol $\mathbf{K}_{22} = \mathbf{K}_{22}^1 + \mathbf{K}_{22}^2$, $\mathbf{K}_{23} = \mathbf{K}_{23}^2$, $\mathbf{f}_2 = \mathbf{f}_2^1 + \mathbf{f}_2^2$ stb.

Tömören

$$\mathbf{K} \mathbf{q} = \mathbf{f}$$



Bevezetés

1. Fogalmak

2. Variációs elvek

3. Elemmodell

4. Egyváltozós feladat

- Síkbeli rúd
- Bernoulli-hipotézis
- Potenciális energia
- Alapegyenlet
- Elmozdulásmező
- Merevségi mátrix
- Transzformáció

5. Kompatibilis elemek

6. Kétváltozós feladatok

7. Lemezelemek

8. Modellézés

9. Rezgés

10. Intelligens szerk.

4. Egyváltozós feladat



Bevezetés

1. Fogalmak

2. Variációs elvek

3. Elemmodell

4. Egyváltozós feladat

● Síkbeli rúd

- Bernoulli-hipotézis
- Potenciális energia
- Alapegyenlet
- Elmozdulásmező
- Merevségi mátrix
- Transzformáció

5. Kompatibilis elemek

6. Kétváltozós feladatok

7. Lemezelemek

8. Modellelés

9. Rezgéstan

10. Intelligens szerk.

Síkbeli rúdszerkezetek

Rúdnak nevezzük azokat a testeket, amelyeknél a test egy kitüntetett térgörbére merőleges geometriai méretei lényegesen kisebbek a térgörbe irányában mérthez képest. Ha a térgörbe egyenes, akkor **egyenes rudakról** beszélünk. A test „merőleges metszetei” a rúd keresztmetszetét jelölik ki. Feltételezésünk szerint a keresztmetszet súlypontja a térgörbén helyezkedik el, amit tömören **középvonal**nak nevezünk.

Vizsgálatainkat egyenes középvonalú és állandó keresztmetszetű(prizmatikus) húzott-nyomott, hajlított-nyírt rudakra korlátozzuk. A nyírási energia elhanyagolásával az. ún. *Bernoulli-hipotézis*ű rudakhoz jutunk.



Bernoulli-hipotézis

Bevezetés

1. Fogalmak

2. Variációs elvek

3. Elemmodell

4. Egyváltozós feladat

- Síkbeli rúd
- **Bernoulli-hipotézis**
- Potenciális energia
- Alapegyenlet
- Elmozdulásmező
- Merevségi mátrix
- Transzformáció

5. Kompatibilis elemek

6. Kétváltozós feladatok

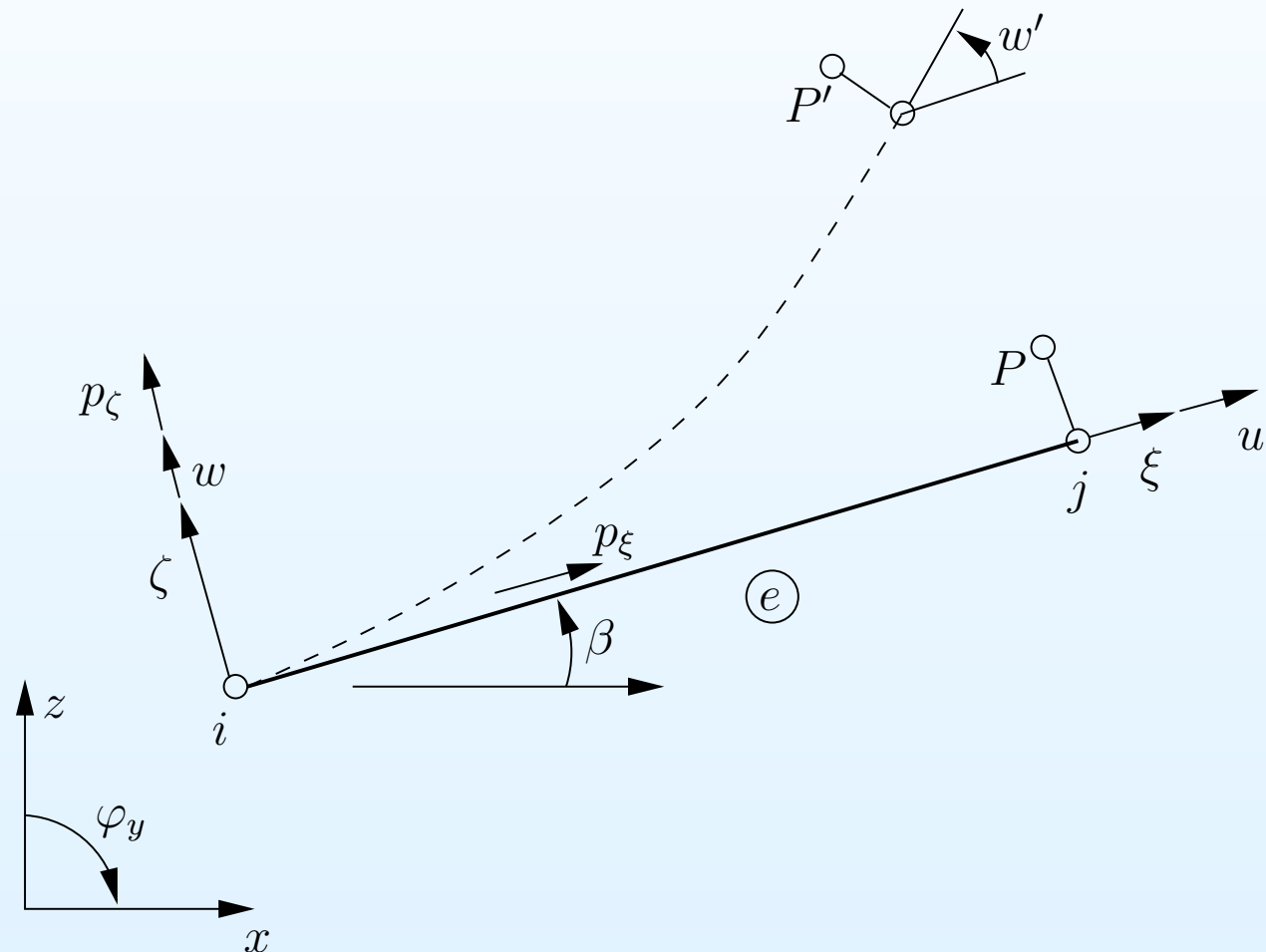
7. Lemezelemek

8. Modellezés

9. Rezgés

10. Intelligens szerk.

A rúd elmozdulásánál feltételezzük, hogy a rúd keresztmetszete merőleges marad a meggörbült középvonalra.





Elmozdulás

Bevezetés

1. Fogalmak

2. Variációs elvek

3. Elemmodell

4. Egyváltozós feladat

- Síkbeli rúd
- **Bernoulli-hipotézis**
- Potenciális energia
- Alapegyenlet
- Elmozdulásmező
- Merevségi mátrix
- Transzformáció

5. Kompatibilis elemek

6. Kétváltozós feladatok

7. Lemezelemek

8. Modellézés

9. Rezgés

10. Intelligens szerk.

A keresztmetszet mentén húzás-nyomásból állandó, hajlításból lineárisan megoszló lefutású feszültség keletkezik. Ehhez tartozóan a rúdirányú elmozdulás a keresztmetszet egy tetszőleges P pontjában

$$u_P = u_P(\xi, \eta, \zeta) = u(\xi) - w'(\xi) \zeta,$$

ahol $()' = \frac{d}{d\xi} ()$, $u(\xi)$, $w(\xi)$ a ξ ill. ζ irányú elmozdulás.



Bevezetés

1. Fogalmak

2. Variációs elvek

3. Elemmodell

4. Egyváltozós feladat

- Síkbeli rúd
- **Bernoulli-hipotézis**
- Potenciális energia
- Alapegyenlet
- Elmozdulásmező
- Merevségi mátrix
- Transzformáció

5. Kompatibilis elemek

6. Kétváltozós feladatok

7. Lemezelemek

8. Modellézés

9. Rezgés

10. Intelligens szerk.

Alakváltozás, feszültség

A tengelyirányú fajlagos nyúlás

$$\varepsilon_{\xi}(\xi, \zeta) = \varepsilon(\xi, \zeta) = u'(\xi) - w''(\xi) \zeta,$$

míg az egyszerű Hooke-féle anyagegyenlet alapján a normál feszültség

$$\sigma(\xi, \zeta) = E \varepsilon(\xi, \zeta),$$

ahol E a Young modulus.



Bevezetés

1. Fogalmak

2. Variációs elvek

3. Elemmodell

4. Egyváltozós feladat

- Síkbeli rúd
- Bernoulli-hipotézis
- **Potenciális energia**
- Alapegyenlet
- Elmozdulásmező
- Merevségi mátrix
- Transzformáció

5. Kompatibilis elemek

6. Kétfváltozós feladatok

7. Lemezelemek

8. Modellézés

9. Rezgés

10. Intelligens szerk.

Potenciális energia

Jelölje a rúdon ható megoszló terhelést, hosszirányban p_ξ , keresztirányban p_ζ , melyeknek mértékegysége $[N/mm]$.

A rúd végein $-F_{\xi 0}$, $F_{\xi L}$ rúderő, $-F_{\zeta 0}$, $F_{\zeta L}$ nyíróerő és $-M_{\eta 0}$, $M_{\eta L}$ hajlítónyomaték hat.

A fenti terheléseket figyelembevéve, továbbá tekintettel arra, hogy alakváltozási energiacsak a $\sigma(\xi)$ feszültségből származik, a rúd teljes potenciális energiája két integrálon keresztül és a rúdvégeken ható koncentrált erők és nyomatékok terhelési munkájából áll össze.

$$\begin{aligned} \Pi_p = & \frac{1}{2} \int_L \int_A \varepsilon_\xi E \varepsilon_\xi dA d\xi - \int_L (u p_\xi + w p_\zeta) d\xi - \\ & - (u(L) F_{\xi L} - u(0) F_{\xi 0} + w(L) F_{\zeta L} - w(0) F_{\zeta 0}) - \\ & - (-w'(L) M_{\eta L} + w'(0) M_{\eta 0}) \end{aligned}$$



Bevezetés

1. Fogalmak

2. Variációs elvek

3. Elemmodell

4. Egyváltozós feladat

- Síkbeli rúd
- Bernoulli-hipotézis
- **Potenciális energia**
- Alapegyenlet
- Elmozdulásmező
- Merevségi mátrix
- Transzformáció

5. Kompatibilis elemek

6. Kétváltozós feladatok

7. Lemezelemek

8. Modellézés

9. Rezgésstan

10. Intelligens szerk.

Minimum feltételből

$$\begin{aligned}\delta_u \Pi_p = 0 &= \int_L \int_A \delta u' E (u' - w'' \zeta) dA d\xi - \int_L \delta u p_\xi d\xi - \\ &- (\delta u(L) F_{\xi L} - \delta u(0) F_{\xi 0}) = \int_L \delta u' AE u' d\xi - \int_L \delta u p_\xi d\xi \\ &- (\delta u(L) F_{\xi L} - \delta u(0) F_{\xi 0}) = \\ &= [(AEu' - F_{\xi i}) \delta u]_0^L - \int_L \delta u [(AEu')' + p_\xi] d\xi\end{aligned}$$

amiből

$$AEu'' + p_\xi = 0,$$

és

$$(N - F_{\xi i}) \delta u \Big|_0^L = 0, \quad N = AEu'$$



Bevezetés

1. Fogalmak

2. Variációs elvek

3. Elemmodell

4. Egyváltozós feladat

- Síkbeli rúd
- Bernoulli-hipotézis
- Potenciális energia
- **Alapegyenlet**
- Elmozdulásmező
- Merevségi mátrix
- Transzformáció

5. Kompatibilis elemek

6. Kétfváltozós feladatok

7. Lemezelemek

8. Modellezés

9. Rezgésstan

10. Intelligens szerk.

Alapegyenlet

A részletek mellőzésével a keresztirányú w elmozdulás vonatkozásában, az egyensúlyt kifejező alapegyenlet

$$I_{\eta} E w^{IV} - p_{\zeta} = 0,$$

és a dinamikai peremfeltételt adó variációs egyenletek

$$(F_{\zeta} - F_{\zeta i}) \delta w \Big|_0^L = 0, \quad (M_{\eta} - M_{\eta i}) \delta w' \Big|_0^L = 0,$$

azaz

$$F_{\zeta} = - I_{\eta} E w''', \quad \text{és} \quad M_{\eta} = - I_{\eta} E w''$$



Bevezetés

1. Fogalmak

2. Variációs elvek

3. Elemmodell

4. Egyváltozós feladat

- Síkbeli rúd
- Bernoulli-hipotézis
- Potenciális energia
- Alapegyenlet
- **Elmozdulásmező**
- Merevségi mátrix
- Transzformáció

5. Kompatibilis elemek

6. Kétfváltozós feladatok

7. Lemezelemek

8. Modellezés

9. Rezgésstan

10. Intelligens szerk.

Elmozdulásmező közelítése

A fenti levezetésből következik, hogy az elemen belüli elmozdulásmező u , w . Ezeket polinomok segítségével közelítjük. A polinomok tagjainak egy részénél az együtthatókat csomópontként felvett két elmozdulási és egy szögelfordulási értékkel tudjuk kifejezni, ill. az inhomogén differenciálegyenletek partikuláris megoldásaihoz tartozó tagokat pótlólagos állandóként, paraméterként fogjuk a továbbiakban szerepeltetni. Definiálva az elem helyi koordinátarendszerben értelmezett $\bar{\mathbf{q}}^e$ általánosított csomóponti vektorát, az $\check{\mathbf{a}}^e$ **pótlólagos állandók** vektorát, a felsorolt műveletek végrehajtása után az alábbi approximációhoz jutunk. Vagyis az elemen belüli elmozdulásvektor

$$\mathbf{u}^e(\xi) = \begin{bmatrix} u \\ w \end{bmatrix}^e = \bar{\mathbf{N}}^e(\xi) \bar{\mathbf{q}}^e + \check{\mathbf{N}}^e(\xi) \check{\mathbf{a}}^e,$$



Elmozdulásmező közelítése

Bevezetés

1. Fogalmak

2. Variációs elvek

3. Elemmodell

4. Egyváltozós feladat

- Síkbeli rúd
- Bernoulli-hipotézis
- Potenciális energia
- Alapegyenlet
- **Elmozdulásmező**
- Merevségi mátrix
- Transzformáció

5. Kompatibilis elemek

6. Kétfváltozós feladatok

7. Lemezelemek

8. Modellézés

9. Rezgésstan

10. Intelligens szerk.

A csomóponti elmozdulásvektorhoz tartozó approximációs mátrix

$$\bar{\mathbf{N}}^e(\xi) = [\bar{\mathbf{N}}_i(\xi) \quad \bar{\mathbf{N}}_j(\xi)]^e,$$

$$\bar{\mathbf{N}}_i^e(\xi) = \begin{bmatrix} 1 - \bar{\xi} & 0 & 0 \\ 0 & 1 - 3\bar{\xi}^2 + 2\bar{\xi}^3 & -L(\bar{\xi} - 2\bar{\xi}^2 + \bar{\xi}^3) \end{bmatrix}^e,$$

$$\bar{\mathbf{N}}_j^e(\xi) = \begin{bmatrix} \bar{\xi} & 0 & 0 \\ 0 & 3\bar{\xi}^2 - 2\bar{\xi}^3 & L(\bar{\xi}^2 - \bar{\xi}^3) \end{bmatrix}^e, \quad \bar{\xi} = \frac{\xi}{L^e}.$$

A pótlólagos állandókkal megszorzott approximációs mátrix

$$\check{\mathbf{N}}^e(\xi) = \begin{bmatrix} L^2(\bar{\xi}^2 - \bar{\xi}) & L^3(\bar{\xi}^3 - \bar{\xi}) & 0 & 0 \\ 0 & 0 & L^4(\bar{\xi}^4 - 2\bar{\xi}^3 + \bar{\xi}^2) & L^5(\bar{\xi}^5 - 3\bar{\xi}^3 + 2\bar{\xi}^2) \end{bmatrix}^e$$

$$= \begin{bmatrix} \underbrace{\check{\mathbf{N}}_u^e(\xi)}_{(1,2)} & \mathbf{0} \\ \mathbf{0} & \underbrace{\check{\mathbf{N}}_w^e(\xi)}_{(1,2)} \end{bmatrix}$$

$$\bar{\mathbf{q}}^{e,T} = [\bar{\mathbf{q}}_i^T \quad \bar{\mathbf{q}}_j^T]^e, \quad \check{\mathbf{a}}^{e,T} = [\check{\mathbf{a}}_u^T \quad \check{\mathbf{a}}_w^T]^e, \quad \bar{\mathbf{q}}_i^{e,T} = [u, w, -w']_i^e.$$



Bevezetés

1. Fogalmak

2. Variációs elvek

3. Elemmodell

4. Egyváltozós feladat

- Síkbeli rúd
- Bernoulli-hipotézis
- Potenciális energia
- Alapegyenlet
- Elmozdulásmező
- **Merevségi mátrix**
- Transzformáció

5. Kompatibilis elemek

6. Kétfváltozós feladatok

7. Lemezelemek

8. Modellézés

9. Rezgésstan

10. Intelligens szerk.

Merevségi mátrix

Diszkretizálás után véges dimenziójú feladatot kapunk

$$\Pi_p = \Pi_p (\bar{\mathbf{q}}^e, \check{\mathbf{a}}^e) = \frac{1}{2} \left[\bar{\mathbf{q}}^{e,T} \check{\mathbf{a}}^{e,T} \right] \left(\begin{bmatrix} \bar{\mathbf{K}}_{qq}^e & \bar{\mathbf{K}}_{qa}^e \\ \bar{\mathbf{K}}_{aq}^e & \bar{\mathbf{K}}_{aa}^e \end{bmatrix} \begin{bmatrix} \bar{\mathbf{q}}^e \\ \check{\mathbf{a}}^e \end{bmatrix} - 2 \begin{bmatrix} \bar{\mathbf{f}}_{q(p)}^e \\ \bar{\mathbf{f}}_{a(p)}^e \end{bmatrix} \right)$$

$$\bar{\mathbf{f}}_{q(p)}^e = \int_{L^e} \bar{\mathbf{N}}^{e,T}(\xi) \begin{bmatrix} p_\xi \\ p_\zeta \end{bmatrix} d\xi, \quad \bar{\mathbf{f}}_{a(p)}^e = \int_{L^e} \check{\mathbf{N}}^{e,T}(\xi) \begin{bmatrix} p_\xi \\ p_\zeta \end{bmatrix} d\xi$$

$$\bar{\mathbf{K}}_{qq}^e = \int_{L^e} \mathbf{B}^{e,T}(\xi) \begin{bmatrix} AE & 0 \\ 0 & I_\eta E \end{bmatrix}^e \mathbf{B}^e(\xi) d\xi,$$

$$\bar{\mathbf{K}}_{aa}^e = \int_{L^e} \check{\mathbf{B}}^{e,T}(\xi) \begin{bmatrix} AE & 0 \\ 0 & I_\eta E \end{bmatrix}^e \check{\mathbf{B}}^e(\xi) d\xi.$$



Merevségi mátrix

Bevezetés

1. Fogalmak

2. Variációs elvek

3. Elemmodell

4. Egyváltozós feladat

- Síkbeli rúd
- Bernoulli-hipotézis
- Potenciális energia
- Alapegyenlet
- Elmozdulásmező
- **Merevségi mátrix**
- Transzformáció

5. Kompatibilis elemek

6. Kétfváltozós feladatok

7. Lemezelemek

8. Modellézés

9. Rezgésstan

10. Intelligens szerk.

$$\bar{\mathbf{B}}^e(\xi) = \begin{bmatrix} -\frac{1}{L} & 0 & 0 & \frac{1}{L} & 0 & 0 \\ 0 & \frac{12\bar{\xi}-6}{L^2} & \frac{4-6\bar{\xi}}{L} & 0 & \frac{6-12\bar{\xi}}{L^2} & \frac{2-6\bar{\xi}}{L} \end{bmatrix}^e$$

$$\underbrace{\check{\mathbf{B}}^e(\xi)}_{(2,4)} = \begin{bmatrix} 2\xi - L & 3\xi^2 - L^2 & 0 & 0 \\ 0 & 0 & 12(\xi^2 - \xi L) + 2L^2 & 20\xi^3 - 18\xi L^2 + 4L^3 \end{bmatrix}^e$$

$$= \begin{bmatrix} \underbrace{\check{\mathbf{B}}_u(\xi)}_{(1,2)} & \mathbf{0} \\ \mathbf{0} & \underbrace{\check{\mathbf{B}}_w(\xi)}_{(1,2)} \end{bmatrix}^e$$

A potenciális energiában szereplő, a helyi koordinátarendszerben értelmezett vegyes indexű merevségi mátrix, jelen esetben

$$\bar{\mathbf{K}}_{aq}^e = \bar{\mathbf{K}}_{qa}^{e,T} = \mathbf{0}.$$

A teljes potenciális energia variációja

$$\delta \Pi_p = \delta \sum_e \Pi_p^e = \sum_e \delta \bar{\mathbf{q}}^{eT} \frac{\partial \Pi_p^e}{\partial \bar{\mathbf{q}}^e} + \sum_e \delta \check{\mathbf{a}}^{eT} \frac{\partial \Pi_p^e}{\partial \check{\mathbf{a}}^e} = 0$$



Bevezetés

1. Fogalmak

2. Variációs elvek

3. Elemmodell

4. Egyváltozós feladat

- Síkbeli rúd
- Bernoulli-hipotézis
- Potenciális energia
- Alapegyenlet
- Elmozdulásmező
- **Merevségi mátrix**
- Transzformáció

5. Kompatibilis elemek

6. Kétváltozós feladatok

7. Lemezelemek

8. Modellézés

9. Rezgésstan

10. Intelligens szerk.

Redukált csomóponti elmozdulásvektor

A számítások elvégzése után a pótlólagos állandók vektora a két mező vonatkozásában

$$\check{\mathbf{a}}_u^{e,T} = \left[-\frac{p_{\xi i}}{2AE} \quad \frac{1}{6AEL} (p_{\xi i} - p_{\xi j}) \right]^e,$$

$$\check{\mathbf{a}}_w^{e,T} = \left[\frac{p_{\zeta i}}{24I_{\eta}E} \quad \frac{1}{120I_{\eta}EL} (p_{\zeta j} - p_{\zeta i}) \right]^e.$$

A szimmetrikus $\bar{\mathbf{K}}_{qq}^e$ merevségi mátrix az alábbi

$$\bar{\mathbf{K}}_{qq}^e = \begin{bmatrix} AE/L & 0 & 0 & -AE/L & 0 & 0 \\ 0 & 12I_{\eta}E/L^3 & -6I_{\eta}E/L^2 & 0 & -12I_{\eta}E/L^3 & -6I_{\eta}E/L^2 \\ 0 & -6I_{\eta}E/L^2 & 4I_{\eta}E/L & 0 & 6I_{\eta}E/L^2 & 2I_{\eta}E/L \\ -AE/L & 0 & 0 & AE/L & 0 & 0 \\ 0 & -12I_{\eta}E/L^3 & 6I_{\eta}E/L^2 & 0 & 12I_{\eta}E/L^3 & 6I_{\eta}E/L^2 \\ 0 & -6I_{\eta}E/L^2 & 2I_{\eta}E/L & 0 & 6I_{\eta}E/L^2 & 4I_{\eta}E/L \end{bmatrix}^e$$



Bevezetés

1. Fogalmak

2. Variációs elvek

3. Elemmodell

4. Egyváltozós feladat

- Síkbeli rúd
- Bernoulli-hipotézis
- Potenciális energia
- Alapegyenlet
- Elmozdulásmező
- Merevségi mátrix
- **Transzformáció**

5. Kompatibilis elemek

6. Kétváltozós feladatok

7. Lemezelemek

8. Modellezés

9. Rezgés

10. Intelligens szerk.

Koordinátarendszerek közötti transzformáció

A helyi koordinátarendszerben felírt diszkretizált potenciális energiát az x, z globális koordinátarendszerben értelmezett U, W elmozdulásokkal és a síkra merőleges φ_η szögelforduláson keresztül lehet kifejezni.

$$\bar{\mathbf{q}}_i^e = \begin{bmatrix} u \\ w \\ \varphi_\eta = -w' \end{bmatrix}_i^e = \begin{bmatrix} \cos \beta & \sin \beta & 0 \\ -\sin \beta & \cos \beta & 0 \\ 0 & 0 & 1 \end{bmatrix}^e \begin{bmatrix} U \\ W \\ \varphi_Y \end{bmatrix}_i^e \equiv \mathbf{T}_0^e \mathbf{q}_i^e,$$

vagyis az elem csomóponti általánosított elmozdulásvektora

$$\bar{\mathbf{q}}^e = \begin{bmatrix} \bar{\mathbf{q}}_i \\ \bar{\mathbf{q}}_j \end{bmatrix}^e = \begin{bmatrix} \mathbf{T}_0 & \mathbf{0} \\ \mathbf{0} & \mathbf{T}_0 \end{bmatrix}^e \begin{bmatrix} \mathbf{q}_i \\ \mathbf{q}_j \end{bmatrix}^e \equiv \mathbf{T}^e \mathbf{q}^e,$$

ahol \mathbf{T}^e az elem transzformációs mátrixa.



Bevezetés

1. Fogalmak

2. Variációs elvek

3. Elemmodell

4. Egyváltozós feladat

- Síkbeli rúd
- Bernoulli-hipotézis
- Potenciális energia
- Alapegyenlet
- Elmozdulásmező
- Merevségi mátrix
- **Transzformáció**

5. Kompatibilis elemek

6. Kétfváltozós feladatok

7. Lemezelemek

8. Modellezés

9. Rezgés

10. Intelligens szerk.

Transzformált merevségi mátrix

Ezek után az elem teljes potenciális energiája

$$\begin{aligned}\Pi_p &= \Pi_p(\bar{\mathbf{q}}^e, \check{\mathbf{a}}^e) = \frac{1}{2} \bar{\mathbf{q}}^{e,T} \bar{\mathbf{K}}_{qq}^e \bar{\mathbf{q}}^e - \mathbf{q}^{e,T} \mathbf{f}_{q(p)}^e + \dots = \Pi_p(\mathbf{q}^e, \check{\mathbf{a}}^e) = \\ &= \frac{1}{2} \mathbf{q}^{e,T} (\mathbf{T}^{e,T} \bar{\mathbf{K}}_{qq}^e \mathbf{T}^e \mathbf{q}^e - 2\mathbf{T}^{e,T} \bar{\mathbf{f}}_{q(p)}^e) + \dots = \frac{1}{2} \mathbf{q}^{e,T} \mathbf{K}_{qq}^e \mathbf{q}^e - \mathbf{q}^{e,T} \mathbf{f}_{q(p)}^e + \dots,\end{aligned}$$

ahol

$$\mathbf{K}_{qq}^e = \mathbf{T}^{e,T} \bar{\mathbf{K}}_{qq}^e \mathbf{T}^e$$

a globális rendszerbeli merevségi mátrix

$$\mathbf{f}_{q(p)}^e = \mathbf{T}^{e,T} \bar{\mathbf{f}}_{q(p)}^e$$

a globális rendszerbeli redukált csomóponti általánosított terhelési vektor.



Bevezetés

1. Fogalmak

2. Variációs elvek

3. Elemmodell

4. Egyváltozós feladat

5. Kompatibilis elemek

- Végeselemek
- Szilárdsági jellemzők
- Potenciális energia
- Elemek csatolása
- Az egyenletrendszer
- Példa: Sávszélesség

6. Kétfváltozós feladatok

7. Lemezelemek

8. Modellezés

9. Rezgésstan

10. Intelligens szerk.

5. Kompatibilis elemek



Végelemek

Bevezetés

1. Fogalmak

2. Variációs elvek

3. Elemmodell

4. Egyváltozós feladat

5. Kompatibilis elemek

• Végelemek

- Szilárdsági jellemzők
- Potenciális energia
- Elemek csatolása
- Az egyenletrendszer
- Példa: Sávszélesség

6. Kétfváltozós feladatok

7. Lemezelemek

8. Modellelés

9. Rezgés

10. Intelligens szerk.

Legyen az e jelű i, j, k csomópontokkal rendelkező elem csomóponti elmozdulásainak vektora a következő:

$$\mathbf{q}^{eT} = [\mathbf{q}_i^{eT} \quad \mathbf{q}_j^{eT} \quad \mathbf{q}_k^{eT} \quad \dots], \quad \mathbf{q}_i^{eT} = [u_i \quad v_i \quad w_i]^e$$

Az elmozdulásmező közelítését az alábbi összefüggés írja le

$$\mathbf{u}^e = \mathbf{u}^e(\mathbf{x}) = \mathbf{N}^e(\mathbf{x})\mathbf{q}^e = \mathbf{N}^e\mathbf{q}^e$$

ahol az \mathbf{N}^e mátrixot az elem approximációs mátrixának nevezzük.

Nyilvánvaló, hogy \mathbf{N}^e a csomópontok szerint felbontható, partícionálható:

$$\mathbf{N}^e = [\mathbf{N}_i \quad \mathbf{N}_j \quad \mathbf{N}_k \quad \dots]^e$$

ahol \mathbf{N}_i az i -dik csomópontoz tartozó approximációs mátrix.

Az elmozdulásmező közelítéséből kiindulva származtathatók az elem további szilárdsági jellemzői.



Bevezetés

1. Fogalmak

2. Variációs elvek

3. Elemmodell

4. Egyváltozós feladat

5. Kompatibilis elemek

- Végeselemek
- Szilárdsági jellemzők
- Potenciális energia
- Elemek csatolása
- Az egyenletrendszer
- Példa: Sávzsélesség

6. Kétváltozós feladatok

7. Lemezelemek

8. Modellezés

9. Rezgés

10. Intelligens szerk.

Alakváltozás-, feszültségi vektor

$$\begin{aligned} \mathbf{A}(x, y) \Rightarrow \boldsymbol{\varepsilon}^e &= \begin{bmatrix} \varepsilon_x \\ \varepsilon_y \\ \gamma_{xy} \end{bmatrix}^e = \begin{bmatrix} \frac{\partial u}{\partial x} \\ \frac{\partial v}{\partial y} \\ \frac{\partial u}{\partial y} + \frac{\partial v}{\partial x} \end{bmatrix}^e = \\ &= \partial \mathbf{u}^e(\mathbf{x}) = \partial \mathbf{N}^e(\mathbf{x}) \mathbf{q}^e = \mathbf{B}^e(\mathbf{x}) \mathbf{q}^e \end{aligned}$$

ahol a \mathbf{B}^e mátrix is felbontható a csomópontok szerint:

$$\mathbf{B}^e = \left[\mathbf{B}_i^e \quad \mathbf{B}_j^e \quad \mathbf{B}_k^e \quad \dots \right]$$

Feszültségmező leírására hasonlóan értelmezhető a 3 méretű feszültségvektor:

$$\mathbf{T} \Rightarrow \boldsymbol{\sigma}^{eT} = \left[\sigma_x \quad \sigma_y \quad \tau_{xy} \right]^e$$

illetve felírható a csomóponti elmozdulásvektorral is:

$$\boldsymbol{\sigma}^e = \mathbf{D} (\boldsymbol{\varepsilon}^e - \boldsymbol{\varepsilon}_0^e) + \boldsymbol{\sigma}_0^e = \mathbf{D} (\mathbf{B}^e \mathbf{q}^e - \boldsymbol{\varepsilon}_0^e) + \boldsymbol{\sigma}_0^e$$

ahol \mathbf{D} az anyagjellemzők mátrixa.



Bevezetés

1. Fogalmak

2. Variációs elvek

3. Elemmodell

4. Egyváltozós feladat

5. Kompatibilis elemek

- Végeselemek
- Szilárdsági jellemzők
- Potenciális energia
- Elemek csatolása
- Az egyenletrendszer
- Példa: Sávzsélesség

6. Kétváltozós feladatok

7. Lemezelemek

8. Modellezés

9. Rezgés

10. Intelligens szerk.

Terhelési vektorok, elem potenciális energiája

A későbbiek miatt érdemes a terhelési vektorokat is oszlopvektorba rendezni. A peremen és a térfogaton megoszló terhelések oszlopvektorai a következők:

$$\mathbf{p} \Rightarrow \mathbf{p}^e = \begin{bmatrix} p_x \\ p_y \end{bmatrix}^e, \quad \rho \mathbf{k} \Rightarrow \rho \mathbf{k}^e = \begin{bmatrix} \rho k_x \\ \rho k_y \end{bmatrix}^e$$

A potenciális energia az előbbi mennyiségekkel felírva

$$\begin{aligned} \Pi_p^e = & \frac{1}{2} \int_{V^e} (\boldsymbol{\varepsilon}^{eT} - \boldsymbol{\varepsilon}_0^{eT}) \mathbf{D}^e (\boldsymbol{\varepsilon}^e - \boldsymbol{\varepsilon}_0^e) dV \\ & - \int_{A_p^e} \mathbf{u}^{eT} \mathbf{p}^e dA - \int_{V^e} \mathbf{u}^{eT} \rho \mathbf{k} dV + \int_{V^e} \boldsymbol{\varepsilon}^{eT} \boldsymbol{\sigma}_0^e dV \end{aligned}$$



Potenciális energia

Bevezetés

1. Fogalmak

2. Variációs elvek

3. Elemmodell

4. Egyváltozós feladat

5. Kompatibilis elemek

- Végeselemek
- Szilárdsági jellemzők
- **Potenciális energia**
- Elemek csatolása
- Az egyenletrendszer
- Példa: Sávszélesség

6. Kétváltozós feladatok

7. Lemezelemek

8. Modellezés

9. Rezgés

10. Intelligens szerk.

Véges dimenzióban felírt potenciális energia

$$\Pi_p^e = \frac{1}{2} \mathbf{q}^{eT} \mathbf{K}^e \mathbf{q}^e - \mathbf{q}^{eT} \mathbf{f}^e$$

melyben \mathbf{K}^e elemi merevségi mátrix és \mathbf{f}^e elemi terhelési vektor az alábbi

$$\begin{aligned} \mathbf{K}^e &= \int_{V^e} \mathbf{B}^{eT} \mathbf{D}^e \mathbf{B}^e dV = \\ &= \int_{V^e} \begin{bmatrix} \mathbf{B}_i^{eT} \\ \mathbf{B}_j^{eT} \\ \vdots \end{bmatrix} \mathbf{D}^e \begin{bmatrix} \mathbf{B}_i^e & \mathbf{B}_j^e & \dots \end{bmatrix} dV = \begin{bmatrix} \mathbf{K}_{ii}^e & \mathbf{K}_{ij}^e & \dots \\ \mathbf{K}_{ji}^e & \mathbf{K}_{jj}^e & \dots \\ \vdots & \vdots & \ddots \end{bmatrix} \end{aligned}$$

$$\mathbf{f}^e = \mathbf{f}_p^e + \mathbf{f}_{\rho \mathbf{k}}^e + \mathbf{f}_{\varepsilon_0}^e + \mathbf{f}_{\sigma_0}^e$$

$$\mathbf{f}_p^e = \int_{A_p^e} \mathbf{N}^{eT} \mathbf{p}^e dA, \quad \mathbf{f}_{\rho \mathbf{k}}^e = \int_{V^e} \mathbf{N}^{eT} \rho \mathbf{k}^e dV,$$

$$\mathbf{f}_{\varepsilon_0}^e = \int_{V^e} \mathbf{B}^{eT} \mathbf{D}^e \boldsymbol{\varepsilon}_0^e dV, \quad \mathbf{f}_{\sigma_0}^e = - \int_{V^e} \mathbf{N}^{eT} \boldsymbol{\sigma}_0^e dV$$



Bevezetés

1. Fogalmak

2. Variációs elvek

3. Elemmodell

4. Egyváltozós feladat

5. Kompatibilis elemek

- Végeselemek
- Szilárdsági jellemzők
- Potenciális energia
- **Elemek csatolása**
- Az egyenletrendszer
- Példa: Sáv szélesség

6. Kétváltozós feladatok

7. Lemezelemek

8. Modellézés

9. Rezgés

10. Intelligens szerk.

Elemek csatolása

A potenciális energia minimum elv alkalmazhatóságánál az elemek közötti elmozdulásmező folytonosságát az approximációnak biztosítani kell. Tételezzük fel, hogy ez fennáll, és így módon az elemek csatolásánál, az elemek illesztésénél a közös csomópontba eső elmozdulások azonosságát elegendő már csak megkövetelni.

Legyen példaként az i jelű csomópontokba befutó elemek jele rendre e , $e + 1$ illetve s . Ekkor az elmondottak szerint az illesztésnél

$$\mathbf{q}_i^e = \mathbf{q}_i^{e+1} = \mathbf{q}_i^s = \mathbf{q}_i$$

vagyis azt is mondhatjuk, hogy a megkülönböztető felső index elhagyható!

$$\Pi_p = \sum_{e=1}^{N_e} \left(\frac{1}{2} \mathbf{q}^{eT} \mathbf{K} \mathbf{q}^e - \mathbf{q}^{eT} \mathbf{f}^e \right) - W^k = \frac{1}{2} \mathbf{q}^T \mathbf{K} \mathbf{q} - \mathbf{q}^T \mathbf{f}$$



Elemek csatolása

Bevezetés

1. Fogalmak

2. Variációs elvek

3. Elemmodell

4. Egyváltozós feladat

5. Kompatibilis elemek

- Végeselemek
- Szilárdsági jellemzők
- Potenciális energia
- Elemek csatolása
- Az egyenletrendszer
- Példa: Sávszélesség

6. Kétváltozós feladatok

7. Lemezelemek

8. Modellezés

9. Rezgés

10. Intelligens szerk.

A terhelés munkáját képezve, a szerkezet csomóponti terhelési és elmozdulási vektora az illesztési feltétel alapján

$$\sum_{e=1}^{N_e} \mathbf{q}^{eT} \mathbf{f}^e + W^K = \dots + \mathbf{q}_i^{eT} \mathbf{f}_i^e + \mathbf{q}_i^{e+1T} \mathbf{f}_i^{e+1} + \mathbf{q}_i^s T \mathbf{f}_i^s + \dots + \mathbf{q}_i^T \mathbf{f}_i^K =$$
$$= \dots + \mathbf{q}_i^T \left(\underbrace{\mathbf{f}_i^e + \mathbf{f}_i^{e+1} + \mathbf{f}_i^s + \mathbf{f}_i^K}_{\mathbf{f}_i} \right)$$

alakban képezhető, azaz a rugalmas rendszer csomóponti redukált terhelési vektorának i -dik csomópontra vonatkozó része

$$\mathbf{f}_i = \sum_{e \in i} \mathbf{f}_i^e + \mathbf{f}_i^K$$

Látható, hogy az összegzést mindazon elemekre el kell végezni, amelyek az i jelű csomópontot tartalmazzák és hozzá kell adni a csomópontban ható koncentrált terhelés \mathbf{f}_i^K vektorát.



Bevezetés

1. Fogalmak

2. Variációs elvek

3. Elemmodell

4. Egyváltozós feladat

5. Kompatibilis elemek

- Végeselemek
- Szilárdsági jellemzők
- Potenciális energia
- **Elemek csatolása**
- Az egyenletrendszer
- Példa: Sávszélesség

6. Kétváltozós feladatok

7. Lemezelemek

8. Modellezés

9. Rezgés

10. Intelligens szerk.

Elemek csatolása

A szerkezet merevségi mátrixa az alakváltozási energiával kapcsolatos:

$$\sum_{e=1}^{N_e} \mathbf{q}^{eT} \mathbf{K}^e \mathbf{q}^e = \mathbf{q}^e \mathbf{K} \mathbf{q}^e$$

ahol

$$\mathbf{K} = [\mathbf{K}_{ij}] \quad i, j = 1, \dots, ncs \quad \mathbf{K}_{ij} = \sum_{e \in i, j} \mathbf{K}_{ij}^e$$

Az összegzés alapján ij indexű blokk mindazon elemeknél szerepel, amelyek tartalmazzák egyidejűleg az i és a j jelű csomópontot.



Bevezetés

1. Fogalmak

2. Variációs elvek

3. Elemmodell

4. Egyváltozós feladat

5. Kompatibilis elemek

- Végeselemek
- Szilárdsági jellemzők
- Potenciális energia
- **Elemek csatolása**
- Az egyenletrendszer
- Példa: Sávszélesség

6. Kétfváltozós feladatok

7. Lemezelemek

8. Modellezés

9. Rezgéstan

10. Intelligens szerk.

Adott elmozdulás hatása

Legyen $\mathbf{q}_j = \mathbf{q}_{ju}$ adott csomóponti elmozdulás, mely azt jelenti, hogy $\delta \mathbf{q}_j = \mathbf{0}$. Ekkor a j -edik blokk sor 0-val szorzódik.

Az adott elmozdulás hatása a $-\mathbf{K}_{ij} \mathbf{q}_{ju}$ taggal a jobboldalon kinematikai teherként jelenik meg.

Az egyenletek számát megtartva az alábbi struktúra is szolgáltatja a megoldást:

$$\begin{bmatrix} \mathbf{K}_{11} & \dots & \mathbf{0} & \dots \\ \vdots & & \vdots & \\ \mathbf{0}^T & \dots & \mathbf{E} & \dots \\ \vdots & & \vdots & \\ \mathbf{K}_{1,ncs} & \dots & \mathbf{0} & \dots \end{bmatrix} \begin{bmatrix} \mathbf{q}_1 \\ \vdots \\ \mathbf{q}_j \\ \vdots \\ \mathbf{q}_{ncs} \end{bmatrix} = \begin{bmatrix} \mathbf{f}_1 - \mathbf{K}_{1j} \mathbf{q}_{ju} \\ \vdots \\ \mathbf{q}_{ju} \\ \vdots \\ \mathbf{f}_{ncs} - \mathbf{K}_{ncs,j} \mathbf{q}_{ju} \end{bmatrix}$$



Az egyenletrendszer

Bevezetés

1. Fogalmak

2. Variációs elvek

3. Elemmodell

4. Egyváltozós feladat

5. Kompatibilis elemek

- Végeselemek
- Szilárdsági jellemzők
- Potenciális energia
- Elemek csatolása
- **Az egyenletrendszer**
- Példa: Sáv szélesség

6. Kétfváltozós feladatok

7. Lemezelemek

8. Modellézés

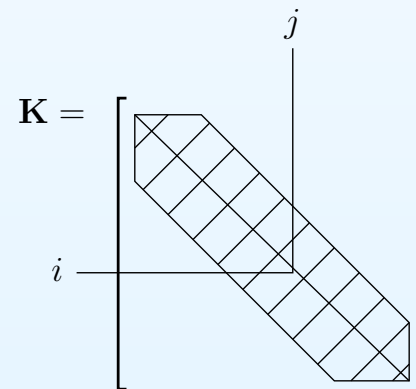
9. Rezgés

10. Intelligens szerk.

A csomóponti paraméterek megkötése révén, figyelembevéve a kinematikai előírásokat, megszűnik a merevtestszerű mozgás lehetősége. A megoldandó egyenletrendszert ekkor is

$$\mathbf{K}\mathbf{q} = \mathbf{f}$$

alakban írjuk fel, azzal a megjegyzéssel, hogy az együttható mátrix és terhelési vektor már tartalmazza a kinematikai előírásokat is.



Az egyenletrendszer jellemzői közül a nagy méretek miatt fontos az együttható mátrix zérustól különböző elemeinek elhelyezkedése. Az egyenletrendszer, az összegzési szabály miatt szalagszerkezetű.



Bevezetés

1. Fogalmak

2. Variációs elvek

3. Elemmodell

4. Egyváltozós feladat

5. Kompatibilis elemek

- Végeselemek
- Szilárdsági jellemzők
- Potenciális energia
- Elemek csatolása
- Az egyenletrendszer
- **Példa: Sávszélesség**

6. Kétfváltozós feladatok

7. Lemezelemek

8. Modellezés

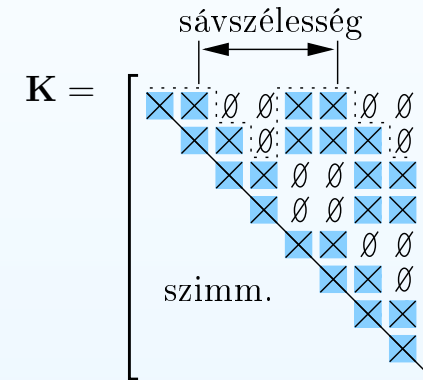
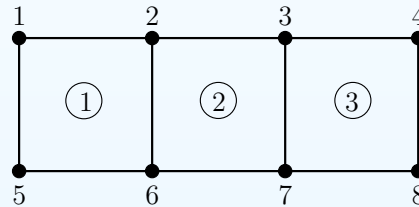
9. Rezgés

10. Intelligens szerk.

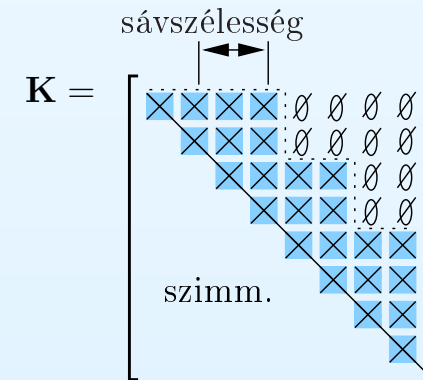
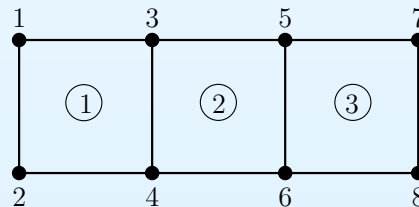
Példa: Sávszélesség

5.1. feladat: Példaként tekintsük a következő végeselem felosztást és konstruáljuk meg a hozzá tartozó sematikus merevségi mátrixot

Megoldás:



Itt látható, hogy a sávszélesség: főátló +5 elem. Ennél van kedvezőbb számozás is, mely egyúttal optimális számozást jelent.





Bevezetés

1. Fogalmak

2. Variációs elvek

3. Elemmodell

4. Egyváltozós feladat

5. Kompatibilis elemek

6. Kétváltozós feladatok

- SA
- SF
- TSz
- 4 csomópontú elem
- Leképzés?
- 8 csomópontú elem
- Elmozdulásmező
- Deriváltak előállítás
- Merevségi mátrix
- Numerikus integrálás

7. Lemezelemek

8. Modellézés

9. Rezgés

10. Intelligens szerk.

6. Kétváltozós feladatok



Síkalakváltozás (SA)

Bevezetés

1. Fogalmak

2. Variációs elvek

3. Elemmodell

4. Egyváltozós feladat

5. Kompatibilis elemek

6. Kétfváltozós feladatok

- SA
- SF
- TSz
- 4 csomópontú elem
- Leképzés?
- 8 csomópontú elem
- Elmozdulásmező
- Deriváltak előállítás
- Merevségi mátrix
- Numerikus integrálás

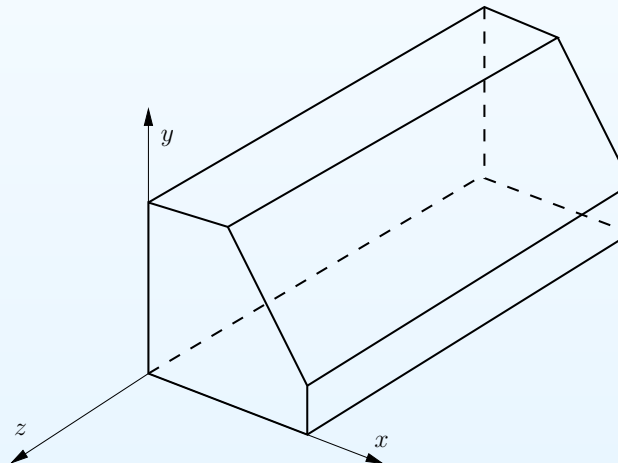
7. Lemezelemek

8. Modellézés

9. Rezgés

10. Intelligens szerk.

Amennyiben a vizsgált test geometriája és terhelése következtében létezik egy olyan irány, amely mentén a test pontjai nem mozdulnak el, valamint ezen kitüntetett irányhoz tartozó helykoordinátától, a reá merőleges síkban fellépő elmozdulásvektor koordinátái függetlenek, síkalakváltozásról szokás beszélni.



Legyen a kitüntetett e_z irányban mért helykoordináta a z . Ekkor a szóbanforgó állapot csak akkor tud kialakulni, ha a térfogaton megoszló ρk terhelésnek és az A_p felületen megoszló p terhelésnek nincs z irányú összetevője.



Síkalakváltozás (SA)

Bevezetés

1. Fogalmak

2. Variációs elvek

3. Elemmodell

4. Egyváltozós feladat

5. Kompatibilis elemek

6. Kétváltozós feladatok

• SA

• SF

• TSz

• 4 csomópontú elem

• Leképzés?

• 8 csomópontú elem

• Elmozdulásmező

• Deriváltak előállítás

• Merevségi mátrix

• Numerikus integrálás

7. Lemezelemek

8. Modellezés

9. Rezgés

10. Intelligens szerk.

Az elmozdulásmező és a terhelési függvények

$$\mathbf{u} = \mathbf{u}(x, y) = u\mathbf{e}_x + v\mathbf{e}_y$$

$$\rho\mathbf{k} = \rho\mathbf{k}(x, y) = \rho(k_x\mathbf{e}_x + k_y\mathbf{e}_y)$$

$$\mathbf{p} = \mathbf{p}(x, y) = p_x\mathbf{e}_x + p_y\mathbf{e}_y$$

Az \mathbf{A} alakváltozási tenzor a geometriai egyenlet értelmében

$$\mathbf{A} = \mathbf{A}(x, y) = \begin{bmatrix} \varepsilon_x & \frac{1}{2}\gamma_{xy} & 0 \\ \frac{1}{2}\gamma_{yx} & \varepsilon_y & 0 \\ 0 & 0 & 0 \end{bmatrix} \Rightarrow \boldsymbol{\varepsilon} = \begin{bmatrix} \varepsilon_x \\ \varepsilon_y \\ \gamma_{xy} \end{bmatrix}$$

míg a \mathbf{T} feszültségi tenzor

$$\mathbf{T} = \mathbf{T}(x, y) = \begin{bmatrix} \sigma_x & \tau_{xy} & 0 \\ \tau_{yx} & \sigma_y & 0 \\ 0 & 0 & \sigma_z \end{bmatrix}$$

ahol izotróp esetben $\sigma_z = \nu(\sigma_x + \sigma_y)$



Síkalakváltozás (SA)

Bevezetés

1. Fogalmak

2. Variációs elvek

3. Elemmodell

4. Egyváltozós feladat

5. Kompatibilis elemek

6. Kétfváltozós feladatok

• SA

• SF

• TSz

• 4 csomópontú elem

• Leképzés?

• 8 csomópontú elem

• Elmozdulásmező

• Deriváltak előállítás

• Merevségi mátrix

• Numerikus integrálás

7. Lemezelemek

8. Modellezés

9. Rezgés

10. Intelligens szerk.

Az $\varepsilon_z \equiv 0$ miatt az alakváltozási energia számításánál csak a \mathbf{T} tenzor síkbeli részével kell dolgozni, tehát

$$\mathbf{T} = \begin{bmatrix} \sigma_z & \tau_{xy} \\ \tau_{yx} & \sigma_y \end{bmatrix}$$

Így végül is, síkalakváltozás esetén

$$\begin{aligned} \mathbf{T} \Rightarrow \boldsymbol{\sigma} &= \begin{bmatrix} \sigma_x \\ \sigma_y \\ \tau_{xy} \end{bmatrix} = \\ &= \frac{E}{(1 + \nu)(1 - 2\nu)} \begin{bmatrix} 1 - \nu & \nu & 0 \\ \nu & 1 - \nu & 0 \\ 0 & 0 & \frac{1 - 2\nu}{2} \end{bmatrix} \begin{bmatrix} \varepsilon_x \\ \varepsilon_y \\ \gamma_{xy} \end{bmatrix} \equiv \mathbf{D}\boldsymbol{\varepsilon} \end{aligned}$$



Bevezetés

1. Fogalmak

2. Variációs elvek

3. Elemmodell

4. Egyváltozós feladat

5. Kompatibilis elemek

6. Kétfváltozós feladatok

- SA
- **SF**
- TSz
- 4 csomópontú elem
- Leképzés?
- 8 csomópontú elem
- Elmozdulásmező
- Deriváltak előállítása
- Merevségi mátrix
- Numerikus integrálás

7. Lemezelemek

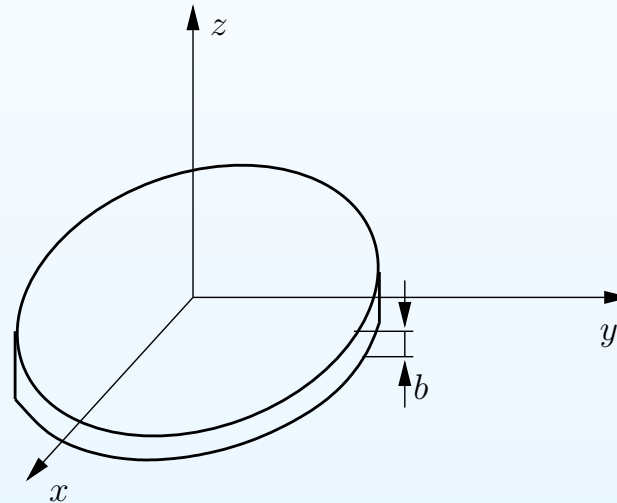
8. Modellezés

9. Rezgés

10. Intelligens szerk.

Síkfeszültségi állapot (SF)

A síkfeszültségi állapotot az jellemzi, hogy most a kitüntetett z irányra merőleges síkokon nem keletkezik $\sigma_z = \tau_{xz} = \tau_{yz} = 0$ feszültség. Ehhez az szükséges, hogy a ρk és p terhelési függvényeknek ne legyen z irányú összetevője.



Fentiek alapján a feszültségi tenzornak csak a síkbeli része lehet zérustól különböző

$$\mathbf{T} = \begin{bmatrix} \sigma_x & \tau_{xy} & 0 \\ \tau_{yx} & \sigma_y & 0 \\ 0 & 0 & 0 \end{bmatrix} = \mathbf{T}(x, y)$$



Bevezetés

1. Fogalmak

2. Variációs elvek

3. Elemmodell

4. Egyváltozós feladat

5. Kompatibilis elemek

6. Kétváltozós feladatok

- SA
- **SF**
- TSz
- 4 csomópontú elem
- Leképzés?
- 8 csomópontú elem
- Elmozdulásmező
- Deriváltak előállítása
- Merevségi mátrix
- Numerikus integrálás

7. Lemezelemek

8. Modellezés

9. Rezgés

10. Intelligens szerk.

Síkfeszültségi állapot (SF)

Ismét homogén, izotróp anyagot tételezünk fel, így a z irányú fajlagos nyúlás

$$\varepsilon_z = -\frac{\nu}{1-\nu}(\varepsilon_x + \varepsilon_y)$$

míg az \mathbf{A} alakváltozási tenzor

$$\mathbf{A} = \begin{bmatrix} \varepsilon_x & \frac{1}{2}\gamma_{xy} & 0 \\ \frac{1}{2}\gamma_{yx} & \varepsilon_y & 0 \\ 0 & 0 & \varepsilon_z \end{bmatrix} = \mathbf{A}(x, y) \Rightarrow \boldsymbol{\varepsilon} = \begin{bmatrix} \varepsilon_x \\ \varepsilon_y \\ \gamma_{xy} \end{bmatrix}$$

Tekintettel megint az alakváltozási energia kiszámítási módjára elegendő csak a tenzorok síkbeli részét megtartani. Homogén, izotróp anyagnál áll:

$$\mathbf{T} \Rightarrow \boldsymbol{\sigma} = \begin{bmatrix} \sigma_x \\ \sigma_y \\ \tau_{xy} \end{bmatrix} = \frac{E}{1-\nu^2} \begin{bmatrix} 1 & \nu & 0 \\ \nu & 1 & 0 \\ 0 & 0 & \frac{1-\nu}{2} \end{bmatrix} \begin{bmatrix} \varepsilon_x \\ \varepsilon_y \\ \gamma_{xy} \end{bmatrix} = \mathbf{D}\boldsymbol{\varepsilon}$$



Bevezetés

1. Fogalmak

2. Variációs elvek

3. Elemmodell

4. Egyváltozós feladat

5. Kompatibilis elemek

6. Kétfváltozós feladatok

- SA
- SF
- **TSz**
- 4 csomópontú elem
- Leképzés?
- 8 csomópontú elem
- Elmozdulásmező
- Deriváltak előállítás
- Merevségi mátrix
- Numerikus integrálás

7. Lemezelemek

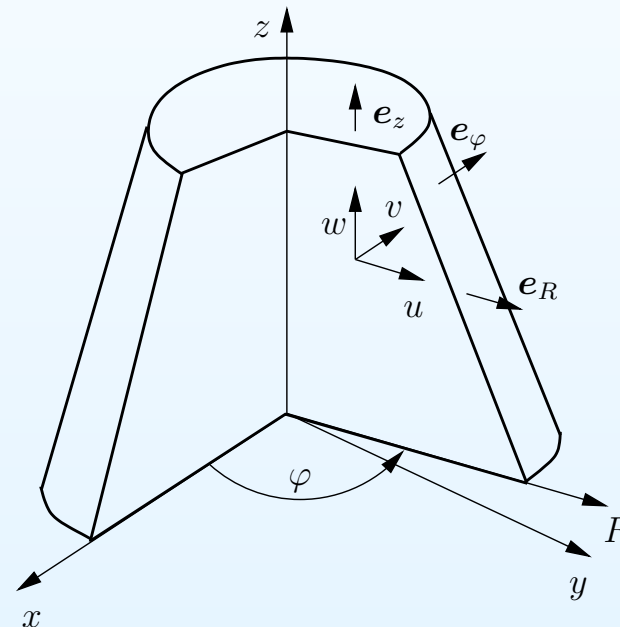
8. Modellezés

9. Rezgés

10. Intelligens szerk.

Tengelyszimmetrikus feladatok (TSz)

Számos esetben találkozunk a mérnöki gyakorlatban forgástestekkel (tengelyek, tartályok stb.). Ezek egy része a geometriai tengelyszimmetria mellett, a megfogás és terhelés vonatkozásában is forgásszimmetriával, tengelyszimmetriával rendelkezik. Ez esetben a látható z tengelyű forgástest terhelése és megfogása független a kerületi irányban mért φ koordinátától.



$$\mathbf{u} = u(R, z)\mathbf{e}_R + w(R, z)\mathbf{e}_z$$



Tengelyszimmetrikus feladatok (TSz)

Bevezetés

1. Fogalmak

2. Variációs elvek

3. Elemmodell

4. Egyváltozós feladat

5. Kompatibilis elemek

6. Kétváltozós feladatok

- SA
- SF
- **TSz**
- 4 csomópontú elem
- Leképzés?
- 8 csomópontú elem
- Elmozdulásmező
- Deriváltak előállítás
- Merevségi mátrix
- Numerikus integrálás

7. Lemezelemek

8. Modellezés

9. Rezgés

10. Intelligens szerk.

Az alakváltozási és feszültségi vektorok

$$\boldsymbol{\varepsilon} = \begin{bmatrix} \varepsilon_R \\ \varepsilon_\varphi \\ \varepsilon_z \\ \gamma_{Rz} \end{bmatrix} = \begin{bmatrix} \frac{\partial u}{\partial R} \\ \frac{u}{R} \\ \frac{\partial w}{\partial z} \\ \frac{\partial u}{\partial z} + \frac{\partial w}{\partial R} \end{bmatrix}, \quad \boldsymbol{\sigma} = \begin{bmatrix} \sigma_R \\ \sigma_\varphi \\ \sigma_z \\ \tau_{Rz} \end{bmatrix}$$

között homogén izotróp anyagra az anyagállandók mátrixa

$$\mathbf{D} = \frac{E}{(1 + \nu)(1 - 2\nu)} \begin{bmatrix} 1 - \nu & \nu & \nu & 0 \\ \nu & 1 - \nu & \nu & 0 \\ \nu & \nu & 1 - \nu & 0 \\ 0 & 0 & 0 & \frac{1 - 2\nu}{2} \end{bmatrix}$$

teremt kapcsolatot.

$$\boldsymbol{\sigma} = \mathbf{D}\boldsymbol{\varepsilon}$$



Négycsomópontú elem

Bevezetés

1. Fogalmak

2. Variációs elvek

3. Elemmodell

4. Egyváltozós feladat

5. Kompatibilis elemek

6. Kétváltozós feladatok

- SA
- SF
- TSz
- **4 csomópontú elem**

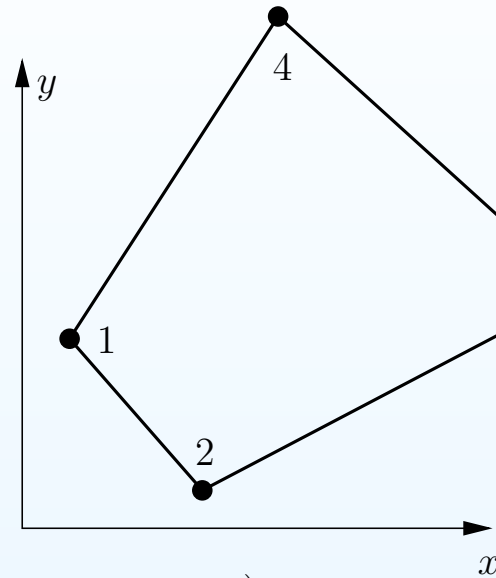
- Leképzés?
- 8 csomópontú elem
- Elmozdulásmező
- Deriváltak előállítás
- Merevségi mátrix
- Numerikus integrálás

7. Lemezelemek

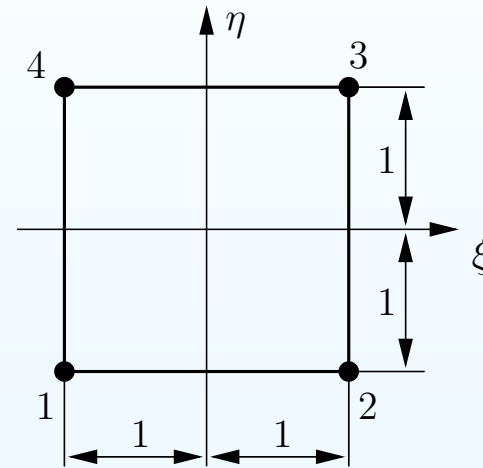
8. Modellezés

9. Rezgés

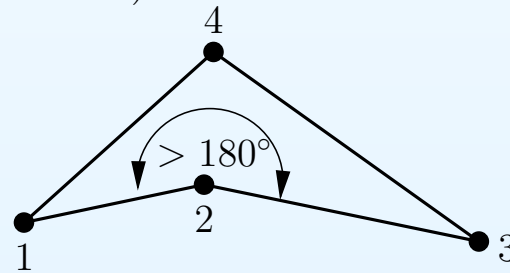
10. Intelligens szerk.



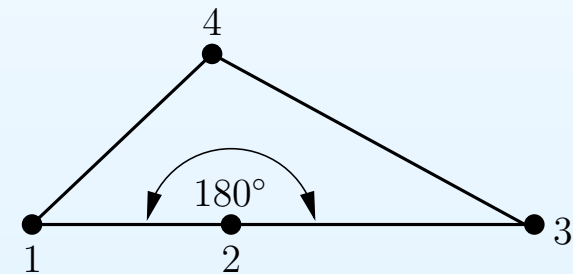
a.)



b.)



c.)





Bevezetés

1. Fogalmak

2. Variációs elvek

3. Elemmodell

4. Egyváltozós feladat

5. Kompatibilis elemek

6. Kétfváltozós feladatok

- SA
- SF
- TSz
- **4 csomópontú elem**

- Leképezés?
- 8 csomópontú elem
- Elmozdulásmező
- Deriváltak előállítás
- Merevségi mátrix
- Numerikus integrálás

7. Lemezelemek

8. Modellezés

9. Rezgés

10. Intelligens szerk.

Négycsomópontú elem

Az előző ábra egy konvex egyenesoldalú, négycsomópontú elemet mutat az xy globális koordináta-rendszerben, amelyet egy két egység élű négyzet-tartományra kívánunk leképezni. Ennek érdekében az $x(\xi, \eta)$ és $y(\xi, \eta)$ leképező függvényeket bilineáris alakban írjuk fel:

$$x(\xi, \eta) = a_1 + a_2\xi + a_3\eta + a_4\xi\eta = [1 \quad \xi \quad \eta \quad \xi\eta] \mathbf{a} = \boldsymbol{\varphi}^T(\xi, \eta) \mathbf{a}$$

$$y(\xi, \eta) = b_1 + b_2\xi + b_3\eta + b_4\xi\eta = [1 \quad \xi \quad \eta \quad \xi\eta] \mathbf{b} = \boldsymbol{\varphi}^T(\xi, \eta) \mathbf{b}$$

melyben a_i és b_i állandókat a csomópontok, azaz a sarokpontok

$$x(\xi_i, \eta_i) = x_i, \quad y(\xi_i, \eta_i) = y_i$$

koordinátái alapján lehet meghatározni. Az előző ábrából kiolvashatóan a négy pont ξ, η koordinátájának behelyettesítésével



Bevezetés

1. Fogalmak

2. Variációs elvek

3. Elemmodell

4. Egyváltozós feladat

5. Kompatibilis elemek

6. Kétfváltozós feladatok

- SA
- SF
- TSz
- **4 csomópontú elem**
- Leképezés?
- 8 csomópontú elem
- Elmozdulásmező
- Deriváltak előállítása
- Merevségi mátrix
- Numerikus integrálás

7. Lemezelemek

8. Modellezés

9. Rezgésstan

10. Intelligens szerk.

Négycsomópontú elem

Tömörebben

$$\mathbf{x} = \mathbf{G} \mathbf{a}, \quad \mathbf{a} = \mathbf{G}^{-1} \mathbf{x}$$

Hasonlóképpen \mathbf{y} -ra áll

$$\mathbf{y} = \mathbf{G} \mathbf{b} \quad \mathbf{b} = \mathbf{G}^{-1} \mathbf{y}$$

Az állandókat visszaírva a leképezés

$$x(\xi, \eta) = \boldsymbol{\varphi}^T(\xi, \eta) \mathbf{G}^{-1} \mathbf{x} = \sum_{i=1}^4 N_i(\xi, \eta) x_i \quad (x \leftrightarrow y)$$

alakban áll elő, ahol az $N_i(\xi, \eta)$ ún. alakfüggvények felépítése a következő:

$$\begin{aligned} N_1 &= \frac{1}{4}(1 - \xi)(1 - \eta) & N_3 &= \frac{1}{4}(1 + \xi)(1 + \eta) \\ N_2 &= \frac{1}{4}(1 + \xi)(1 - \eta) & N_4 &= \frac{1}{4}(1 - \xi)(1 + \eta) \end{aligned}$$



Négycsomópontú elem

Bevezetés

1. Fogalmak

2. Variációs elvek

3. Elemmodell

4. Egyváltozós feladat

5. Kompatibilis elemek

6. Kétfváltozós feladatok

- SA
- SF
- TSz
- **4 csomópontú elem**

- Leképezés?
- 8 csomópontú elem
- Elmozdulásmező
- Deriváltak előállítás
- Merevségi mátrix
- Numerikus integrálás

7. Lemezelemek

8. Modellezés

9. Rezgés

10. Intelligens szerk.

Könnyen ellenőrizhető, hogy az alakfüggvények összege:

$$\sum_{i=1}^4 N_i(\xi, \eta) = 1$$

A leképezést alkalmazva az elem j -dik csomópontjára

$$x(\xi_j, \eta_j) = \sum_{i=1}^4 N_i(\xi_j, \eta_j) x_i$$

amiből következik, hogy

$$N_i(\xi_j, \eta_j) = \begin{cases} 1, & \text{ha } i = j \\ 0, & \text{ha } i \neq j \end{cases}$$

Az izoparametrikus elemeknél

$$u = \sum_{i=1}^4 N_i(\xi, \eta) u_i \quad \text{és} \quad v = \sum_{i=1}^4 N_i(\xi, \eta) v_i$$



Bevezetés

1. Fogalmak

2. Variációs elvek

3. Elemmodell

4. Egyváltozós feladat

5. Kompatibilis elemek

6. Kétfváltozós feladatok

- SA
- SF
- TSz
- 4 csomópontú elem
- **Leképzés?**
- 8 csomópontú elem
- Elmozdulásmező
- Deriváltak előállítás
- Merevségi mátrix
- Numerikus integrálás

7. Lemezelemek

8. Modellezés

9. Rezgés

10. Intelligens szerk.

Kölcsönösen egyértelmű leképzés

A végeelem ténylegesen az x, y rendszerben létezik, vagyis a mezők simaságához az $N_i(\xi(x, y), \eta(x, y))$ függvénynek is simának kell lennie. Az $N_i(\xi, \eta)$ függvények simák (folytonos deriváltakkal rendelkeznek a ξ, η rendszerben). Azonban, ha az elem valamelyik csomópontjánál az oldalak közötti szög 180° , vagy annál nagyobb (a belső szög tompa), akkor az x, y és ξ, η koordinátarendszerek közötti leképezés már nem lesz egyértelmű, amelyet a **J Jacobi-mátrix** determinánsának nem pozitív volta is jelez. Az x, y és a ξ, η koordináta-rendszerek közötti egyértelmű leképzéshez szükséges, hogy

$$\det \mathbf{J} = \det \begin{bmatrix} \frac{\partial x}{\partial \xi} & \frac{\partial y}{\partial \xi} \\ \frac{\partial x}{\partial \eta} & \frac{\partial y}{\partial \eta} \end{bmatrix} > 0,$$

azaz a **J Jacobi-mátrix** determinánsának pozitívnak kell lennie.



Nyolccsomópontú elem

Bevezetés

1. Fogalmak

2. Variációs elvek

3. Elemmodell

4. Egyváltozós feladat

5. Kompatibilis elemek

6. Kétfváltozós feladatok

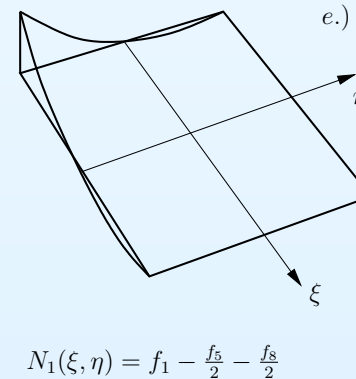
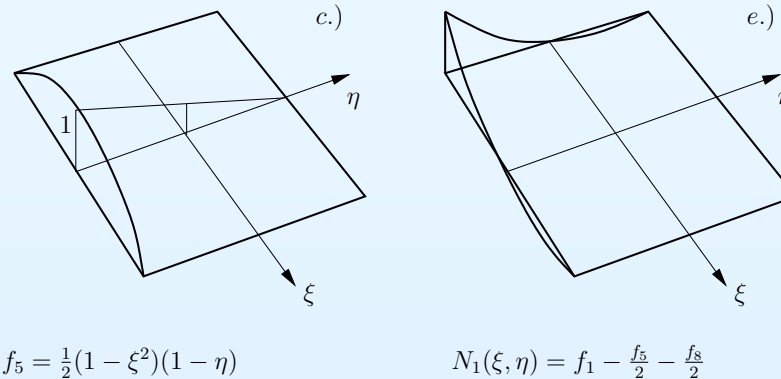
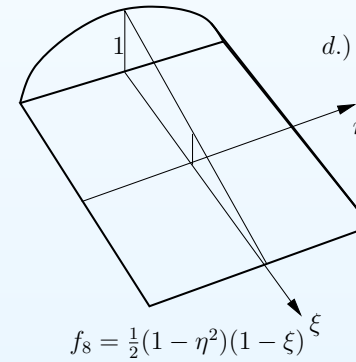
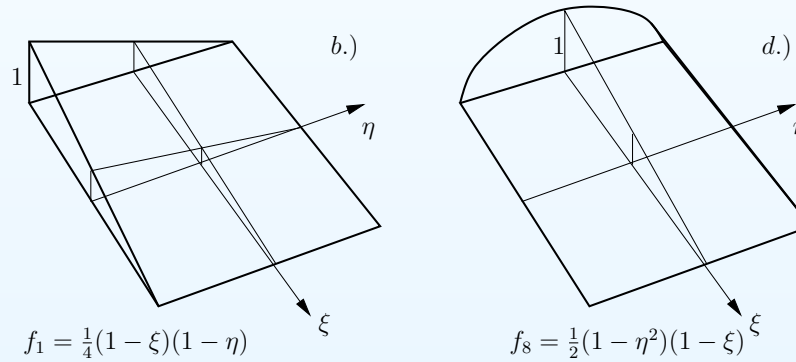
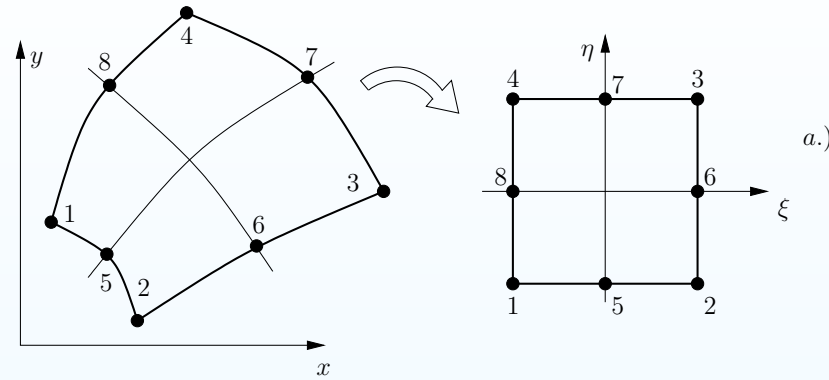
- SA
- SF
- TSz
- 4 csomópontú elem
- Leképzés?
- **8 csomópontú elem**
- Elmozdulásmező
- Deriváltak előállítás
- Merevségi mátrix
- Numerikus integrálás

7. Lemezelemek

8. Modellezés

9. Rezgés

10. Intelligens szerk.





Nyolccsomópontú elem

Bevezetés

1. Fogalmak

2. Variációs elvek

3. Elemmodell

4. Egyváltozós feladat

5. Kompatibilis elemek

6. Kétfváltozós feladatok

- SA
- SF
- TSz
- 4 csomópontú elem
- Leképzés?
- **8 csomópontú elem**
- Elmozdulásmező
- Deriváltak előállítás
- Merevségi mátrix
- Numerikus integrálás

7. Lemezelemek

8. Modellezés

9. Rezgés

10. Intelligens szerk.

Az előző ábra egy nyolccsomópontú, görbepereemű izoparametrikus elemet mutat, melynek nyolc alakfüggvényét így írhatjuk fel

$$N_1 = \frac{1}{4}(1 - \xi)(1 - \eta)(-\xi - \eta - 1)$$

$$N_2 = \frac{1}{4}(1 + \xi)(1 - \eta)(\xi - \eta - 1)$$

$$N_3 = \frac{1}{4}(1 + \xi)(1 + \eta)(\xi + \eta - 1)$$

$$N_4 = \frac{1}{4}(1 - \xi)(1 + \eta)(-\xi + \eta - 1)$$

$$N_5 = \frac{1}{2}(1 - \xi^2)(1 - \eta)$$

$$N_6 = \frac{1}{2}(1 - \eta^2)(1 + \xi)$$

$$N_7 = \frac{1}{2}(1 - \xi^2)(1 + \eta)$$

$$N_8 = \frac{1}{2}(1 - \eta^2)(1 - \xi)$$



Elmozdulásmező

Bevezetés

1. Fogalmak

2. Variációs elvek

3. Elemmodell

4. Egyváltozós feladat

5. Kompatibilis elemek

6. Kétfváltozós feladatok

- SA
- SF
- TSz
- 4 csomópontú elem
- Leképzés?
- 8 csomópontú elem
- **Elmozdulásmező**
- Deriváltak előállítás
- Merevségi mátrix
- Numerikus integrálás

7. Lemezelemek

8. Modellezés

9. Rezgés

10. Intelligens szerk.

A két koordináta-rendszer közötti leképezést az előzőekkel összhangban

$$x = \sum_{i=1}^{n_{cs}} N_i(\xi, \eta) x_i \quad y = \sum_{i=1}^{n_{cs}} N_i(\xi, \eta) y_i$$

formulák adják, ahol n_{cs} az adott elemmodell csomópontjainak száma. Kétfváltozós feladatok esetén az elmozdulás koordináták közelítése

$$u = \sum_{i=1}^{n_{cs}} N_i(\xi, \eta) u_i \quad v = \sum_{i=1}^{n_{cs}} N_i(\xi, \eta) v_i$$

A szokás szerinti tömör felírás

$$\mathbf{u} = \begin{bmatrix} u \\ v \end{bmatrix} = \begin{bmatrix} N_1 & 0 & \dots & N_{n_{cs}} & 0 \\ 0 & N_1 & \dots & 0 & N_{n_{cs}} \end{bmatrix} \mathbf{q}^e \equiv \mathbf{N}(\xi, \eta) \mathbf{q}$$

ahol $\mathbf{q}^{eT} = [u_1, v_1, \dots, u_i, v_i, \dots, u_{n_{cs}}, v_{n_{cs}}]$ az elem $2 \cdot n_{cs}$ méretű elmozdulás-vektora.



Deriváltak előállítás

A globálrendszerbeli alakváltozási vektor

$$\boldsymbol{\varepsilon} = \begin{bmatrix} \varepsilon_x \\ \varepsilon_y \\ \gamma_{xy} \end{bmatrix} = \begin{bmatrix} \frac{\partial u}{\partial x} \\ \frac{\partial v}{\partial y} \\ \frac{\partial u}{\partial y} + \frac{\partial v}{\partial x} \end{bmatrix} = \begin{bmatrix} \sum_i \frac{\partial N_i}{\partial x} u_i \\ \sum_i \frac{\partial N_i}{\partial y} v_i \\ \sum_i \left(\frac{\partial N_i}{\partial y} u_i + \frac{\partial N_i}{\partial x} v_i \right) \end{bmatrix}$$

amiből látszik, hogy a ehhez szükséges az alakfüggvények globál koordináta-rendszerbeli $\frac{\partial N_i}{\partial x}$, $\frac{\partial N_i}{\partial y}$ parciális deriváltak

$$\begin{bmatrix} \frac{\partial N_i}{\partial x} \\ \frac{\partial N_i}{\partial y} \end{bmatrix} = \begin{bmatrix} \frac{\partial N_i}{\partial \xi} \frac{\partial \xi}{\partial x} + \frac{\partial N_i}{\partial \eta} \frac{\partial \eta}{\partial x} \\ \frac{\partial N_i}{\partial \xi} \frac{\partial \xi}{\partial y} + \frac{\partial N_i}{\partial \eta} \frac{\partial \eta}{\partial y} \end{bmatrix} = \begin{bmatrix} \frac{\partial \xi}{\partial x} & \frac{\partial \eta}{\partial x} \\ \frac{\partial \xi}{\partial y} & \frac{\partial \eta}{\partial y} \end{bmatrix} \begin{bmatrix} \frac{\partial N_i}{\partial \xi} \\ \frac{\partial N_i}{\partial \eta} \end{bmatrix}$$

Tömörebben felírva

$$(\boldsymbol{\partial}_G N_i) = \mathbf{J}^{-1} (\boldsymbol{\partial}_L N_i) = \begin{bmatrix} J_{11}^{-1} & J_{12}^{-1} \\ J_{21}^{-1} & J_{22}^{-1} \end{bmatrix} (\boldsymbol{\partial}_L N_i)$$

ahol \mathbf{J}^{-1} a Jacobi-mátrix inverze, $(\boldsymbol{\partial}_G \cdot)$ a globálrendszerbeli deriváltak vektora, $(\boldsymbol{\partial}_L \cdot)$ a lokálrendszerbeli deriváltak vektora.

Bevezetés

1. Fogalmak

2. Variációs elvek

3. Elemmodell

4. Egyváltozós feladat

5. Kompatibilis elemek

6. Kétfváltozós feladatok

- SA
- SF
- TSz
- 4 csomópontú elem
- Leképzés?
- 8 csomópontú elem
- Elmozdulásmező
- **Deriváltak előállítás**
- Merevségi mátrix
- Numerikus integrálás

7. Lemezelemek

8. Modellezés

9. Rezgés

10. Intelligens szerk.



Deriváltak előállítás

Bevezetés

1. Fogalmak

2. Variációs elvek

3. Elemmodell

4. Egyváltozós feladat

5. Kompatibilis elemek

6. Kétfváltozós feladatok

- SA
- SF
- TSz
- 4 csomópontú elem
- Leképzés?
- 8 csomópontú elem
- Elmozdulásmező
- **Deriváltak előállítás**
- Merevségi mátrix
- Numerikus integrálás

7. Lemezelemek

8. Modellezés

9. Rezgés

10. Intelligens szerk.

A ξ, η rendszerbeli parciális deriváltakra

$$\begin{bmatrix} \frac{\partial N_i}{\partial \xi} \\ \frac{\partial N_i}{\partial \eta} \end{bmatrix} = \begin{bmatrix} \frac{\partial x}{\partial \xi} & \frac{\partial y}{\partial \xi} \\ \frac{\partial x}{\partial \eta} & \frac{\partial y}{\partial \eta} \end{bmatrix} \begin{bmatrix} \frac{\partial N_i}{\partial x} \\ \frac{\partial N_i}{\partial y} \end{bmatrix}$$

$$(\partial_L N_i) = \mathbf{J} (\partial_G N_i) = \begin{bmatrix} J_{11} & J_{12} \\ J_{21} & J_{22} \end{bmatrix} (\partial_G N_i)$$

így a Jacobi-mátrix felhasználásával

$$\mathbf{J}_{(2,2)} = \begin{bmatrix} \frac{\partial \sum_i N_i}{\partial \xi} x_i & \frac{\partial \sum_i N_i}{\partial \xi} y_i \\ \frac{\partial \sum_i N_i}{\partial \eta} x_i & \frac{\partial \sum_i N_i}{\partial \eta} y_i \end{bmatrix} = \begin{bmatrix} \dots \frac{\partial N_i}{\partial \xi} \dots \\ \dots \frac{\partial N_i}{\partial \eta} \dots \end{bmatrix} \begin{bmatrix} x_1 & y_1 \\ x_i & y_i \\ x_{n_{cs}} & y_{n_{cs}} \end{bmatrix}$$

módon számítható.



Deriváltak előállítás

Bevezetés

1. Fogalmak

2. Variációs elvek

3. Elemmodell

4. Egyváltozós feladat

5. Kompatibilis elemek

6. Kétváltozós feladatok

- SA
- SF
- TSz
- 4 csomópontú elem
- Leképzés?
- 8 csomópontú elem
- Elmozdulásmező
- **Deriváltak előállítás**
- Merevségi mátrix
- Numerikus integrálás

7. Lemezelemek

8. Modellezés

9. Rezgés

10. Intelligens szerk.

Látjuk tehát, hogy a két koordinátarendszerben értelmezett deriváltak között a Jacobi-mátrix, vagy annak inverze teremti a kapcsolatot.

$$\frac{\partial N_i}{\partial x} = J_{11}^{-1} \frac{\partial N_i}{\partial \xi} + J_{12}^{-1} \frac{\partial N_i}{\partial \eta}$$
$$\frac{\partial N_i}{\partial y} = J_{21}^{-1} \frac{\partial N_i}{\partial \xi} + J_{22}^{-1} \frac{\partial N_i}{\partial \eta}$$

Ez azt jelenti, hogy így előállítható a következő formula által definiált \mathbf{B} elmozdulás-alakváltozás transzformációs mátrixszal felírható

$$\boldsymbol{\varepsilon} = \begin{bmatrix} \frac{\partial N_1}{\partial x} & 0 & \dots & \frac{\partial N_i}{\partial x} & 0 & \dots \\ 0 & \frac{\partial N_1}{\partial y} & \dots & 0 & \frac{\partial N_i}{\partial y} & \dots \\ \frac{\partial N_1}{\partial y} & \frac{\partial N_1}{\partial x} & \dots & \frac{\partial N_i}{\partial y} & \frac{\partial N_i}{\partial x} & \dots \end{bmatrix} \begin{bmatrix} u_1 \\ v_1 \\ \vdots \\ u_i \\ v_i \\ \vdots \end{bmatrix} = \mathbf{B}(\xi, \eta) \mathbf{q}^e$$



Bevezetés

1. Fogalmak

2. Variációs elvek

3. Elemmodell

4. Egyváltozós feladat

5. Kompatibilis elemek

6. Kétváltozós feladatok

- SA
- SF
- TSz
- 4 csomópontú elem
- Leképzés?
- 8 csomópontú elem
- Elmozdulásmező
- Deriváltak előállítása
- **Merevségi mátrix**
- Numerikus integrálás

7. Lemezelemek

8. Modellezés

9. Rezgés

10. Intelligens szerk.

Merevségi mátrix

Az előző pontokban ismertetett kétdimenziós feladattípusok sajátosságait figyelembe véve az elem teljes potenciális energia kifejezése mátrixos formában

$$\Pi_p^e = \frac{1}{2} \mathbf{q}^{eT} \int_{(A^e)} \mathbf{B}^T \mathbf{D} \mathbf{B} b dA \mathbf{q}^e - \mathbf{q}^{eT} (\mathbf{f}_\varepsilon^e + \mathbf{f}_p^e + \mathbf{f}_{qk}^e)$$

ahol

$\mathbf{K}^e = \int_{A^e} \mathbf{B}^T \mathbf{D} \mathbf{B} b dA$ az elemi merevségi mátrix,

$\mathbf{f}_\varepsilon^e = \int_{A^e} \mathbf{B}^T \mathbf{D} \varepsilon_0 b dA$ a kezdeti alakváltozásból,

$\mathbf{f}_p^e = \int_{\Gamma^e} \mathbf{N}^T \mathbf{p} b d\Gamma$ a felületi terhelésből, és

$\mathbf{f}_{\rho k}^e = \int_{A^e} \mathbf{N}^T \rho \mathbf{k} b dA$ a térfogati terhelésből

számítandó redukált csomóponti terhelési vektor.



Numerikus integrálás

Bevezetés

1. Fogalmak

2. Variációs elvek

3. Elemmodell

4. Egyváltozós feladat

5. Kompatibilis elemek

6. Kétfváltozós feladatok

- SA
- SF
- TSz
- 4 csomópontú elem
- Leképezés?
- 8 csomópontú elem
- Elmozdulásmező
- Deriváltak előállítás
- Merevségi mátrix
- Numerikus integrálás

7. Lemezelemek

8. Modellezés

9. Rezgés

10. Intelligens szerk.

Egy dimenzióánál egy $F(x)$ függvény a, b intervallumbeli integrálját

$$\int_a^b F(x) dx = S_1 F(x_1) + \dots S_{NG} F(x_{NG}) + R_{NG}$$

kifejezés szolgáltatja, ahol S_i súlyfaktor, x_i később ismertetett koordináta, R_{NG} maradék tag, NG a felvett pontok száma. Kimutatható, hogy ezzel a közelítéssel $2 * NG - 1$ -ed fokú polinom még pontosan integrálható. Az a, b intervallumból, amint azt már az elemeknél láttuk, a $-1 \leq \xi \leq 1$ intervallumba térünk át a leképezésnél használatos

$$x = \sum_j N_j(\xi) x_j \quad dx = \sum_j \frac{\partial N_j}{\partial \xi} x_j d\xi$$

összefüggéssel, míg a súlyfaktorra $S_i = \det \mathbf{J}(\xi_i) W_i$ fog fennállni, ahol W_i ún. Gauss-féle súlyfaktor, míg ξ_i a Legendre polinomok belső zérus helyeit kijelölő ún. Gauss-féle koordináta.



Numerikus integrálás

Bevezetés

1. Fogalmak

2. Variációs elvek

3. Elemmodell

4. Egyváltozós feladat

5. Kompatibilis elemek

6. Kétdimenziós feladatok

- SA
- SF
- TSz
- 4 csomópontú elem
- Leképzés?
- 8 csomópontú elem
- Elmozdulásmező
- Deriváltak előállítás
- Merevségi mátrix
- Numerikus integrálás

7. Lemezelemek

8. Modellezés

9. Rezgés

10. Intelligens szerk.

Ily módon az $\int_a^b F(x) dx$ integrál numerikus integrálással

$$\int_a^b F(x) dx = \int_{-1}^1 F(\xi) \det \mathbf{J}(\xi) d\xi = \sum_{i=1}^{NG} W_i \det \mathbf{J}(\xi_i) F(\xi_i)$$

Kétdimenziós esetben

$$\int_{-1}^1 \int_{-1}^1 F(\xi, \eta) \det \mathbf{J}(\xi, \eta) d\xi d\eta = \sum_{i=1}^{NG} \sum_{j=1}^{NG} W_i W_j \det \mathbf{J}(\xi_i, \eta_j) F(\xi_i, \eta_j)$$



Numerikus integrálás

Bevezetés

1. Fogalmak

2. Variációs elvek

3. Elemmodell

4. Egyváltozós feladat

5. Kompatibilis elemek

6. Kétfváltozós feladatok

- SA
- SF
- TSz
- 4 csomópontú elem
- Leképzés?
- 8 csomópontú elem
- Elmozdulásmező
- Deriváltak előállítás
- Merevségi mátrix
- Numerikus integrálás

7. Lemezelemek

8. Modellezés

9. Rezgés

10. Intelligens szerk.

A korábban szereplő mátrix-szorzatot $\mathbf{F}^e(x, y)$ -el jelölve a

$$\begin{aligned} \mathbf{K}^e &= \int_{A^e} \mathbf{B}^T(x, y) \mathbf{D}(x, y) \mathbf{B}(x, y) b(x, y) dA \equiv \int_{A^e} \mathbf{F}^e(x, y) dA = \\ &= \int_{-1}^1 \int_{-1}^1 \mathbf{F}(x(\xi, \eta), y(\xi, \eta)) \det \mathbf{J}(\xi, \eta) d\xi d\eta = \\ &= \sum_{i=1}^{NG} \sum_{j=1}^{NG} W_i W_j \det \mathbf{J}(\xi_i, \eta_j) \mathbf{F}(\xi_i, \eta_j) \end{aligned}$$

míg például a perem menti integrál

$$\begin{aligned} \mathbf{f}_p^e &= \int_{\Gamma_e} \mathbf{N}^T \mathbf{p} b d\Gamma = \int_{-1}^1 \mathbf{N}^T(\xi, \eta = 1) \mathbf{p}(\xi) b(\xi, \eta = 1) \det \mathbf{J}^\Gamma(\xi, \eta = 1) d\xi \\ &= \sum_{j=1}^{NG} W_j \det \mathbf{J}^\Gamma(\xi_j, \eta = 1) \tilde{\mathbf{f}}^e(\xi_j, \eta_j) \end{aligned}$$



Bevezetés

1. Fogalmak

2. Variációs elvek

3. Elemmodell

4. Egyváltozós feladat

5. Kompatibilis elemek

6. Kétváltozós feladatok

7. Lemezelemek

- Hipotézisek
- Erők, Nyomatékok
- Vastag lemez
- Peremfeltételek
- Vékony lemez
- Hibabecslés

8. Modellezés

9. Rezgés

10. Intelligens szerk.

7. Lemezelemek



Bevezetés

1. Fogalmak

2. Variációs elvek

3. Elemmodell

4. Egyváltozós feladat

5. Kompatibilis elemek

6. Kétfváltozós feladatok

7. Lemezelemek

● Hipotézisek

- Erők, Nyomatékok
- Vastag lemez
- Peremfeltételek
- Vékony lemez
- Hibabecslés

8. Modellezés

9. Rezgés

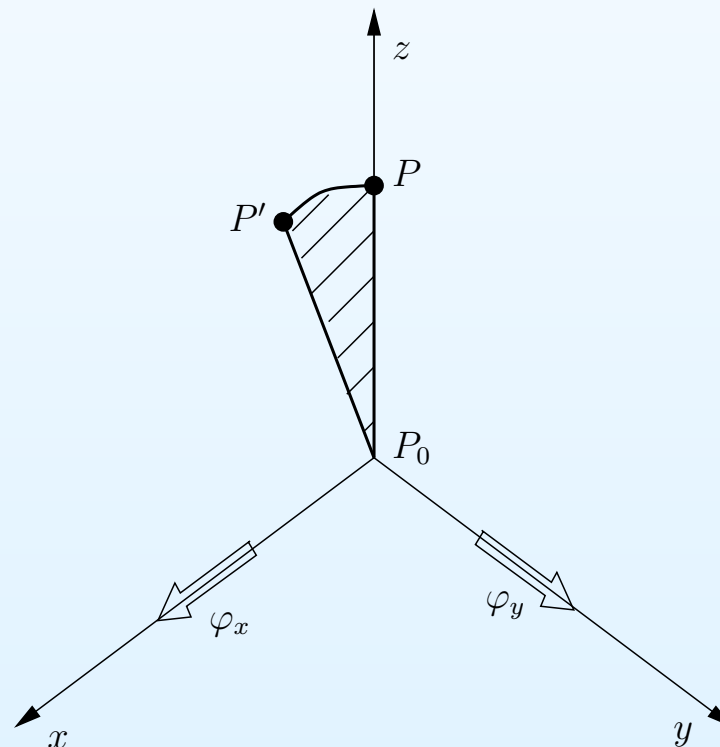
10. Intelligens szerk.

Geometriai hipotézis

Tételezzük fel, hogy a b vastagságú lemez középfelülete az xy síkban fekszik. A középfelületet jelölje A , míg peremét Γ . Az elmozdulásmező

$$\left. \begin{aligned} u &= u(x, y, z) = \varphi_y(x, y)z, & v &= v(x, y, z) = -\varphi_x(x, y)z \\ w &= w(x, y, z) = w_0(x, y) \end{aligned} \right\}$$

ahol w_0 , φ_x , φ_y a lemez középfelületén lévő pontok z irányú elmozdulása és a pont környezetének x és y tengelykörüli szögelfordulása.





Bevezetés

1. Fogalmak

2. Variációs elvek

3. Elemmodell

4. Egyváltozós feladat

5. Kompatibilis elemek

6. Kétfváltozós feladatok

7. Lemezelemek

● Hipotézisek

- Erők, Nyomatékok
- Vastag lemez
- Peremfeltételek
- Vékony lemez
- Hibabecslés

8. Modellézés

9. Rezgés

10. Intelligens szerk.

Geometriai hipotézis

A fajlagos nyúlások

$$\varepsilon_x = \frac{\partial u}{\partial x} = z\varphi'_y = z \cdot \frac{\partial \varphi_y}{\partial x}, \varepsilon_y = \frac{\partial v}{\partial y} = -z \cdot \frac{\partial \varphi_x}{\partial y}, \varepsilon_z = \frac{\partial w}{\partial z} = 0$$

és a szögtorzulások

$$\gamma_{xy} = \frac{\partial u}{\partial y} + \frac{\partial v}{\partial x} = z \cdot \left(\frac{\partial \varphi_y}{\partial y} - \frac{\partial \varphi_x}{\partial x} \right), \quad \gamma_{xz} = \frac{\partial w}{\partial x} + \frac{\partial u}{\partial z} = \frac{\partial w}{\partial x} + \varphi_y$$

$$\gamma_{yz} = \frac{\partial w}{\partial y} + \frac{\partial v}{\partial z} = \frac{\partial w}{\partial y} - \varphi_x$$

A fentiek alapján a lemez középfelületére merőleges egyenes szakasz a terhelés után is egyenes marad, hossza nem változik.



Geometriai hipotézis

Bevezetés

1. Fogalmak

2. Variációs elvek

3. Elemmodell

4. Egyváltozós feladat

5. Kompatibilis elemek

6. Kétfváltozós feladatok

7. Lemezelemek

● Hipotézisek

● Erők, Nyomatékok

● Vastag lemez

● Peremfeltételek

● Vékony lemez

● Hibabecslés

8. Modellézés

9. Rezgés

10. Intelligens szerk.

$$\boldsymbol{\varepsilon} = \begin{bmatrix} \varepsilon_x \\ \varepsilon_y \\ \gamma_{xy} \end{bmatrix} = z \underbrace{\begin{bmatrix} \frac{\partial \varphi_y}{\partial x} \\ \frac{\partial \varphi_x}{\partial y} \\ \frac{\partial \varphi_y}{\partial y} - \frac{\partial \varphi_x}{\partial x} \end{bmatrix}}_{\boldsymbol{\kappa}} = z \boldsymbol{\kappa}$$

ahol $\boldsymbol{\kappa}$ a görbületek oszlopvektora:

$$\boldsymbol{\kappa} = \underbrace{\begin{bmatrix} 0 & 0 & \frac{\partial}{\partial x} \\ 0 & -\frac{\partial}{\partial y} & 0 \\ 0 & -\frac{\partial}{\partial x} & \frac{\partial}{\partial y} \end{bmatrix}}_{\boldsymbol{\partial}_\varepsilon} \underbrace{\begin{bmatrix} w \\ \varphi_x \\ \varphi_y \end{bmatrix}}_{\mathbf{u}}$$

A z -től független szögtorzulások pedig a következő kételemű vektorba rendezhetők:

$$\boldsymbol{\gamma} = \begin{bmatrix} \gamma_{xz} \\ \gamma_{yz} \end{bmatrix} = \underbrace{\begin{bmatrix} \frac{\partial}{\partial x} & 0 & 1 \\ \frac{\partial}{\partial y} & -1 & 0 \end{bmatrix}}_{\boldsymbol{\partial}_\gamma} \begin{bmatrix} w \\ \varphi_x \\ \varphi_y \end{bmatrix} = \boldsymbol{\partial}_\gamma \mathbf{u}$$



Feszültségi hipotézis

Bevezetés

1. Fogalmak

2. Variációs elvek

3. Elemmodell

4. Egyváltozós feladat

5. Kompatibilis elemek

6. Kétváltozós feladatok

7. Lemezelemek

• Hipotézisek

- Erők, Nyomatékok
- Vastag lemez
- Peremfeltételek
- Vékony lemez
- Hibabecslés

8. Modellezés

9. Rezgésstan

10. Intelligens szerk.

A klasszikus lemezelmélet másik hipotézise a feszültségállapottal kapcsolatos, nevezetesen, tapasztalatok alapján nem követünk el nagy hibát, ha a σ_z feszültséget elhanyagoljuk a σ_x és σ_y mellett

$$\sigma_x = \frac{E}{1 - \nu^2} (\varepsilon_x + \nu \varepsilon_y), \quad \sigma_y = \frac{E}{1 - \nu^2} (\nu \varepsilon_x + \varepsilon_y)$$

$$\tau_{xy} = G \gamma_{xy}, \quad \tau_{xz} = G \gamma_{xz}, \quad \tau_{yz} = G \gamma_{yz}$$

ahol $G = E/2(1 + \nu)$. Nyilvánvaló az $\varepsilon_z = \sigma_z = 0$ feltételek egyidejűsége ellentmond a Hooke-féle anyagegyenletnek.

$$\boldsymbol{\sigma} = \begin{bmatrix} \sigma_x \\ \sigma_y \\ \tau_{xy} \end{bmatrix} = \frac{E}{1 - \nu^2} \begin{bmatrix} 1 & \nu & 0 \\ \nu & 1 & 0 \\ 0 & 0 & \frac{1-\nu}{2} \end{bmatrix} \begin{bmatrix} \varepsilon_x \\ \varepsilon_y \\ \gamma_{xy} \end{bmatrix} = \tilde{\mathbf{D}} \boldsymbol{\varepsilon} = z \tilde{\mathbf{D}} \boldsymbol{\kappa}$$



Feszültségi hipotézis

Bevezetés

1. Fogalmak

2. Variációs elvek

3. Elemmodell

4. Egyváltozós feladat

5. Kompatibilis elemek

6. Kétfváltozós feladatok

7. Lemezelemek

● Hipotézisek

● Erők, Nyomatékok

● Vastag lemez

● Peremfeltételek

● Vékony lemez

● Hibabecslés

8. Modellézés

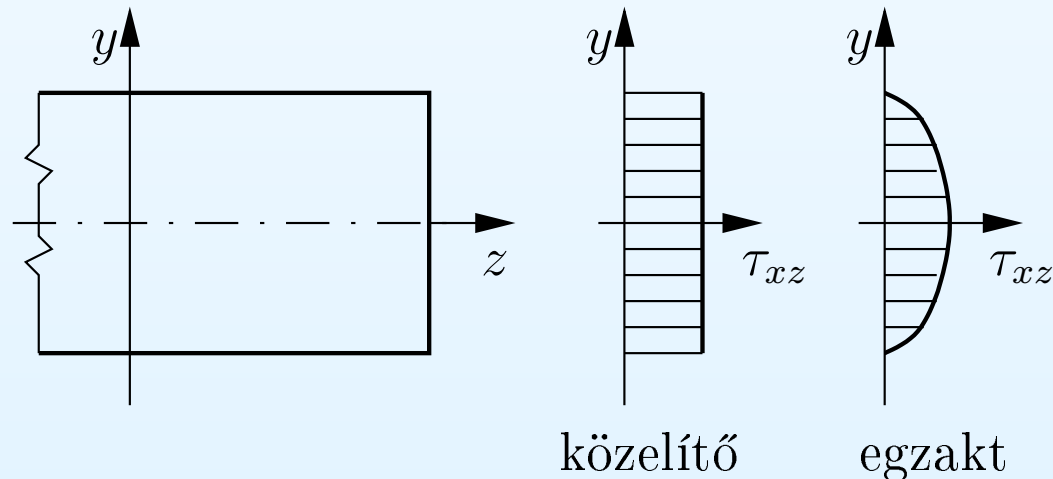
9. Rezgés

10. Intelligens szerk.

A z -től független nyírófeszültségeket mátrixosan írva:

$$\boldsymbol{\tau} = \begin{bmatrix} \tau_{xz} \\ \tau_{yz} \end{bmatrix} = kG\boldsymbol{\gamma}$$

A nyírófeszültségekben szereplő k az ún. nyírási tényező, mely abból a feltételezésből határozható meg, hogy a közelítő konstans nyírófeszültséghez és az egzakt nyírófeszültséghez tartozó alakváltozási energia megegyezik. Értéke: $\frac{5}{6}$.

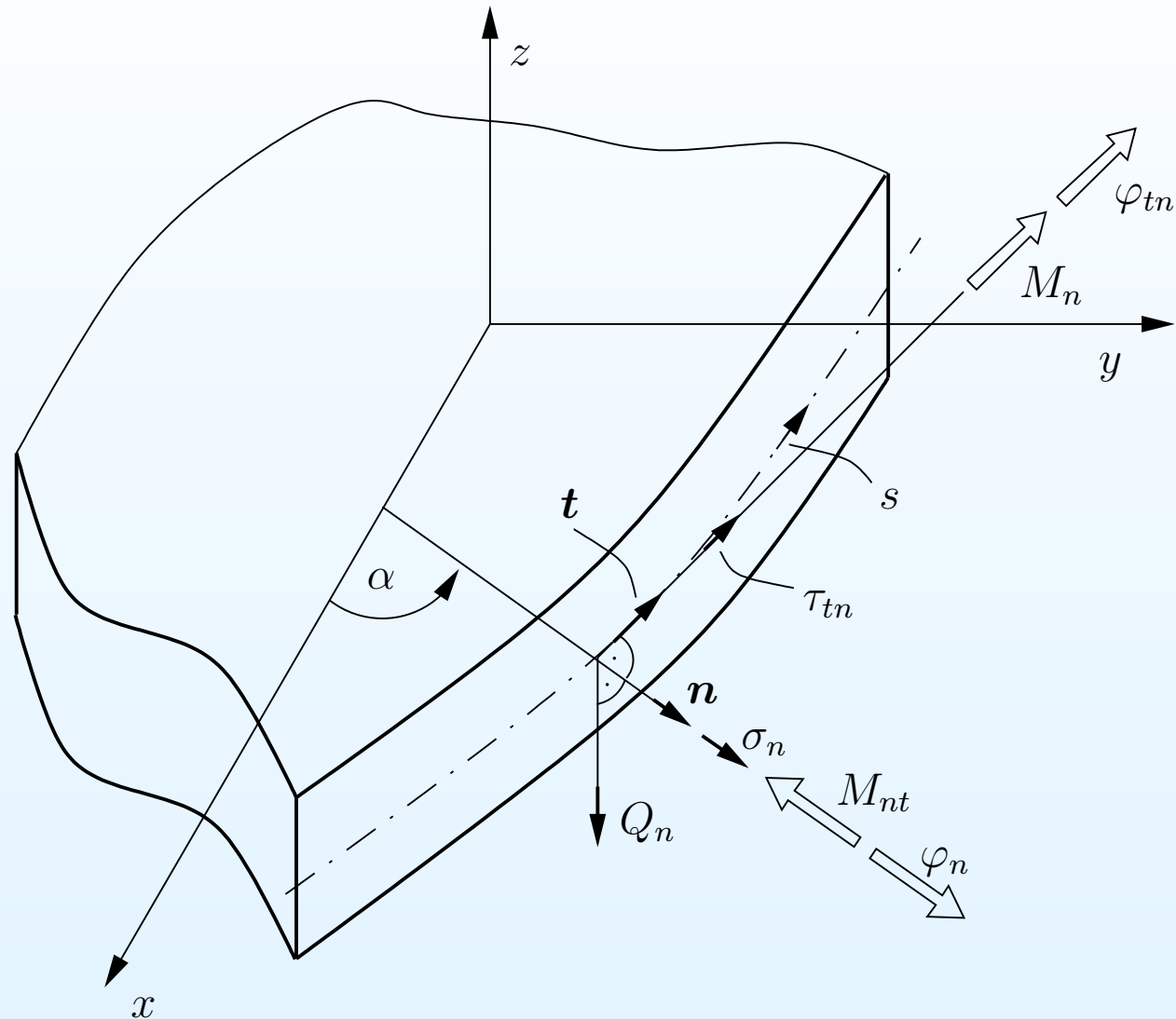




Erők, Nyomatékok

Bevezetés

1. Fogalmak
2. Variációs elvek
3. Elemmodell
4. Egyváltozós feladat
5. Kompatibilis elemek
6. Kétváltozós feladatok
7. Lemezelemek
 - Hipotézisek
 - **Erők, Nyomatékok**
 - Vastag lemez
 - Peremfeltételek
 - Vékony lemez
 - Hibabecslés
8. Modellézés
9. Rezgés
10. Intelligens szerk.





Bevezetés

1. Fogalmak

2. Variációs elvek

3. Elemmodell

4. Egyváltozós feladat

5. Kompatibilis elemek

6. Kétfváltozós feladatok

7. Lemezelemek

- Hipotézisek
- **Erők, Nyomatékok**
- Vastag lemez
- Peremfeltételek
- Vékony lemez
- Hibabecslés

8. Modellezés

9. Rezgés

10. Intelligens szerk.

Erők, Nyomatékok

Értelmezve a vastagság mentén megoszló feszültségek eredőit, nyomatékait, írhatjuk, hogy

$$Q_x = - \int_{(b)} \tau_{xz} dz, \quad Q_y = - \int_{(b)} \tau_{yz} dz.$$

Továbbá

$$M_x = \int_{(b)} \sigma_x z dz, \quad M_y = \int_{(b)} \sigma_y z dz, \quad M_{xy} = \int_{(b)} \tau_{xy} z dz$$

amiből a felületi feszültségek (élerők)

$$Q_x = -k G b \left(\varphi_y + \frac{\partial w}{\partial x} \right), \quad Q_y = -k G b \left(-\varphi_x + \frac{\partial w}{\partial y} \right)$$



Bevezetés

1. Fogalmak

2. Variációs elvek

3. Elemmodell

4. Egyváltozós feladat

5. Kompatibilis elemek

6. Kétfváltozós feladatok

7. Lemezelemek

- Hipotézisek
- **Erők, Nyomatékok**
- Vastag lemez
- Peremfeltételek
- Vékony lemez
- Hibabecslés

8. Modellezés

9. Rezgés

10. Intelligens szerk.

Erők, Nyomatékok

A felületi feszültségpárok (élnyomatékok)

$$M_x = \frac{Eb^3}{12(1-\nu^2)} \left(\frac{\partial \varphi_y}{\partial x} - \nu \frac{\partial \varphi_x}{\partial y} \right), \quad M_y = \frac{Eb^3}{12(1-\nu^2)} \left(\nu \frac{\partial \varphi_y}{\partial x} - \frac{\partial \varphi_x}{\partial y} \right)$$

$$M_{xy} = Gb^3 \frac{1}{12} \left(\frac{\partial \varphi_y}{\partial y} - \frac{\partial \varphi_x}{\partial x} \right)$$

amelyekhez az

$$\mathbf{M} = \begin{bmatrix} M_x & M_{xy} \\ M_{yx} & M_y \end{bmatrix}, \quad \mathbf{Q} = \begin{bmatrix} Q_x \\ Q_y \end{bmatrix}$$

tenzor, illetve vektor is rendelhető.



Bevezetés

1. Fogalmak

2. Variációs elvek

3. Elemmodell

4. Egyváltozós feladat

5. Kompatibilis elemek

6. Kétfváltozós feladatok

7. Lemezelemek

- Hipotézisek
- **Erők, Nyomatékok**
- Vastag lemez
- Peremfeltételek
- Vékony lemez
- Hibabecslés

8. Modellezés

9. Rezgés

10. Intelligens szerk.

Erők, Nyomatékok

A tetszőleges \mathbf{n} normálisú és \mathbf{t} érintőirányú síkon keletkező σ_n normál irányú és τ_{tn}, τ_{zn} csúsztató feszültség ($\mathbf{t} = \mathbf{e}_z \times \mathbf{n}$) :

$$\sigma_n = \mathbf{n} \cdot \mathbf{T} \cdot \mathbf{n} = \sigma_x n_x^2 + \sigma_y n_y^2 + 2\tau_{xy} n_x n_y$$

$$\tau_{tn} = \mathbf{t} \cdot \mathbf{T} \cdot \mathbf{n} = (\sigma_y - \sigma_x) n_x n_y + \tau_{xy} (n_x^2 - n_y^2)$$

$$\tau_{zn} = \mathbf{e}_z \cdot \mathbf{T} \cdot \mathbf{n} = \tau_{zx} n_x + \tau_{zy} n_y$$

$$\mathbf{n} = n_x \mathbf{e}_x + n_y \mathbf{e}_y, \quad \mathbf{t} = -n_y \mathbf{e}_x + n_x \mathbf{e}_y$$

ahol $n_x = \cos \alpha$, $n_y = \sin \alpha$ a felület normálisának koordinátája.



Bevezetés

1. Fogalmak

2. Variációs elvek

3. Elemmodell

4. Egyváltozós feladat

5. Kompatibilis elemek

6. Kétfváltozós feladatok

7. Lemezelemek

- Hipotézisek
- **Erők, Nyomatékok**
- Vastag lemez
- Peremfeltételek
- Vékony lemez
- Hibabecslés

8. Modellezés

9. Rezgés

10. Intelligens szerk.

Erők, Nyomatékok

Az élnyomatékok értelmezése alapján

$$M_n = \int_{(b)} \sigma_n z dz = M_x n_x^2 + M_y n_y^2 + 2M_{xy} n_x n_y = \mathbf{n} \cdot \mathbf{M} \cdot \mathbf{n}$$

míg

$$M_{tn} = M_{nt} = \int_{(b)} \tau_{tn} z dz = (M_y - M_x) n_x n_y + M_{xy} (n_x^2 - n_y^2) = \mathbf{t} \cdot \mathbf{M} \cdot \mathbf{n}$$

továbbá

$$Q_n = - \int_b \tau_{zn} dz = Q_x n_x + Q_y n_y \equiv \mathbf{Q} \cdot \mathbf{n}$$



Bevezetés

1. Fogalmak

2. Variációs elvek

3. Elemmodell

4. Egyváltozós feladat

5. Kompatibilis elemek

6. Kétfváltozós feladatok

7. Lemezelemek

- Hipotézisek
- Erők, Nyomatékok
- **Vastag lemez**
- Peremfeltételek
- Vékony lemez
- Hibabecslés

8. Modellézés

9. Rezgés

10. Intelligens szerk.

Reissner-Mindlin féle lemez

A teljes potenciális energia

$$\pi_p = \frac{1}{2} \int_A \int_b \boldsymbol{\varepsilon}^T \boldsymbol{\sigma} dz dA + \frac{1}{2} \int_A \int_b \boldsymbol{\gamma}^T \boldsymbol{\tau} dz dA - W_k$$

ahol a külső erők munkája

$$W_k = \int_A wp dA + \int_{\Gamma_p} M_n^0 \varphi_{tn} ds - \int_{\Gamma_p} M_{nt}^0 \varphi_n ds - \int_{\Gamma_p} Q_n^0 w_0 ds$$

mely kifejezésben p a középfelületre redukált megoszló z irányú terhelés intenzitása, M_n^0 , M_{nt}^0 , Q_n^0 a Γ_p^e peremen megadott értékek. A perem φ_n és φ_{tn} szögelfordulása a $\boldsymbol{\varphi} = \varphi_x \mathbf{e}_x + \varphi_y \mathbf{e}_y$ vektor bevezetésével

$$\varphi_n = \boldsymbol{\varphi} \cdot \mathbf{n}, \quad \varphi_{tn} = \boldsymbol{\varphi} \cdot \mathbf{t}$$

alakban állítható elő.



Peremfeltételek

Bevezetés

1. Fogalmak

2. Variációs elvek

3. Elemmodell

4. Egyváltozós feladat

5. Kompatibilis elemek

6. Kétváltozós feladatok

7. Lemezelemek

- Hipotézisek
- Erők, Nyomatékok
- Vastag lemez
- **Peremfeltételek**
- Vékony lemez
- Hibabecslés

8. Modellezés

9. Rezgés

10. Intelligens szerk.

A lemez megtámasztásától függően az alábbi peremfeltételeket szokás megkülönböztetni

Befogás esetén:

$$w = 0, \varphi_t = \varphi_n = 0$$

szabad perem esetén:

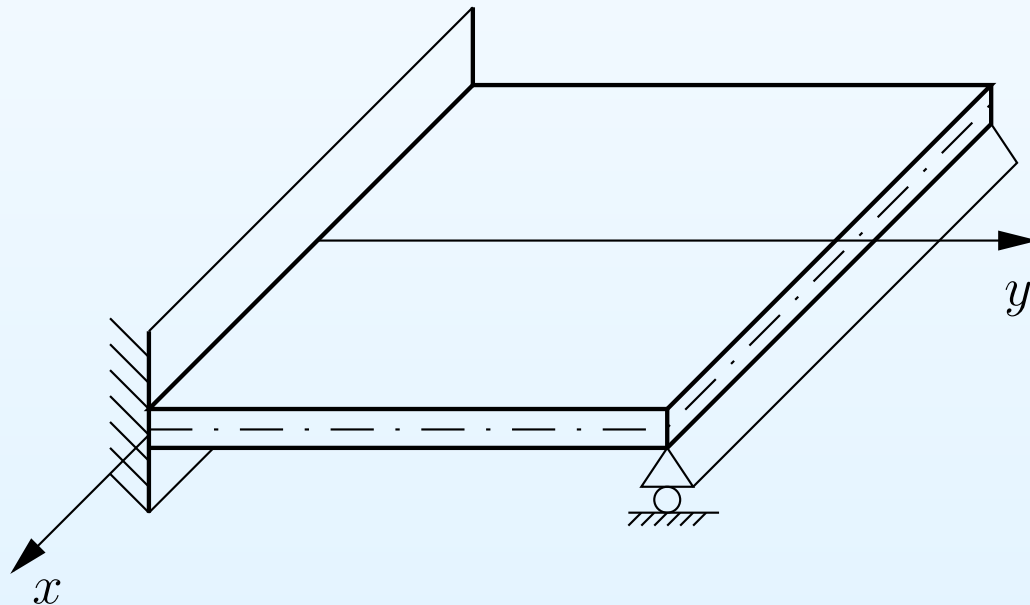
$$M_n = M_{tn} = Q_n = 0$$

egyszerű alátámasztás esetén:

$$w = 0, M_n = M_{tn} = 0$$

vagy pedig:

$$w = \varphi_n = 0, M_n = 0$$





Kirchhoff-féle hipotézis, technikai lemezelmélet

Bevezetés

1. Fogalmak

2. Variációs elvek

3. Elemmodell

4. Egyváltozós feladat

5. Kompatibilis elemek

6. Kétfváltozós feladatok

7. Lemezelemek

- Hipotézisek
- Erők, Nyomatékok
- Vastag lemez
- Peremfeltételek
- **Vékony lemez**
- Hibabecslés

8. Modellezés

9. Rezgés

10. Intelligens szerk.

Amennyiben $\gamma_{xz} = \gamma_{yz} = 0$

$$\varphi_x = \frac{\partial w}{\partial y}, \quad \varphi_y = -\frac{\partial w}{\partial x}$$

$$u = -\frac{\partial w}{\partial x} z, \quad v = -\frac{\partial w}{\partial y} z$$

összefüggéseket kapjuk, ami a *Kirchhoff*-féle hipotézisnek felel meg. Ebben az esetben az alakváltozási tenzor zérustól különböző elemei

$$\varepsilon_x = -\frac{\partial^2 w_0}{\partial x^2} z, \quad \varepsilon_y = -\frac{\partial^2 w_0}{\partial y^2} z, \quad \gamma_{xy} = -2\frac{\partial^2 w_0}{\partial x \partial y} z.$$

$$\boldsymbol{\sigma} = \begin{bmatrix} \sigma_x \\ \sigma_y \\ \tau_{xy} \end{bmatrix} = z \tilde{\mathbf{D}} \boldsymbol{\kappa} \equiv z \tilde{\mathbf{D}} \begin{bmatrix} -\frac{\partial^2 w_0}{\partial x^2} \\ -\frac{\partial^2 w_0}{\partial y^2} \\ -2\frac{\partial^2 w_0}{\partial x \partial y} \end{bmatrix}, \quad \tilde{\mathbf{D}} = \frac{E}{1-\nu^2} \begin{bmatrix} 1 & \nu & 0 \\ \nu & 1 & 0 \\ 0 & 0 & \frac{1-\nu}{2} \end{bmatrix}$$



Bevezetés

1. Fogalmak

2. Variációs elvek

3. Elemmodell

4. Egyváltozós feladat

5. Kompatibilis elemek

6. Kétfváltozós feladatok

7. Lemezelemek

- Hipotézisek
- Erők, Nyomatékok
- Vastag lemez
- Peremfeltételek
- Vékony lemez
- Hibabecslés

8. Modellézés

9. Rezgés

10. Intelligens szerk.

Hibabecslés

Az elmozdulási mező alapján

\mathbf{u} elmozdulás $\rightarrow \boldsymbol{\varepsilon} = \boldsymbol{\partial} \mathbf{u}$ alakváltozás, $\boldsymbol{\sigma} = \mathbf{D} \boldsymbol{\varepsilon}$ feszültség.

Az elmozdulás normája

$$\|\mathbf{u}\|_E = \sqrt{U_{alakv.}} = \left(\frac{1}{2} \int_V \boldsymbol{\varepsilon}^T \boldsymbol{\sigma} dV \right)^{\frac{1}{2}} = \left(\frac{1}{2} \int_V (\boldsymbol{\partial} \mathbf{u})^T \mathbf{D} (\boldsymbol{\partial} \mathbf{u}) dV \right)^{\frac{1}{2}}.$$

Legyen $\mathbf{u} = \mathbf{u}_{ex}$ az egzakt megoldás, \mathbf{u}_{VEM} a közelítő véges elemes megoldás

$$\mathbf{e} = \mathbf{u}_{VEM} - \mathbf{u}_{ex}.$$

Az \mathbf{e} hiba pontszerű értelmezése a gyakorlatban ritkán határozható meg, de a norma alapján

$$\|\mathbf{e}\|_E = \left[\frac{1}{2} \int_V (\boldsymbol{\partial} \mathbf{e}) \mathbf{D} (\boldsymbol{\partial} \mathbf{e}) dV \right]^{\frac{1}{2}}$$



Bevezetés

1. Fogalmak

2. Variációs elvek

3. Elemmodell

4. Egyváltozós feladat

5. Kompatibilis elemek

6. Kétfváltozós feladatok

7. Lemezelemek

- Hipotézisek
- Erők, Nyomatékok
- Vastag lemez
- Peremfeltételek
- Vékony lemez
- Hibabecslés

8. Modellezés

9. Rezgés

10. Intelligens szerk.

Peremérték feladatok csoportjai

A peremérték feladatokat az irodalomban három csoportba szokás sorolni:

- A.) típusról beszélünk, ha megoldás elegendően sima, vagyis a vizsgált tartomány szingularitásokat nem tartalmaz, azaz *analitikus* jellegű.
- B.) típus esetén *szingularitásokat* tartalmaz a feladat, de ez a szinguláris hely az elem csomópontjába esik
- C.) típusnál a szingularitások tetszőlegesen helyezkednek el, azaz nem esnek csomópontokba.

Hibabecslő összefüggések

	<i>A</i>	<i>B</i>	<i>C</i>
<i>p</i>	$\ \mathbf{e}\ _E \leq k \cdot N^{-\frac{p}{2}}$	$\ \mathbf{e}\ _E \leq k \cdot N^{-\frac{1}{2} \min(p, \lambda)}$	$\ \mathbf{e}\ _E \leq k \cdot N^{-\frac{1}{2} \min(p, \lambda)}$
<i>h</i>	$\ \mathbf{e}\ \leq [\exp(-\gamma N^\delta)] \cdot k$ $\delta > \frac{1}{2}$	$\ \mathbf{e}\ \leq k \cdot N^{-\lambda}$	$\ \mathbf{e}\ \leq k \cdot N^{-\frac{1}{2} \lambda}$
<i>hp</i>		$\ \mathbf{e}\ \leq [\exp(-\gamma N^\delta)] \cdot k$ $\delta > \frac{1}{3}$	

A táblázatban szereplő N az ismeretlenek számát, p a közelítő polinom fokszámát, λ a szingularitás mértékét jelenti, k konstans érték.

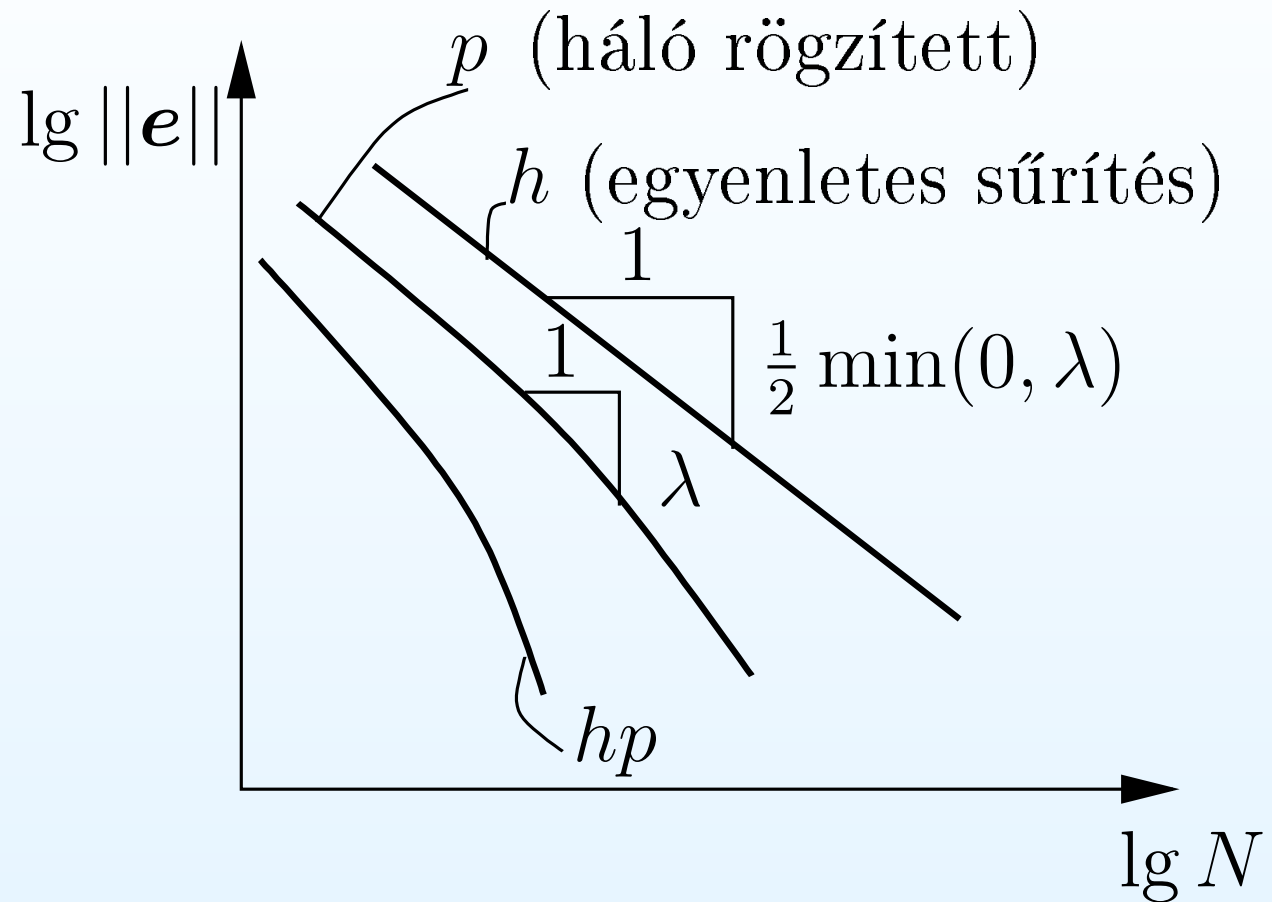
A táblázatból látható, hogy a p -verziós közelítés gyorsabb konvergenciával rendelkezik, mint a h -verziós. A hp -verziós eljárás exponenciálisan gyors konvergenciájú még B -típusú feladatok esetén is. Ekkor a felosztást a szingularitás közelében geometria sor szerint szükséges sűríteni.



A h -, p és hp -verziós számítások konvergenciája

Bevezetés

- 1. Fogalmak
- 2. Variációs elvek
- 3. Elemmodell
- 4. Egyváltozós feladat
- 5. Kompatibilis elemek
- 6. Kétfváltozós feladatok
- 7. Lemezelemek
 - Hipotézisek
 - Erők, Nyomatékok
 - Vastag lemez
 - Peremfeltételek
 - Vékony lemez
 - Hibabecslés
- 8. Modellezés
- 9. Rezgés
- 10. Intelligens szerk.





Bevezetés

1. Fogalmak

2. Variációs elvek

3. Elemmodell

4. Egyváltozós feladat

5. Kompatibilis elemek

6. Kétváltozós feladatok

7. Lemezelemek

8. Modellezés

- Alszerkezettechnika
- Adott elmozdulás
- Szakadás
- Ferde görgő
- Periódikus szerk.

9. Rezgés

10. Intelligens szerk.

8. Modellezés



Alszerkezettechnika

Bevezetés

1. Fogalmak

2. Variációs elvek

3. Elemmodell

4. Egyváltozós feladat

5. Kompatibilis elemek

6. Kétváltozós feladatok

7. Lemezelemek

8. Modellezés

● Alszerkezettechnika

● Adott elmozdulás

● Szakadás

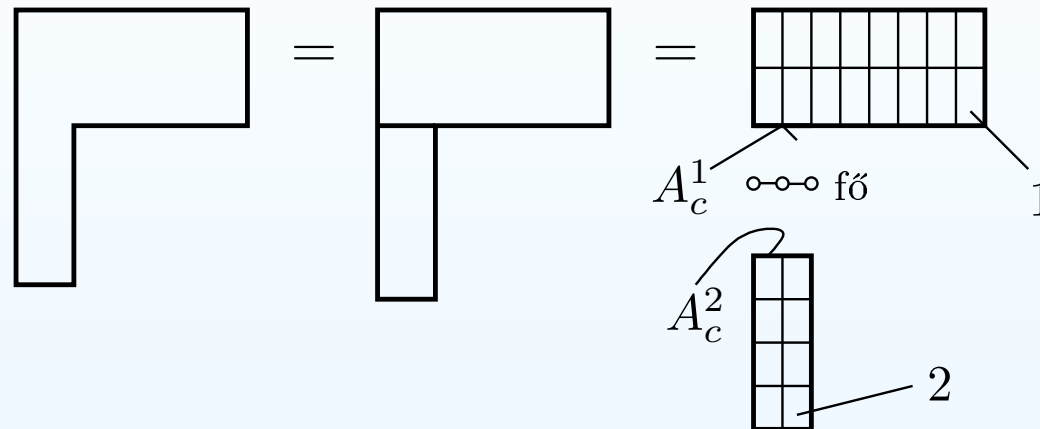
● Ferde görgő

● Periódikus szerk.

9. Rezgés

10. Intelligens szerk.

Bonyolult szerkezetek számítására alkalmas



A teljes potenciális energia minimuma elv szerint

$$\frac{\partial \Pi_p^i}{\partial \mathbf{q}^i} = \mathbf{K}^i \mathbf{q}^i - \mathbf{f}^i - \mathbf{r}^i = \begin{bmatrix} \mathbf{K}_{bb} & \mathbf{K}_{bc} \\ \mathbf{K}_{cb} & \mathbf{K}_{cc} \end{bmatrix}^i \begin{bmatrix} \mathbf{q}_b \\ \mathbf{q}_c \end{bmatrix}^i - \begin{bmatrix} \mathbf{f}_b \\ \mathbf{f}_c \end{bmatrix}^i - \begin{bmatrix} \mathbf{0} \\ \tilde{\mathbf{r}} \end{bmatrix}^i = \mathbf{0},$$

ahol \mathbf{K}^i az i -edik alszerkezet merevségi mátrixa, \mathbf{f}^i csomóponti redukált terhelési vektor, $\tilde{\mathbf{r}}^i$ a csatlakozásnál fellépő belső erőből (hatás-ellenhatás törvénye szerint keletkező) csomóponti vektor.



Alszerkezettechnika

Bevezetés

1. Fogalmak

2. Variációs elvek

3. Elemmodell

4. Egyváltozós feladat

5. Kompatibilis elemek

6. Kétfváltozós feladatok

7. Lemezelemek

8. Modellezés

● **Alszerkezettechnika**

● Adott elmozdulás

● Szakadás

● Ferde görgő

● Periódikus szerk.

9. Rezgésstan

10. Intelligens szerk.

A kapott mátrixegyenlet első blokkosora

$$\frac{\partial \Pi_p^i}{\partial \mathbf{q}_b^i} = \mathbf{K}_{bb}^i \mathbf{q}_b^i + \mathbf{K}_{bc}^i \mathbf{q}_c^i - \mathbf{f}_b^i = \mathbf{0},$$

a belső csomópontok egyensúlyát fejezi ki, amiből

$$\mathbf{q}_b^i = (\mathbf{K}_{bb}^i)^{-1} \mathbf{f}_b^i - (\mathbf{K}_{bb}^i)^{-1} \mathbf{K}_{bc}^i \mathbf{q}_c^i.$$

$$\frac{\partial \Pi_p^i}{\partial \mathbf{q}_c^i} = \mathbf{K}_{cb}^i \mathbf{q}_b^i + \mathbf{K}_{cc}^i \mathbf{q}_c^i - \mathbf{f}_c^i - \tilde{\mathbf{r}}^i = \mathbf{0}$$

$$\{ \mathbf{K}_{cc}^i - \mathbf{K}_{cb}^i (\mathbf{K}_{bb}^i)^{-1} \mathbf{K}_{bc}^i \} \mathbf{q}_c^i = \mathbf{f}_c^i - \mathbf{K}_{cb}^i (\mathbf{K}_{bb}^i)^{-1} \mathbf{f}_b^i + \tilde{\mathbf{r}}^i,$$

$$\mathbf{K}_{red}^i \mathbf{q}_c^i = \mathbf{f}_{red}^i + \tilde{\mathbf{r}}^i \quad i = 1, 2$$



Alszerkezettechnika

Bevezetés

1. Fogalmak

2. Variációs elvek

3. Elemmodell

4. Egyváltozós feladat

5. Kompatibilis elemek

6. Kétfváltozós feladatok

7. Lemezelemek

8. Modellezés

● **Alszerkezettechnika**

● Adott elmozdulás

● Szakadás

● Ferde görgő

● Periódikus szerk.

9. Rezgés

10. Intelligens szerk.

A hatás-ellenhatás értelmében $\tilde{\mathbf{r}}^1 = -\tilde{\mathbf{r}}^2$, továbbá a csatlakozási csomópontokban az elmozdulások azonosak, azaz

$$\mathbf{q}_c^1 = \mathbf{q}_c^2 = \mathbf{q}_c$$

A csatlakozó pontok egyensúlyát kifejező egyenletek összegzésével a következő végső egyenlethez jutunk a csatlakozó csomópontokbeli elmozdulás meghatározására:

$$\left(\sum_i \mathbf{K}_{red}^i \right) \mathbf{q}_c = \sum_i \mathbf{f}_{red}^i$$

vagyis megkaptuk az ún. főszerkezet egyensúlyi egyenletét.



Alszerkezettechnika

Bevezetés

1. Fogalmak

2. Variációs elvek

3. Elemmodell

4. Egyváltozós feladat

5. Kompatibilis elemek

6. Kétváltozós feladatok

7. Lemezelemek

8. Modellezés

● Alszerkezettechnika

● Adott elmozdulás

● Szakadás

● Ferde görgő

● Periódikus szerk.

9. Rezgés

10. Intelligens szerk.

A módszer előnye: egyszerűbb az adatelőkészítés, a tipizált alkatrészek, szerkezeti egységek merevségi mátrixait, terhelési vektorait előre ki lehet számolni, azokat el lehet raktározni és újbóli számításnál a teljes rendszerbe könnyen be lehet illeszteni. Az alrészek számításánál a többprocesszorú, párhuzamos számítás technikáját is fel lehet használni jelentős időt megtakarítva. Az algebrai egyenletrendszerek megoldási idejét jelentősen befolyásoló sáv szélesség minimalizálása egyszerűbb alszerkezeti szinten, mint a teljes rendszer vonatkozásában. A számítási eredmények birtokában azon részeken, ahol nem kell változtatást végrehajtani, az elraktározott \mathbf{K}_{red}^i , \mathbf{f}_{red}^i mennyiségek újból felhasználhatók, az újraszámítást csak azon részeken kell végrehajtani, ahol a geometriában, anyagban, esetleg a terhelésben álltak be változások. Ezzel gyorsítani lehet a végső tervek elérését. Az alszerkezetekkel kezelt rendszereknél az I/O műveletek száma csökken. Gyakran a számítógépi memória korlátja miatt is előnyös használata, mivel nem kell egyszerre a teljes egyenletrendszert tárolni. A gyakorlatban, nagybonyolultságú szerkezeteknél többszintű alszerkezeti struktúra felépítése is javasolt.



Bevezetés

1. Fogalmak

2. Variációs elvek

3. Elemmodell

4. Egyváltozós feladat

5. Kompatibilis elemek

6. Kétváltozós feladatok

7. Lemezelemek

8. Modellezés

- Alszerkezettechnika

- **Adott elmozdulás**

- Szakadás

- Ferde görgő

- Periódikus szerk.

9. Rezgés

10. Intelligens szerk.

Adott elmozdulás figyelembevétele

Feltételezéseink értelmében az A_u felületre kifutó végelemek csomópontjainak elmozdulásával a teljes felületen megadott elmozdulás függvényt leírjuk. Így az elem szintjén nagyon egyszerű az adott elmozdulás figyelembevétele.

A teljes potenciális energia

$$\Pi_p^e = \Pi_p^e(\mathbf{q}^e) = \frac{1}{2} [\mathbf{q}_s^{e,T} \quad \mathbf{q}_u^{e,T}] \left(\begin{bmatrix} \bar{\mathbf{K}}_{ss}^e & \bar{\mathbf{K}}_{su}^e \\ \bar{\mathbf{K}}_{us}^e & \bar{\mathbf{K}}_{uu}^e \end{bmatrix} \begin{bmatrix} \mathbf{q}_s^e \\ \mathbf{q}_u^e \end{bmatrix} - 2 \begin{bmatrix} \mathbf{f}_s^e \\ \mathbf{f}_u^e \end{bmatrix} \right)$$

ahol \mathbf{q}_u^e a \mathbf{q}^e csomóponti elmozdulásvektor azon része, amelynél az elmozdulások adottak, míg a \mathbf{q}_s^e -el jelöljük, a szabad elmozdulásokat.

A minimalizálandó energia

$$\Pi_p = \sum_e \Pi_p^e(\mathbf{q}_s^e) = \sum_e \frac{1}{2} \mathbf{q}_s^{e,T} \left(\bar{\mathbf{K}}_{ss}^e \mathbf{q}_s^e - 2(\mathbf{f}_s^e - \mathbf{K}_{su}^e \mathbf{q}_u^e) \right),$$

vagyis az adott elmozdulás egy kinematikai terhelést jelent, ami arányos az adott elmozdulással $-\mathbf{K}_{su}^e \mathbf{q}_u^e$.



Adott elmozdulásmezőben fennálló szakadás, kezdeti hézag

Bevezetés

1. Fogalmak

2. Variációs elvek

3. Elemmodell

4. Egyváltozós feladat

5. Kompatibilis elemek

6. Kétfváltozós feladatok

7. Lemezelemek

8. Modellezés

• Alszerkezettechnika

• Adott elmozdulás

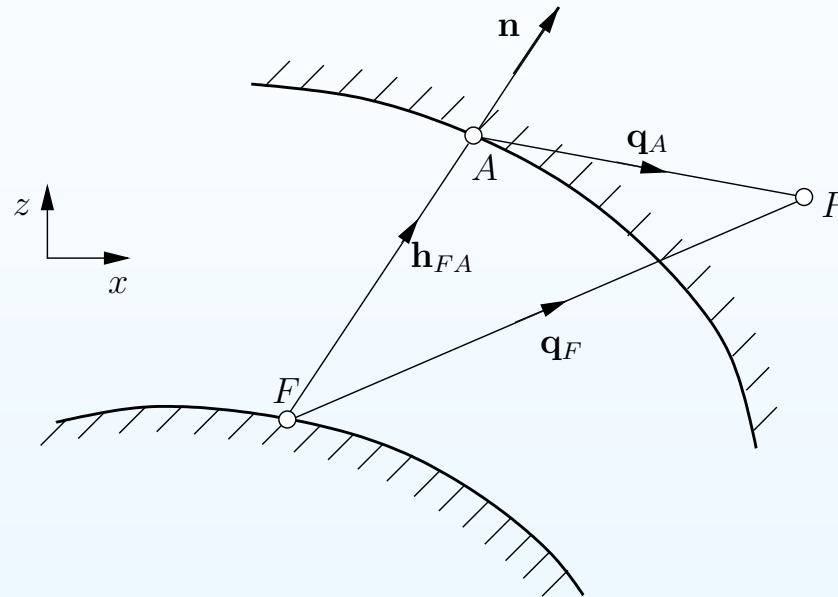
• Szakadás

• Ferde görgő

• Periódikus szerk.

9. Rezgés

10. Intelligens szerk.



Tételezzük fel, hogy az A és az F párbaállított csomópontok általánosított csomóponti elmozdulása között fennáll

$$\mathbf{q}_F = \mathbf{q}_A + \mathbf{h}_{FA}$$

Az A csomópontot magába foglaló e jelű elem teljes potenciális energiája

$$\Pi_p^e = \Pi_p^e(\mathbf{q}_A^e, \mathbf{q}_m^e) = \frac{1}{2} \begin{bmatrix} \mathbf{q}_A^{e,T} & \mathbf{q}_m^{e,T} \end{bmatrix} \left(\mathbf{K}^e \begin{bmatrix} \mathbf{q}_A^e \\ \mathbf{q}_m^e \end{bmatrix} - 2 \begin{bmatrix} \mathbf{f}_A^e \\ \mathbf{f}_m^e \end{bmatrix} \right),$$



Bevezetés

1. Fogalmak

2. Variációs elvek

3. Elemmodell

4. Egyváltozós feladat

5. Kompatibilis elemek

6. Kétfváltozós feladatok

7. Lemezelemek

8. Modellezés

- Alszerkezettechnika
- Adott elmozdulás
- **Szakadás**
- Ferde görgő
- Periódikus szerk.

9. Rezgés

10. Intelligens szerk.

Adott elmozdulásmezőben fennálló szakadás, kezdeti hézag

Továbbá

$$\Pi_p^e = \frac{1}{2} [\mathbf{q}_F^T - \mathbf{h}_{FA}^T, \mathbf{q}_m^{e,T}] (\mathbf{K}^e \begin{bmatrix} \mathbf{q}_F - \mathbf{h}_{FA} \\ \mathbf{q}_m^e \end{bmatrix} - 2 \begin{bmatrix} \mathbf{f}_A^e \\ \mathbf{f}_m^e \end{bmatrix}) .$$

A merevségi mátrixot az elmozdulásvektor szerint felbontva

$$\mathbf{K}^e = \begin{bmatrix} \mathbf{K}_{AA} & \mathbf{K}_{Am} \\ \mathbf{K}_{mA} & \mathbf{K}_{mm} \end{bmatrix}^e .$$

Ennek felhasználásával

$$\Pi_p^e = \Pi_p^e(\mathbf{q}_F, \mathbf{q}_m^e) - [\mathbf{q}_F^T, \mathbf{q}_m^{e,T}] \begin{bmatrix} \mathbf{K}_{AA} \\ \mathbf{K}_{mA} \end{bmatrix}^e \mathbf{h}_{FA} ,$$

vagyis az A pontbeli ismeretlenek F pontba való áthelyezésével az e -edik elem merevségi mátrixa nem módosul, a csomóponti terhelésé azonban igen:

$$\mathbf{f}_{\text{mód}}^e = \begin{bmatrix} \mathbf{f}_A^e \\ \mathbf{f}_m^e \end{bmatrix} + \begin{bmatrix} \mathbf{K}_{AA} \\ \mathbf{K}_{mA} \end{bmatrix}^e \mathbf{h}_{FA}$$



Ferde hatásvonalú támasz

Bevezetés

1. Fogalmak

2. Variációs elvek

3. Elemmodell

4. Egyváltozós feladat

5. Kompatibilis elemek

6. Kétfváltozós feladatok

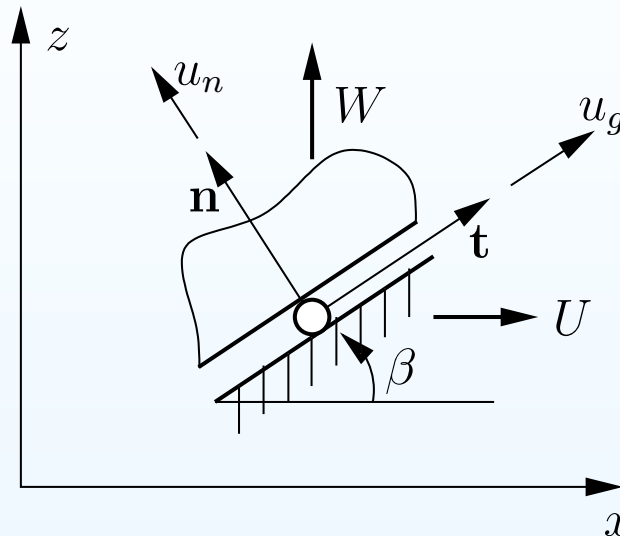
7. Lemezelemek

8. Modellezés

- Alszerkezettechnika
- Adott elmozdulás
- Szakadás
- **Ferde görgő**
- Periódikus szerk.

9. Rezgésstan

10. Intelligens szerk.



Az alábbi összefüggések fennállnak

$$\mathbf{q}_{Gi} = \begin{bmatrix} U \\ W \end{bmatrix} = \begin{bmatrix} \cos \beta & -\sin \beta \\ \sin \beta & \cos \beta \end{bmatrix} \begin{bmatrix} u_g \\ u_n \end{bmatrix}$$

Mivel a görgő elmozdulásának irányára merőlegesen az $u_n = 0$, úgy az előbbi egyenlet

$$\mathbf{q}_{Gi} = \begin{bmatrix} U \\ W \end{bmatrix} = \begin{bmatrix} \cos \beta \\ \sin \beta \end{bmatrix} [u_g] = \mathbf{T}_{Gi} \bar{\mathbf{q}}_{Gi}$$



Bevezetés

1. Fogalmak

2. Variációs elvek

3. Elemmodell

4. Egyváltozós feladat

5. Kompatibilis elemek

6. Kétfváltozós feladatok

7. Lemezelemek

8. Modellezés

- Alszerkezettechnika
- Adott elmozdulás
- Szakadás
- **Ferde görgő**
- Periódikus szerk.

9. Rezgés

10. Intelligens szerk.

Ferde hatásvonalú támasz

A \mathbf{q}_G globális elmozdulásvektor

$$\mathbf{q}_G = \mathbf{T}_G \bar{\mathbf{q}}_G.$$

Az elem csomóponti elmozdulási vektorának két részre bontásával

$$\mathbf{q}^{e,T} = \begin{bmatrix} \mathbf{q}_G^{e,T} & \mathbf{q}_m^e \end{bmatrix}$$

$$\Pi_p^e = \Pi_p^e(\mathbf{q}_G^e, \mathbf{q}_m^e) = \frac{1}{2} \begin{bmatrix} \mathbf{q}_G^{e,T} & \mathbf{q}_m^{e,T} \end{bmatrix} \left(\begin{bmatrix} \mathbf{K}_{GG}^e & \mathbf{K}_{Gm}^e \\ \mathbf{K}_{mG}^e & \mathbf{K}_{mm}^e \end{bmatrix} \begin{bmatrix} \mathbf{q}_G^e \\ \mathbf{q}_m^e \end{bmatrix} - 2 \begin{bmatrix} \mathbf{f}_G^e \\ \mathbf{f}_m^e \end{bmatrix} \right)$$

$$\Pi_p^e = \Pi_p^e(\bar{\mathbf{q}}_G^e, \mathbf{q}_m^e) =$$

$$= \frac{1}{2} \begin{bmatrix} \bar{\mathbf{q}}_G^{e,T} & \mathbf{q}_m^{e,T} \end{bmatrix} \left(\begin{bmatrix} \mathbf{T}_G^T \mathbf{K}_{GG}^e \mathbf{T}_G & \mathbf{T}_G^T \mathbf{K}_{Gm}^e \\ \mathbf{K}_{mG}^e \mathbf{T}_G & \mathbf{K}_{mm}^e \end{bmatrix} \begin{bmatrix} \bar{\mathbf{q}}_G^e \\ \mathbf{q}_m^e \end{bmatrix} - 2 \begin{bmatrix} \mathbf{T}_G^T \mathbf{f}_G^e \\ \mathbf{f}_m^e \end{bmatrix} \right),$$



Periódikus szerkezet

Bevezetés

1. Fogalmak

2. Variációs elvek

3. Elemmodell

4. Egyváltozós feladat

5. Kompatibilis elemek

6. Kétváltozós feladatok

7. Lemezelemek

8. Modellezés

- Alszerkezettechnika
- Adott elmozdulás
- Szakadás
- Ferde görgő
- **Periódikus szerk.**

9. Rezgés

10. Intelligens szerk.

A szimmetria és az ismétlődésből származó periodicitás figyelembevétele a számítási igények lényeges csökkenéséhez vezet, mivel a teljes szerkezet viselkedését egy kisebb rész vizsgálatával is tisztázni lehet.

Pl. egy szivattyú járókereke. A lapátok közötti rész ismétlődik. Egy felvett R sugáron a lapátokat F és A pontban metsszük el. Ehhez a pontokhoz rendre a φ_F és φ_A hengerkoordinátarendszerbeli szögek tartoznak. E szögekkel kijelölt helyi koordinátarendszerben a radiális és tangenciális elmozdulások páronként azonosak, azaz $\bar{u}_F = \bar{u}_A$ és $\bar{v}_F = \bar{v}_A$. Jelen esetben az A és F pontok sorszámainak nagyobb távolsága miatt a végső egyenletrendszerben a sávszélesség megnő, de az ismeretlenség szám lényeges csökkenése e negatívumot kompenzálja.



Periódikus szerkezet

Bevezetés

1. Fogalmak

2. Variációs elvek

3. Elemmodell

4. Egyváltozós feladat

5. Kompatibilis elemek

6. Kétváltozós feladatok

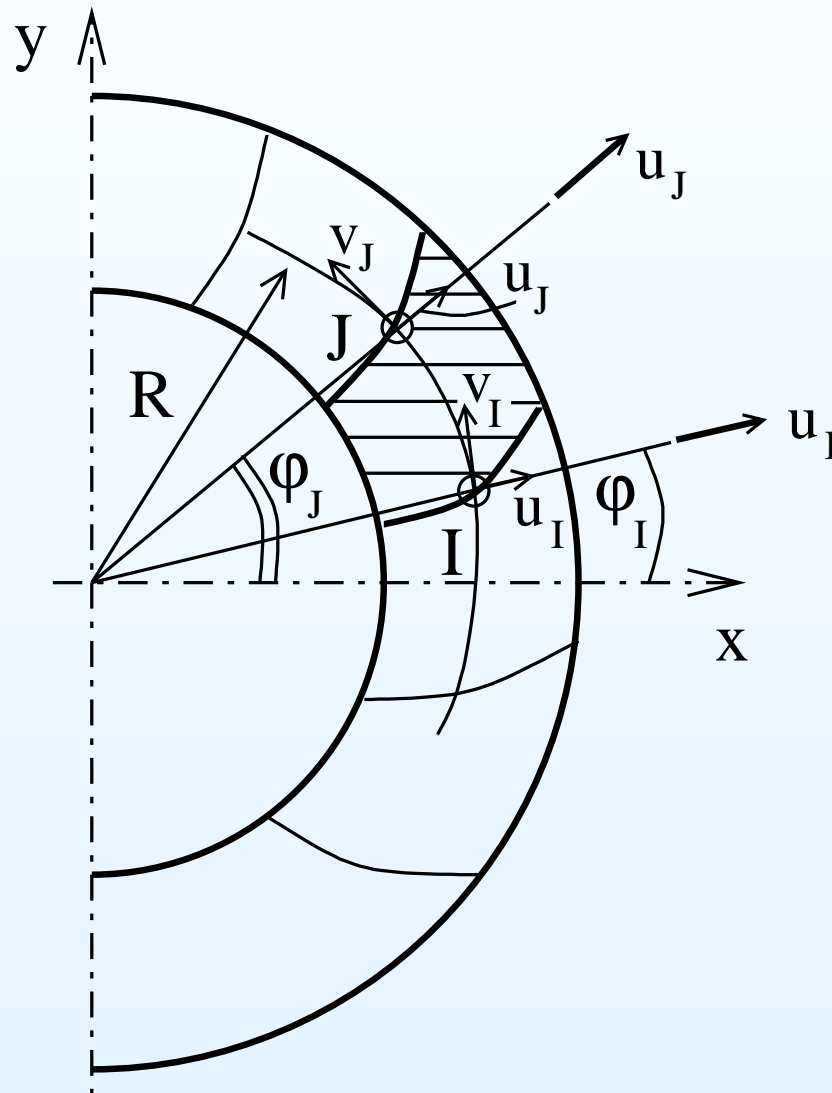
7. Lemezelemek

8. Modellezés

- Alszerkezettechnika
- Adott elmozdulás
- Szakadás
- Ferde görgő
- **Periódikus szerk.**

9. Rezgés

10. Intelligens szerk.





Bevezetés

1. Fogalmak

2. Variációs elvek

3. Elemmodell

4. Egyváltozós feladat

5. Kompatibilis elemek

6. Kétváltozós feladatok

7. Lemezelemek

8. Modellezés

9. Rezgésstan

- Alapfogalmak
- Variációs elv
- Végeselemes modell
- Szabadrezgések
- Főkoordináták
- Rayleigh-hányados
- Jacobi-féle módszer
- Iterációs technikák
- Gerjesztett rezgések
- Megoldási módszerek
- Stabilitás

10. Intelligens szerk.

9. Rezgésstan



Alapfogalmak

Bevezetés

1. Fogalmak

2. Variációs elvek

3. Elemmodell

4. Egyváltozós feladat

5. Kompatibilis elemek

6. Kétfváltozós feladatok

7. Lemezelemek

8. Modellezés

9. Rezgés

- **Alapfogalmak**
- Variációs elv
- Végeselemes modell
- Szabadrezgések
- Főkoordináták
- Rayleigh-hányados
- Jacobi-féle módszer
- Iterációs technikák
- Gerjesztett rezgések
- Megoldási módszerek
- Stabilitás

10. Intelligens szerk.

MIT IS ÉRTÜNK REZGÉSEN?

A mechanikai rendszernek az egyensúlyi helyzet környezetében ide-oda történő váltakozó mozgását rezgésnek nevezzük.

Stacionárnak nevezzük a rendszert, ha annak tulajdonságai nem változnak a vizsgált időintervallumban.

Autonom a rendszer, ha a gerjesztés explicite az időt nem tartalmazza. Rezgések ebben az esetben csak akkor lépnek fel, ha a rendszer kezdeti megzavarásával a rendszer belső energiaforrással tud rendelkezni.



Bevezetés

1. Fogalmak

2. Variációs elvek

3. Elemmodell

4. Egyváltozós feladat

5. Kompatibilis elemek

6. Kétváltozós feladatok

7. Lemezelemek

8. Modellezés

9. Rezgés

● Alapfogalmak

● Variációs elv

● Végeselemes modell

● Szabadrezgések

● Főkoordináták

● Rayleigh-hányados

● Jacobi-féle módszer

● Iterációs technikák

● Gerjesztett rezgések

● Megoldási módszerek

● Stabilitás

10. Intelligens szerk.

Alapfogalmak

A rezgéstani folyamatokat az alábbi módon szokásos osztályozni:

- Szabad rezgés: Azt a rezgést, amely oly módon zajlik le, hogy külső hatás nem éri a rendszert, szabad rezgésnek nevezik. Az autonóm rendszereket ez jellemzi.
- Gerjesztett rezgés: Külső hatás következtében előálló rezgést gerjesztett rezgésnek szokás nevezni. A nem autonóm rendszereket ez jellemzi.
- Parametrikus rezgés: A rezgést parametrikusnak szokás nevezni, ha a rezgést a rendszer paramétereinek változása okozza. Ilyen rezgés csak nemstacionér rendszereknél állhat elő.
- Öngerjesztő rezgés: A rezgés által keltett energia felszabadulása által okozott rezgést öngerjesztett rezgésnek nevezik.



Bevezetés

1. Fogalmak

2. Variációs elvek

3. Elemmodell

4. Egyváltozós feladat

5. Kompatibilis elemek

6. Kétfváltozós feladatok

7. Lemezelemek

8. Modellezés

9. Rezgés

● Alapfogalmak

- Variációs elv
- Végeselemes modell
- Szabadrezgések
- Főkoordináták
- Rayleigh-hányados
- Jacobi-féle módszer
- Iterációs technikák
- Gerjesztett rezgések
- Megoldási módszerek
- Stabilitás

10. Intelligens szerk.

Alapfogalmak

A rezgés periódikus, ha a kitérés bármely értéke ismétlődik T idő eltelte után, vagyis áll $u(t + T) = u(t)$ $[mm]$, ahol T [s] a rezgés periódus ideje. Ennek reciproka a mozgás frekvenciája $f = 1/T$ $[s^{-1}]$. A körfrekvencia

$$\alpha = 2\pi f = \frac{2\pi}{T} \quad [rad/s]$$

A rezgés frekvenciáját $[Hz]$ Hertz-ben szokás megadni. Harmónikus rezgésnél a kitérés

$$u(t) = A \cos(\alpha t + \psi),$$

ahol A , α , ψ állandó értékű paraméterek. A a rezgés amplitudója, ψ a fázisszög. A fellépő sebesség

$$v(t) = \frac{du}{dt} = -\alpha \sin(\alpha t + \psi) \quad [mm/s]$$

a gyorsulás

$$a(t) = \frac{d^2u}{dt^2} = -\alpha^2 A \cos(\alpha t + \psi) \quad [mm/s^2],$$



Bevezetés

1. Fogalmak

2. Variációs elvek

3. Elemmodell

4. Egyváltozós feladat

5. Kompatibilis elemek

6. Kétfváltozós feladatok

7. Lemezelemek

8. Modellezés

9. Rezgés

- Alapfogalmak
- **Variációs elv**
- Végeselemes modell
- Szabadrezgések
- Főkoordináták
- Rayleigh-hányados
- Jacobi-féle módszer
- Iterációs technikák
- Gerjesztett rezgések
- Megoldási módszerek
- Stabilitás

10. Intelligens szerk.

Variációs elv

D'Alambert-elv felhasználásával a test elemi részének egyensúlyát az alábbi egyenlet fejezi ki:

$$\mathbf{T}^e \cdot \nabla + \rho^e (\mathbf{k}^e - c_M^e \dot{\mathbf{u}}^e - \ddot{\mathbf{u}}^e) = \mathbf{0} \quad \mathbf{r} \in V^e$$

$$\mathbf{u}^e = \bar{\mathbf{u}} \quad \mathbf{r} \in A_u^e$$

$$\mathbf{T}^e \cdot \mathbf{n}^e = \bar{\mathbf{p}} \quad \mathbf{r} \in A_p^e.$$

$$\mathbf{T}^e \cdot \mathbf{n}^e + \mathbf{T}^j \cdot \mathbf{n}^j = \mathbf{0} \quad \mathbf{r} \in A_c^{ej}$$

Továbbá teljesülnek az ún. kezdeti feltételek

$$\mathbf{u}^e(t=0) = {}^0\mathbf{u}^e \quad \mathbf{r} \in V^e$$

$$\dot{\mathbf{u}}^e(t=0) = {}^0\mathbf{v}^e \quad \mathbf{r} \in V^e$$



Bevezetés

1. Fogalmak

2. Variációs elvek

3. Elemmodell

4. Egyváltozós feladat

5. Kompatibilis elemek

6. Kétfváltozós feladatok

7. Lemezelemek

8. Modellezés

9. Rezgésstan

- Alapfogalmak
- **Variációs elv**
- Végeselemes modell
- Szabadrezgések
- Főkoordináták
- Rayleigh-hányados
- Jacobi-féle módszer
- Iterációs technikák
- Gerjesztett rezgések
- Megoldási módszerek
- Stabilitás

10. Intelligens szerk.

Variációs elv

A *Bubnov-Galjorkin*-elv alapján, a – az elmozdulásmezőktől megkövetelve a kinematikai perem- és illesztési feltétel kielégítését – írhatjuk

$$\sum_{e=1}^{n_{el}} \int_{V^e} \delta \mathbf{u} \cdot (\mathbf{T} \cdot \nabla + \rho \mathbf{k} - \rho c_M \dot{\mathbf{u}} - \rho \ddot{\mathbf{u}}) dV - \sum_{e=1}^{n_{el}} \int_{A_p^e} \delta \mathbf{u} \cdot (\mathbf{T} \cdot \mathbf{n} - \bar{\mathbf{p}}) dA - \sum_{e=1}^{n_{el}} \int_{A_c^{ej}} \delta \mathbf{u} \cdot (\mathbf{T}^e \cdot \mathbf{n}^e + \mathbf{T}^j \cdot \mathbf{n}^j) dA = 0$$

ahol $(\delta \mathbf{u}^2 = \delta \mathbf{u}^1 = \delta \mathbf{u} \quad \mathbf{r} \in A_c)$.

Az alábbi szorzat deriválási szabály

$$(\delta \mathbf{u} \cdot \mathbf{T} \cdot \nabla) = (\delta \mathbf{u} \circ \nabla) \cdot \mathbf{T} + \delta \mathbf{u} \cdot (\mathbf{T} \cdot \nabla)$$

és a Gauss-Osztrogradszkij tétel

$$\int_V \mathbf{B} \cdot \nabla dV = \int_A \mathbf{B} \cdot \mathbf{n} dV$$



Variációs elv

Bevezetés

1. Fogalmak

2. Variációs elvek

3. Elemmodell

4. Egyváltozós feladat

5. Kompatibilis elemek

6. Kétfváltozós feladatok

7. Lemezelemek

8. Modellezés

9. Rezgésstan

- Alapfogalmak
- **Variációs elv**
- Végeselemes modell
- Szabadrezgések
- Főkoordináták
- Rayleigh-hányados
- Jacobi-féle módszer
- Iterációs technikák
- Gerjesztett rezgések
- Megoldási módszerek
- Stabilitás

10. Intelligens szerk.

Egyszerű lépések megtétele után nyerjük, hogy

$$\sum_{e=1}^{n_{el}} \int_{A^e} \delta \mathbf{u} \cdot \mathbf{T} \cdot \mathbf{n} \, dA - \int_{V^e} (\delta \mathbf{u} \circ \nabla) \cdot \mathbf{T} \, dV - \int_{V^e} \delta \mathbf{u} \cdot \rho \ddot{\mathbf{u}} \, dV - \int_{A_p^e} \delta \mathbf{u} \cdot (\mathbf{T} \cdot \mathbf{n} - \bar{\mathbf{p}}) \, dA + \left. \begin{aligned} &+ \int_{V^e} \delta \mathbf{u} \cdot (\rho \mathbf{k} - \rho c_M \dot{\mathbf{u}}) \, dV - \int_{A_c^{ej}} \delta \mathbf{u} \cdot (\mathbf{T}^e \cdot \mathbf{n}^e + \mathbf{T}^j \cdot \mathbf{n}^j) \, dA \end{aligned} \right\} = 0$$



Bevezetés

1. Fogalmak

2. Variációs elvek

3. Elemmodell

4. Egyváltozós feladat

5. Kompatibilis elemek

6. Kétfváltozós feladatok

7. Lemezelemek

8. Modellézés

9. Rezgés

- Alapfogalmak
- **Variációs elv**
- Végeselemes modell
- Szabadrezgések
- Főkoordináták
- Rayleigh-hányados
- Jacobi-féle módszer
- Iterációs technikák
- Gerjesztett rezgések
- Megoldási módszerek
- Stabilitás

10. Intelligens szerk.

Variációs elv

Tekintettel a DPF-re, az aláhúzott integrál integranduszának $\delta \mathbf{A}..T$ -vel való helyettesítésére, továbbá figyelembevételre, hogy az elem határoló felülete három részből tevődik össze $A^e = A_u^e + A_p^e + A_c^e$, a variációs egyenlet helyett

$$\sum_{e=1}^{n_{el}} \left\{ \int_{A_p^e} \delta \mathbf{u} \cdot \bar{\mathbf{p}} dA + \int_{V^e} \delta \mathbf{u} \cdot \rho \mathbf{k} dV \right\} - \sum_{e=1}^{n_{el}} \left\{ \int_{V^e} \delta \mathbf{u} \cdot \rho c_M \dot{\mathbf{u}} dV \right\} - \sum_{e=1}^{n_{el}} \left\{ \int_{V^e} \delta \mathbf{A}..T dV + \int_{V^e} \delta \mathbf{u} \cdot \rho \ddot{\mathbf{u}} dV \right\} = 0$$

írható.



Bevezetés

1. Fogalmak

2. Variációs elvek

3. Elemmodell

4. Egyváltozós feladat

5. Kompatibilis elemek

6. Kétváltozós feladatok

7. Lemezelemek

8. Modellezés

9. Rezgés

- Alapfogalmak
- **Variációs elv**
- Véges elemes modell
- Szabadrezgések
- Főkoordináták
- Rayleigh-hányados
- Jacobi-féle módszer
- Iterációs technikák
- Gerjesztett rezgések
- Megoldási módszerek
- Stabilitás

10. Intelligens szerk.

Variációs elv

A külső terhelés virtuális munkájával

$$\delta W_k = \sum_{e=1}^{n_{el}} \left\{ \int_{A_p^e} \delta u \cdot \bar{p} dA + \int_{V^e} \delta u \cdot \rho k dV \right\}$$

a negatív belső csillapító erő virtuális munkájával

$$\delta C = \sum_{e=1}^{n_{el}} \int_{V^e} \delta u \cdot \rho c_M \dot{u} dV$$

a belső alakváltozási energia variációjával

$$\delta U_{alakv.} = \sum_{e=1}^{n_{el}} \int_{V^e} \delta A \cdot T dV$$

végezetül az előbbi egyenlet

$$\delta U_{alakv.} - \delta W_k + \delta C + \sum_e \int_{V^e} \rho \delta u \cdot \ddot{u} dV = 0$$



Bevezetés

1. Fogalmak

2. Variációs elvek

3. Elemmodell

4. Egyváltozós feladat

5. Kompatibilis elemek

6. Kétfváltozós feladatok

7. Lemezelemek

8. Modellézés

9. Rezgésstan

- Alapfogalmak
- Variációs elv
- Végeselemes modell
- Szabadrezgések
- Főkoordináták
- Rayleigh-hányados
- Jacobi-féle módszer
- Iterációs technikák
- Gerjesztett rezgések
- Megoldási módszerek
- Stabilitás

10. Intelligens szerk.

Variációs elv

A ρ sűrűség állandósága mellett áll a

$$\delta u \cdot \rho \ddot{u} = \delta u \cdot \rho \frac{d\dot{u}}{dt} = \frac{d}{dt} (\delta u \cdot \rho \dot{u}) - \frac{d}{dt} (\delta u) \cdot \rho \dot{u}$$

azonosság. Ezt felhasználva, a $\frac{d}{dt} (\delta u) = \delta \frac{d u}{dt} = \delta \dot{u}$ variálási szabályra is tekintettel, a térfogati integrál helyett

$$\left. \begin{aligned} \int_V \delta u \cdot \rho \ddot{u} dV &= \frac{d}{dt} \int_V \delta u \cdot \rho \dot{u} dV - \int_V \delta \dot{u} \cdot \rho \dot{u} dV \\ &= \frac{d}{dt} \int_V \delta u \cdot \rho \dot{u} dV - \delta \int_V \frac{1}{2} \rho \dot{u}^2 dV \\ &= \frac{d}{dt} \int_V \delta u \cdot \rho \dot{u} dV - \delta E, \end{aligned} \right\},$$

írható, ahol

$$E = \frac{1}{2} \int_V \rho \dot{u}^2 dV$$

a test kinetikus energiája.



Bevezetés

1. Fogalmak

2. Variációs elvek

3. Elemmodell

4. Egyváltozós feladat

5. Kompatibilis elemek

6. Kétfváltozós feladatok

7. Lemezelemek

8. Modellezés

9. Rezgésstan

- Alapfogalmak
- **Variációs elv**
- Végeselemes modell
- Szabadrezgések
- Főkoordináták
- Rayleigh-hányados
- Jacobi-féle módszer
- Iterációs technikák
- Gerjesztett rezgések
- Megoldási módszerek
- Stabilitás

10. Intelligens szerk.

Variációs elv

$$\delta U_{alakov.} - \delta W_k + \delta C - \delta E + \frac{d}{dt} \int \delta \mathbf{u} \cdot \rho \dot{\mathbf{u}} dV = 0,$$

Amennyiben a kapott kifejezést tetszőleges t_1 és t_2 időhatárok között integráljuk, az alábbi kifejezéshez jutunk

$$\int_{t_1}^{t_2} (\delta U_{alakov.} - \delta W_k + \delta C - \delta E) dt - \int_{V t_1} \delta \mathbf{u} \cdot \rho \dot{\mathbf{u}} dV = 0$$

Megkövetelve azt, hogy az \mathbf{u} elmozdulásmező elégítse ki a t_1 és t_2 pontbeli tényleges értékeket, azt nyerjük, hogy $\delta \mathbf{u} = \mathbf{0}$ a tetszőlegesen választott időintervallum határoknál, vagyis

$$\int_{t_1}^{t_2} (\delta U_{alakov.} - \delta W_k + \delta C - \delta E) dt = 0$$

A kapott variációs egyenlet a *kiterjesztett Hamilton-féle variációs elv*hez tartozó egyenletnek felel meg.



Bevezetés

1. Fogalmak

2. Variációs elvek

3. Elemmodell

4. Egyváltozós feladat

5. Kompatibilis elemek

6. Kétváltozós feladatok

7. Lemezelemek

8. Modellezés

9. Rezgés

- Alapfogalmak
- Variációs elv
- **Végeselemes modell**
- Szabadrezgések
- Főkoordináták
- Rayleigh-hányados
- Jacobi-féle módszer
- Iterációs technikák
- Gerjesztett rezgések
- Megoldási módszerek
- Stabilitás

10. Intelligens szerk.

Végeselemes modell

Az elemenbelüli elmozdulás

$$\mathbf{u}^e \Rightarrow \mathbf{u}^e(\mathbf{x}, t) = \mathbf{N}^e(\mathbf{x})\mathbf{q}^e(t)$$

a sebesség és a gyorsulás

$$\dot{\mathbf{u}}^e \Rightarrow \dot{\mathbf{u}}^e(\mathbf{x}, t) = \mathbf{N}^e(\mathbf{x})\dot{\mathbf{q}}^e(t), \quad \ddot{\mathbf{u}}^e \Rightarrow \ddot{\mathbf{u}}^e(\mathbf{x}, t) = \mathbf{N}^e(\mathbf{x})\ddot{\mathbf{q}}^e(t)$$

az alakváltozási vektor

$$\mathbf{A}^e \Rightarrow \boldsymbol{\varepsilon}^e(\mathbf{x}, t) = \boldsymbol{\partial}\mathbf{u}^e(\mathbf{x}, t) = \mathbf{B}^e(\mathbf{x})\mathbf{q}^e(t),$$

a feszültségi vektor rugalmas anyag és viszkózus belső csillapítás feltételezésével (a kezdeti feszültséget elhanyagoljuk)

$$\mathbf{T}^e \Rightarrow \boldsymbol{\sigma}^e(\mathbf{x}, t) = \mathbf{D}^e(\boldsymbol{\varepsilon} + c_K\dot{\boldsymbol{\varepsilon}} - \boldsymbol{\varepsilon}_0)^e$$

ahol c_K belső csillapítási tényező, $\boldsymbol{\varepsilon}_0$ kezdeti alakváltozási vektor, \mathbf{D}^e anyagállandók mátrixa.



Végeselemes modell

Bevezetés

1. Fogalmak

2. Variációs elvek

3. Elemmodell

4. Egyváltozós feladat

5. Kompatibilis elemek

6. Kétfváltozós feladatok

7. Lemezelemek

8. Modellezés

9. Rezgésstan

- Alapfogalmak
- Variációs elv
- **Végeselemes modell**
- Szabadrezgések
- Főkoordináták
- Rayleigh-hányados
- Jacobi-féle módszer
- Iterációs technikák
- Gerjesztett rezgések
- Megoldási módszerek
- Stabilitás

10. Intelligens szerk.

$$\sum_{e=1}^{n_{el}} \delta \mathbf{q}^{eT} \{ \mathbf{M}^e \ddot{\mathbf{q}}^e + \mathbf{C}^e \dot{\mathbf{q}}^e + \mathbf{K}^e \mathbf{q}^e - \mathbf{f}^e \} = 0$$

$$\mathbf{M}^e = \int_{V^e} \mathbf{N}^T \rho \mathbf{N} dV, \quad \mathbf{C}^e = c_M \mathbf{M}^e + c_K \mathbf{K}^e,$$

$$\mathbf{K}^e = \int_{V^e} \mathbf{B}^T \mathbf{D} \mathbf{B} dV,$$

$$\mathbf{f}_{\varepsilon_0}^e = \int_{V^e} \mathbf{B}^T \mathbf{D} \varepsilon_0 dV, \quad \mathbf{f}_{\rho k}^e = \int_{V^e} \mathbf{N}^T \rho \mathbf{k} dV, \quad \mathbf{f}_p^e = \int_{A_p^e} \mathbf{N}^T \bar{\mathbf{p}} dA$$

$$\mathbf{f}^e = \mathbf{f}_{\varepsilon_0}^e + \mathbf{f}_{\rho k}^e + \mathbf{f}_p^e.$$

A tömeg-és a merevségi mátrixszal arányos \mathbf{C}^e csillapítási mátrixot *Rayleigh-féle csillapítási mátrixnak* is szokás nevezni.



Bevezetés

1. Fogalmak

2. Variációs elvek

3. Elemmodell

4. Egyváltozós feladat

5. Kompatibilis elemek

6. Kétfváltozós feladatok

7. Lemezelemek

8. Modellezés

9. Rezgésstan

- Alapfogalmak
- Variációs elv
- **Végeselemes modell**
- Szabadrezgések
- Főkoordináták
- Rayleigh-hányados
- Jacobi-féle módszer
- Iterációs technikák
- Gerjesztett rezgések
- Megoldási módszerek
- Stabilitás

10. Intelligens szerk.

Végeselemes modell

Az elemek illesztésére vonatkozó szabály figyelembevételével rendszerre értelmezett elmozdulási paraméterek \mathbf{q} vektorával

$$\delta \mathbf{q}^T \{ \mathbf{M} \ddot{\mathbf{q}} + \mathbf{C} \dot{\mathbf{q}} + \mathbf{K} \mathbf{q} - \mathbf{f} \} = 0$$

Az \mathbf{M}^e , ... mátrixok felépítése hasonló, mint a már korábban megismert \mathbf{K}^e merevségi mátrixé. Vagyis, ha pl. az elem $i, j \dots$ jelű csomópontokkal, összességében n_{cs}^e számú csomóponttal rendelkezik, és csomóponti elmozdulásvektora $\mathbf{q}_i^{eT} = [u, v, w]$ három elmozduláskoordinátát tartalmaz, akkor

$$\mathbf{M}^e_{(3*n_{cs}^e, 3*n_{cs}^e)} = \begin{bmatrix} \mathbf{M}_{ii} & \mathbf{M}_{ij} & \dots \\ \mathbf{M}_{ji} & \mathbf{M}_{jj} & \dots \\ \vdots & & \end{bmatrix}^e$$



Végeselemes modell

Bevezetés

1. Fogalmak

2. Variációs elvek

3. Elemmodell

4. Egyváltozós feladat

5. Kompatibilis elemek

6. Kétváltozós feladatok

7. Lemezelemek

8. Modellezés

9. Rezgés

- Alapfogalmak
- Variációs elv
- **Végeselemes modell**
- Szabadrezgések
- Főkoordináták
- Rayleigh-hányados
- Jacobi-féle módszer
- Iterációs technikák
- Gerjesztett rezgések
- Megoldási módszerek
- Stabilitás

10. Intelligens szerk.

Végül a teljes rendszerre vonatkozó tömegmátrix

$$\mathbf{M} = \begin{bmatrix} & \vdots & \\ \dots & M_{ij} & \dots \\ & \vdots & \end{bmatrix},$$

$$M_{ij} = \sum_{e \in i,j} M_{ij}^e, \quad M_{ij}^e = \begin{cases} \mathbf{0} & \text{ha } e \notin i, j \\ \neq \mathbf{0} & \text{ha } e \in i, j \end{cases}$$

összefüggéssel számolható. Ugyanez áll fenn a többi mátrixra is.



Bevezetés

1. Fogalmak

2. Variációs elvek

3. Elemmodell

4. Egyváltozós feladat

5. Kompatibilis elemek

6. Kétfváltozós feladatok

7. Lemezelemek

8. Modellézés

9. Rezgés

- Alapfogalmak
- Variációs elv
- **Végeselemes modell**
- Szabadrezgések
- Főkoordináták
- Rayleigh-hányados
- Jacobi-féle módszer
- Iterációs technikák
- Gerjesztett rezgések
- Megoldási módszerek
- Stabilitás

10. Intelligens szerk.

Regzések osztályozása

A feladatok egyik osztálya az *autonom* rendszerrel kapcsolatos, vagyis amikor a rendszerre gerjesztés nem hat. Ekkor

$$\mathbf{f} = \mathbf{0}$$

Amennyiben $\mathbf{C} = \mathbf{0}$, a rendszert *szabad, csillapítás nélkülinek* nevezzük, azaz

$$\mathbf{M}\ddot{\mathbf{q}} + \mathbf{K}\mathbf{q} = \mathbf{0}$$

ellenkező esetben *szabad csillapításos* rendszerről beszélünk

$$\mathbf{M}\ddot{\mathbf{q}} + \mathbf{C}\dot{\mathbf{q}} + \mathbf{K}\mathbf{q} = \mathbf{0}$$

Amennyiben a gerjesztés is hat, a rendszert *gerjesztett* rendszernek nevezzük.



Bevezetés

1. Fogalmak

2. Variációs elvek

3. Elemmodell

4. Egyváltozós feladat

5. Kompatibilis elemek

6. Kétváltozós feladatok

7. Lemezelemek

8. Modellezés

9. Rezgés

- Alapfogalmak
- Variációs elv
- **Végeselemes modell**
- Szabadrezgések
- Főkoordináták
- Rayleigh-hányados
- Jacobi-féle módszer
- Iterációs technikák
- Gerjesztett rezgések
- Megoldási módszerek
- Stabilitás

10. Intelligens szerk.

Regzések osztályozása

1. *Determinisztikus*. Az időben lejátszódó folyamatot egyértelmű függvénykapcsolat írja le.

- (a) Egyik nagy osztálya a harmónikusan változó terhelések esete. Pl.

$$\mathbf{f} = \mathbf{f}_A \sin \omega t$$

- (b) Másik esetben a terhelések tetszőlegesen változnak időben

$$\mathbf{f} = \mathbf{f}(t)$$

2. *Sztohasztikus* terhelések többek között gépjárműveknél, forgácsoló szerszámgépeknél, veszélyes zónában lévő épületek, létesítmények földrengéseinél fordulnak elő. A rendszer válaszadása is nyilván sztohasztikus jelleggel rendelkezik. Ezek vizsgálatával kurzusunk keretében nem fogunk foglalkozni.



Bevezetés

1. Fogalmak

2. Variációs elvek

3. Elemmodell

4. Egyváltozós feladat

5. Kompatibilis elemek

6. Kétfváltozós feladatok

7. Lemezelemek

8. Modellezés

9. Rezgés

- Alapfogalmak
- Variációs elv
- Végeselemes modell
- Szabadrezgések
- Főkoordináták
- Rayleigh-hányados
- Jacobi-féle módszer
- Iterációs technikák
- Gerjesztett rezgések
- Megoldási módszerek
- Stabilitás

10. Intelligens szerk.

Szabadrezgések

Tekintsük a következő diff. egyenletrendszer

$$\mathbf{M}\ddot{\mathbf{q}} + \mathbf{K}\mathbf{q} = \mathbf{0}.$$

A lineáris, homogén differenciálegyenletrendszer megoldását

$$\mathbf{q} = \tilde{\mathbf{q}} \sin \alpha t$$

alakban keressük. Ekkor a behelyettesítés után

$$(-\alpha^2 \mathbf{M} + \mathbf{K})\tilde{\mathbf{q}} = \mathbf{0}$$

homogén algebrai egyenletrendszerhez jutunk, aminek triviálistól eltérő megoldása az együttható mátrix determinánsának eltűnésekor áll fenn, azaz

$$\det(-\alpha^2 \mathbf{M} + \mathbf{K}) = p(\alpha^2) = 0.$$

A determinánst kifejtve $p(\alpha^2)$ karakterisztikus polinomhoz jutunk, λ^2 -nek n a legnagyobb hatványa, azaz a kapott polinom $2n$ -ed fokú.



Bevezetés

1. Fogalmak

2. Variációs elvek

3. Elemmodell

4. Egyváltozós feladat

5. Kompatibilis elemek

6. Kétváltozós feladatok

7. Lemezelemek

8. Modellezés

9. Rezgésstan

- Alapfogalmak
- Variációs elv
- Végeselemes modell
- Szabadrezgések
- Főkoordináták
- Rayleigh-hányados
- Jacobi-féle módszer
- Iterációs technikák
- Gerjesztett rezgések
- Megoldási módszerek
- Stabilitás

10. Intelligens szerk.

Szabadrezgések

A karakterisztikus egyenlet i -edik gyökét jelölje α_i , a hozzá tartozó sajátvektort φ^i

$$(\alpha_1, \varphi^1), (\alpha_2, \varphi^2), \dots, (\alpha_n, \varphi^n)$$

sajátértékpárok meghatározása jelenik meg.
Sajátérték problémánál a megoldást

$$\mathbf{q} = \varphi \sin \alpha t$$

alakban keressük. Sajátvektor a kitérés amplitúdó vektorának felel meg.
Így a

$$(\mathbf{K} - \alpha_i^2 \mathbf{M}) \varphi^i = \mathbf{0} \equiv \mathbf{D}(\alpha_i^2) \varphi^i = 0$$

homogén algebrai egyenletrendszerhez jutunk, aminek triviálistól különböző megoldása a α_i determináns eltűnéséből adódik.



Szabadrezgések

Bevezetés

1. Fogalmak

2. Variációs elvek

3. Elemmodell

4. Egyváltozós feladat

5. Kompatibilis elemek

6. Kétváltozós feladatok

7. Lemezelemek

8. Modellezés

9. Rezgésstan

- Alapfogalmak
- Variációs elv
- Végeselemes modell
- Szabadrezgések
- Főkoordináták
- Rayleigh-hányados
- Jacobi-féle módszer
- Iterációs technikák
- Gerjesztett rezgések
- Megoldási módszerek
- Stabilitás

10. Intelligens szerk.

Ortogonalitási tétel:

A sajátvektorok egymásra merőlegesek, amit az ún. ortogonalitási tétel fejez ki. A tétel kimondja, hogy az egymástól eltérő sajátfrekvenciákhoz tartozó sajátvektorok a tömegmátrixon belül egymásra merőlegesek.

Bizonyítás:

Induljunk ki az i -dik sajátértékre vonatkozó

$$(\mathbf{K} - \alpha_i^2 \mathbf{M})\varphi^i = \mathbf{0}$$

egyenletből. Ugyanezt α_j^2 -nél is felírva

$$(\mathbf{K} - \alpha_j^2 \mathbf{M})\varphi^j = \mathbf{0}$$

majd az egyenleteket φ^{jT} és φ^{iT} -vel külön, külön megszorozva

$$\begin{aligned}\varphi^{jT} \mathbf{K} \varphi^i &= \alpha_i^2 \varphi^{jT} \mathbf{M} \varphi^i, \\ \varphi^{iT} \mathbf{K} \varphi^j &= \alpha_j^2 \varphi^{iT} \mathbf{M} \varphi^j,\end{aligned}$$



Bevezetés

1. Fogalmak

2. Variációs elvek

3. Elemmodell

4. Egyváltozós feladat

5. Kompatibilis elemek

6. Kétfváltozós feladatok

7. Lemezelemek

8. Modellezés

9. Rezgésstan

- Alapfogalmak
- Variációs elv
- Végeselemes modell
- Szabadrezgések
- Főkoordináták
- Rayleigh-hányados
- Jacobi-féle módszer
- Iterációs technikák
- Gerjesztett rezgések
- Megoldási módszerek
- Stabilitás

10. Intelligens szerk.

Szabadrezgések

a $\mathbf{K} = \mathbf{K}^T$, $\mathbf{M} = \mathbf{M}^T$ szimmetria tulajdonságokat figyelembevéve, a két egyenlet különbségéből

$$0 = (\alpha_i^2 - \alpha_j^2) \varphi^{jT} \mathbf{M} \varphi^i$$

származik, amiből $\alpha^i \neq \alpha^j$ esetén $\varphi^{jT} \mathbf{M} \varphi^i = 0$ adódik, azaz

$$\varphi^{jT} \mathbf{M} \varphi^i = \begin{cases} 0 & \text{ha } i \neq j \\ 1 & \text{ha } i = j \end{cases} .$$

továbbá

$$\varphi^{jT} \mathbf{K} \varphi^i = \begin{cases} 0 & \text{ha } i \neq j \\ \alpha_i^2 & \text{ha } i = j \end{cases} .$$



Főkoordináták

Bevezetés

1. Fogalmak

2. Variációs elvek

3. Elemmodell

4. Egyváltozós feladat

5. Kompatibilis elemek

6. Kétváltozós feladatok

7. Lemezelemek

8. Modellezés

9. Rezgés

- Alapfogalmak
- Variációs elv
- Végeselemes modell
- Szabadrezgések
- Főkoordináták
- Rayleigh-hányados
- Jacobi-féle módszer
- Iterációs technikák
- Gerjesztett rezgések
- Megoldási módszerek
- Stabilitás

10. Intelligens szerk.

Az egyes sajátértékekhez tartozó egyenleteket egymásután sorban felírhatjuk

$$\begin{aligned} \mathbf{K}\varphi^1 &= \mathbf{M}\varphi^1\alpha_1^2, \\ \mathbf{K}\varphi^2 &= \mathbf{M}\varphi^2\alpha_2^2, \\ &\vdots \\ \mathbf{K}\varphi^n &= \mathbf{M}\varphi^n\alpha_n^2. \end{aligned}$$

Ezeket egy mátrixegyenletbe is bele tudjuk foglalni, nevezetesen

$$\mathbf{K} [\varphi^1, \varphi^2, \dots, \varphi^n] = \mathbf{M} [\varphi^1\alpha_1^2, \varphi^2\alpha_2^2, \dots, \varphi^n\alpha_n^2]$$

$$= \mathbf{M} [\varphi^1, \varphi^2, \dots, \varphi^n] \begin{bmatrix} \alpha_1^2 & & & \\ & \alpha_2^2 & & \\ & & \ddots & \\ & & & \alpha_n^2 \end{bmatrix},$$



Bevezetés

1. Fogalmak

2. Variációs elvek

3. Elemmodell

4. Egyváltozós feladat

5. Kompatibilis elemek

6. Kétfváltozós feladatok

7. Lemezelemek

8. Modellezés

9. Rezgésstan

- Alapfogalmak
- Variációs elv
- Végeselemes modell
- Szabadrezgések
- **Főkoordináták**
- Rayleigh-hányados
- Jacobi-féle módszer
- Iterációs technikák
- Gerjesztett rezgések
- Megoldási módszerek
- Stabilitás

10. Intelligens szerk.

Főkoordináták

Bevezetve a

$$\Phi = [\varphi^1, \varphi^2, \dots, \varphi^n] \quad \text{és} \quad \mathbf{S}^2 = \langle \alpha_1^2, \alpha_2^2, \dots, \alpha_n^2 \rangle$$

mátrixokat, írhatjuk

$$\mathbf{K}\Phi = \mathbf{M}\Phi\mathbf{S}^2$$

Az egyenletet Φ^T -vel megszorozva és felhasználva az ortogonalitást kapjuk, hogy

$$\Phi^T \mathbf{K}\Phi = \Phi^T \mathbf{M}\Phi \mathbf{S}^2 = \mathbf{E} \mathbf{S}^2 = \mathbf{S}^2$$

vagyis az átranzformált merevségi mátrix

$$\bar{\mathbf{K}} = \Phi^T \mathbf{K}\Phi$$

továbbá

$$\bar{\mathbf{M}} = \Phi^T \mathbf{M}\Phi = \mathbf{E}.$$



Bevezetés

1. Fogalmak

2. Variációs elvek

3. Elemmodell

4. Egyváltozós feladat

5. Kompatibilis elemek

6. Kétfváltozós feladatok

7. Lemezelemek

8. Modellezés

9. Rezgésstan

- Alapfogalmak
- Variációs elv
- Végeselemes modell
- Szabadrezgések
- **Főkoordináták**
- Rayleigh-hányados
- Jacobi-féle módszer
- Iterációs technikák
- Gerjesztett rezgések
- Megoldási módszerek
- Stabilitás

10. Intelligens szerk.

Főkoordináták

Képezzük az eredeti elmozdulást a sajátrezgések sorbafejtésével

$$\mathbf{q} = \sum \varphi^i w_i = \Phi \mathbf{w}$$

ahol $\mathbf{w}^T = [w_1, \dots, w_i, \dots, w_n]$ - vektor elemeit az elmozdulás *fő koordinátáinak* nevezzük, míg a vektort a fő koordináták vektorának.

$$\mathbf{M}\ddot{\mathbf{q}} + \mathbf{K}\mathbf{q} = \mathbf{0}$$

$$\mathbf{M}\Phi\ddot{\mathbf{w}} + \mathbf{K}\Phi\mathbf{w} = \mathbf{0}, \quad \Phi^T \mathbf{M}\Phi\ddot{\mathbf{w}} + \Phi^T \mathbf{K}\Phi\mathbf{w} = \mathbf{0}$$

$$\ddot{\mathbf{w}} + \mathbf{S}^2 \mathbf{w} = \mathbf{0}$$

differentiálegyenletre vezet, amely n darab egymástól független egyenletnek felel meg az \mathbf{S}^2 diagonális mátrix miatt. Vagyis sikerült, a sajátrezgések és sajátvektorok birtokában a rendszer szabad rezgésének tanulmányozását visszavezetni n db egyszabadságfokú rendszer elemzésére. Az eredeti kapcsolt differenciálegyenletrendszer széteső rendszerré alakult át.



Bevezetés

1. Fogalmak

2. Variációs elvek

3. Elemmodell

4. Egyváltozós feladat

5. Kompatibilis elemek

6. Kétfváltozós feladatok

7. Lemezelemek

8. Modellezés

9. Rezgésstan

- Alapfogalmak
- Variációs elv
- Végeselemes modell
- Szabadrezgések
- **Főkoordináták**
- Rayleigh-hányados
- Jacobi-féle módszer
- Iterációs technikák
- Gerjesztett rezgések
- Megoldási módszerek
- Stabilitás

10. Intelligens szerk.

Főkoordináták

Az i -dik egyenletének megoldása

$$w_i = A_i \cos \alpha_i t + B_i \sin \alpha_i t, \quad i = 1, \dots, n$$

amiben szereplő A_i, B_i állandókat a *kezdeti feltételekből* tudjuk meghatározni.

A vizsgálat kezdetén az időt zérusnak tekintjük. A kezdeti feltételek a kitérésre és a sebességre vonatkoznak.

Így $t = 0$ -nál

$$w_i(t = 0) = w_{0i}, \quad \dot{w}_i(t = 0) = \dot{w}_{0i}$$

A megoldást a behelyettesítve a kérdéses állandók

$$A_i = w_{0i}, \quad B_i = \frac{\dot{w}_{0i}}{\alpha_i}.$$



Bevezetés

1. Fogalmak

2. Variációs elvek

3. Elemmodell

4. Egyváltozós feladat

5. Kompatibilis elemek

6. Kétfváltozós feladatok

7. Lemezelemek

8. Modellezés

9. Rezgés

- Alapfogalmak
- Variációs elv
- Végeselemes modell
- Szabadrezgések
- Főkoordináták
- Rayleigh-hányados
- Jacobi-féle módszer
- Iterációs technikák
- Gerjesztett rezgések
- Megoldási módszerek
- Stabilitás

10. Intelligens szerk.

Főkoordináták

Mivel a fő koordinátákkezdő értékei nem ismertek, először azokat a \mathbf{q}_0 és $\dot{\mathbf{q}}_0$ vektorokból kell kiszámolni. Ez nagyon egyszerűen mehet végbe, hisz

$$\mathbf{q} = \Phi \mathbf{w},$$

$$\mathbf{M}\mathbf{q} = \mathbf{M}\Phi \mathbf{w},$$

$$\Phi^T \mathbf{M}\mathbf{q} = \Phi^T \mathbf{M}\Phi \mathbf{w} = \mathbf{w},$$

ily módon

$$\mathbf{w}_0 = \Phi^T \mathbf{M}\mathbf{q}_0, \quad \dot{\mathbf{w}}_0 = \Phi^T \mathbf{M}\dot{\mathbf{q}}_0,$$

vagyis Φ^{-1} inverz mátrixot két mátrix szorzataként tudjuk előállítani

$$\Phi^{-1} = \Phi^T \mathbf{M}$$

A $\mathbf{q} = \Phi \mathbf{w}$ transzformáció révén az eredeti koordinátákra vonatkozó megoldást is megkapjuk.



Bevezetés

1. Fogalmak

2. Variációs elvek

3. Elemmodell

4. Egyváltozós feladat

5. Kompatibilis elemek

6. Kétváltozós feladatok

7. Lemezelemek

8. Modellezés

9. Rezgés

- Alapfogalmak
- Variációs elv
- Végeselemes modell
- Szabadrezgések
- **Főkoordináták**
- Rayleigh-hányados
- Jacobi-féle módszer
- Iterációs technikák
- Gerjesztett rezgések
- Megoldási módszerek
- Stabilitás

10. Intelligens szerk.

Sajátrezgések meghatározása

A feladat a

$$\mathbf{M}\ddot{\mathbf{q}} + \mathbf{K}\mathbf{q} = \mathbf{0}$$

differenciálegyenlethez tartozó

$$(\mathbf{K} - \alpha^2\mathbf{M})\mathbf{q} = \mathbf{0}$$

általánosított sajátérték probléma megadása.

Mátrixalgebrai ismereteinkből következik, hogy a homogén algebrai egyenletrendszernek triviálistól eltérő megoldása csak akkor áll fenn, ha az együttható mátrix determinánsa zérus, azaz

$$p(\alpha^2) = \det(\mathbf{K} - \alpha^2\mathbf{M}) = \det \mathbf{D}(\alpha^2) = 0$$

A kapott $p(\alpha^2) = 0$ polinom tényleges felírása, nagyméretű rendszereknél lehetetlen. Sokkal gyorsabb és járhatóbb út, bár csak kisméretű feladatoknál szokásos, hogy polinom gyökhelyeit keressük meg, iterációval, α konkrét értékeinek a felvételével.



Rayleigh-hányados

Bevezetés

1. Fogalmak

2. Variációs elvek

3. Elemmodell

4. Egyváltozós feladat

5. Kompatibilis elemek

6. Kétfváltozós feladatok

7. Lemezelemek

8. Modellezés

9. Rezgés

- Alapfogalmak
- Variációs elv
- Végeselemes modell
- Szabadrezgések
- Főkoordináták
- **Rayleigh-hányados**
- Jacobi-féle módszer
- Iterációs technikák
- Gerjesztett rezgések
- Megoldási módszerek
- Stabilitás

10. Intelligens szerk.

A következő kifejezést *Rayleigh-féle* hányadosnak szokás nevezni.

$$R(\varphi^i) = \alpha_i^2 = \frac{\varphi^{iT} \mathbf{K} \varphi^i}{\varphi^{iT} \mathbf{M} \varphi^i}$$

- nem negatív

$$\frac{1}{2} \mathbf{q}^T \cdot \mathbf{K} \cdot \mathbf{q} = U \geq 0 \quad \Rightarrow \quad \mathbf{K} \text{ pozitív szemidefinit}$$

$$\frac{1}{2} \dot{\mathbf{q}}^T \cdot \mathbf{M} \cdot \dot{\mathbf{q}} = E > 0 \quad \Rightarrow \quad \mathbf{M} \text{ pozitív definit}$$

- \mathbf{q} hosszától független
- csak az iránytól függ
- korlátos (van alsó és felső korlátja is)
- \mathbf{q} szerint deriválható



Bevezetés

1. Fogalmak

2. Variációs elvek

3. Elemmodell

4. Egyváltozós feladat

5. Kompatibilis elemek

6. Kétfváltozós feladatok

7. Lemezelemek

8. Modellezés

9. Rezgésstan

- Alapfogalmak
- Variációs elv
- Végeselemes modell
- Szabadrezgések
- Főkoordináták
- **Rayleigh-hányados**
- Jacobi-féle módszer
- Iterációs technikák
- Gerjesztett rezgések
- Megoldási módszerek
- Stabilitás

10. Intelligens szerk.

Rayleigh-féle hányadosra alapozott iteráció

Kiindulva a

$$R(\mathbf{q}) = \frac{\mathbf{q}^{iT} \mathbf{K} \mathbf{q}^i}{\mathbf{q}^{iT} \mathbf{M} \mathbf{q}^i}$$

hányadosból, a $(\mathbf{K} - \alpha^2 \mathbf{M})\mathbf{q} = \mathbf{0}$ elmozdulásvektort a fő koordináták rendszerébe áttanszformálva $((\mathbf{K} - \alpha^2 \mathbf{M})\mathbf{q} = \mathbf{0})$, a hányados

$$R(\mathbf{w}) = \frac{\sum_i w_i^2 \alpha_i^2}{\sum_i w_i^2} = \alpha_1^2 \frac{w_1^2 + \left(\frac{\alpha_2}{\alpha_1}\right)^2 w_2^2 + \dots + \left(\frac{\alpha_n}{\alpha_1}\right)^2 w_n^2}{w_1^2 + w_2^2 + \dots} = \alpha_1^2 Q_1.$$

Mivel $\alpha_1^2 \leq \alpha_2^2 \leq \dots \leq \alpha_n^2$ úgy a számláló nagyobb mint a nevező, vagyis $Q_1 > 1$, azaz $R(\alpha^2) > \alpha_1^2$. Amennyiben $w_2 = w_3 = \dots = w_n$, úgy $R(\alpha^2) = \alpha_1^2$, vagyis

$$\alpha_1^2 \leq R(\mathbf{w}).$$



Bevezetés

1. Fogalmak

2. Variációs elvek

3. Elemmodell

4. Egyváltozós feladat

5. Kompatibilis elemek

6. Kétváltozós feladatok

7. Lemezelemek

8. Modellezés

9. Rezgés

- Alapfogalmak
- Variációs elv
- Végeselemes modell
- Szabadrezgések
- Főkoordináták
- **Rayleigh-hányados**
- Jacobi-féle módszer
- Iterációs technikák
- Gerjesztett rezgések
- Megoldási módszerek
- Stabilitás

10. Intelligens szerk.

Rayleigh-féle hányadosra alapozott iteráció

Másrészt

$$R(\mathbf{w}) = \frac{\sum_i w_i^2 \alpha_i^2}{\sum_i w_i^2} = \alpha_n^2 \frac{w_n^2 + \left(\frac{\alpha_{n-1}}{\alpha_n}\right)^2 w_{n-1}^2 + \dots + \left(\frac{\alpha_1}{\alpha_n}\right)^2 w_1^2}{w_1^2 + w_2^2 + \dots} = \alpha_n^2 Q_n$$

ahonnan $Q_n < 1$ következik, ami végezetül

$$\alpha_1^2 \leq R(\mathbf{w}) \leq \alpha_n^2$$

egyenlőtlenséget jelöli ki. Ily módon a *Rayleigh-féle* hányados a legkisebb és a legnagyobb sajátkörfrekvenciák négyzetei közötti értéket veszi fel.

Ha a \mathbf{q} vektor ortonormált a $j = 1, 2, \dots, r - 1$ sajátvektorra, azaz

$$\mathbf{q}^T \mathbf{M} \boldsymbol{\varphi}^j = \sum_{i=1}^n w_i \boldsymbol{\varphi}^{iT} \mathbf{M} \boldsymbol{\varphi}^j = 0, \quad j = 1, \dots, r - 1,$$

akkor

$$w_i = 0, \quad i = 1, \dots, r - 1.$$



Bevezetés

1. Fogalmak

2. Variációs elvek

3. Elemmodell

4. Egyváltozós feladat

5. Kompatibilis elemek

6. Kétfváltozós feladatok

7. Lemezelemek

8. Modellezés

9. Rezgésstan

- Alapfogalmak
- Variációs elv
- Végeselemes modell
- Szabadrezgések
- Főkoordináták
- **Rayleigh-hányados**
- Jacobi-féle módszer
- Iterációs technikák
- Gerjesztett rezgések
- Megoldási módszerek
- Stabilitás

10. Intelligens szerk.

Rayleigh-féle hányadosra alapozott iteráció

Ebben az esetben a hányados értéke $\alpha_r^2 \leq R(\mathbf{w}) \leq \alpha_n^2$ intervallumban fog változni.

A fenti feltételt kielégítő \mathbf{q} vektort az ún. *Gramm-Smidt-féle ortogonizálással* tudjuk előállítani.

A tetszőlegesen felvett \mathbf{y} vektorból számított

$$\mathbf{q} = \mathbf{y} - \sum_{j=1}^{r-1} (\varphi^{jT} \mathbf{M} \mathbf{y}) \varphi^j$$



Bevezetés

1. Fogalmak

2. Variációs elvek

3. Elemmodell

4. Egyváltozós feladat

5. Kompatibilis elemek

6. Kétfváltozós feladatok

7. Lemezelemek

8. Modellezés

9. Rezgésstan

- Alapfogalmak
- Variációs elv
- Végeselemes modell
- Szabadrezgések
- Főkoordináták
- Rayleigh-hányados
- **Jacobi-féle módszer**
- Iterációs technikák
- Gerjesztett rezgések
- Megoldási módszerek
- Stabilitás

10. Intelligens szerk.

Jacobi-féle módszer

A

$$\mathbf{K}\mathbf{q} = \alpha^2 \mathbf{M}\mathbf{q}$$

általánosított sajátérték problémából

$$\mathbf{A}\mathbf{q} = \alpha^2 \mathbf{q}, \quad \text{vagy} \quad \tilde{\mathbf{A}}\mathbf{q} = \lambda \mathbf{q}$$

sajátértékproblémák állíthatók elő. Itt \mathbf{A} és $\tilde{\mathbf{A}}$ szimmetrikusak.

Az

$$\mathbf{A}\varphi^i = \alpha_i^2 \varphi^i$$

sajátértékproblémát megoldva $i = 1, \dots, n$ esetre, tömören

$$\mathbf{A} [\varphi^1, \varphi^2, \dots, \varphi^n] = [\varphi^1, \varphi^2, \dots, \varphi^n] \langle \alpha_1^2, \alpha_2^2, \dots, \alpha_n^2 \rangle$$

$$\mathbf{A}\Phi = \Phi\mathbf{S}^2$$

egyenlet írható fel.



Bevezetés

1. Fogalmak

2. Variációs elvek

3. Elemmodell

4. Egyváltozós feladat

5. Kompatibilis elemek

6. Kétváltozós feladatok

7. Lemezelemek

8. Modellézés

9. Rezgés

- Alapfogalmak
- Variációs elv
- Végeselemes modell
- Szabadrezgések
- Főkoordináták
- Rayleigh-hányados
- **Jacobi-féle módszer**
- Iterációs technikák
- Gerjesztett rezgések
- Megoldási módszerek
- Stabilitás

10. Intelligens szerk.

Jacobi-féle módszer

A sajátvektorok ortonormált tulajdonságaiból következően

$$\Phi^T \Phi = \mathbf{E},$$

továbbá

$$\Phi^T \mathbf{A} \Phi = \mathbf{S}^2.$$

Tehát, ha az \mathbf{A} mátrixot oly módon tudjuk átalakítani, hogy csak a főátlójában legyenek elemek, akkor ezek a számok a sajátvektorok négyzeteinek fognak megfelelni, míg az átalakításnál (\mathbf{A} mátrix jobbról, balról történő szorzásánál használt mátrixok szorzata a Φ^T és Φ mátrixokat fogják kijelölni. Vagyis olyan szorzásokat kell választani, amivel az \mathbf{A} mátrix átalakításával előálló mátrix főátlón kívüli elemei zérusok legyenek.



Bevezetés

1. Fogalmak

2. Variációs elvek

3. Elemmodell

4. Egyváltozós feladat

5. Kompatibilis elemek

6. Kétváltozós feladatok

7. Lemezelemek

8. Modellezés

9. Rezgés

- Alapfogalmak
- Variációs elv
- Végeselemes modell
- Szabadrezgések
- Főkoordináták
- Rayleigh-hányados
- Jacobi-féle módszer
- **Iterációs technikák**
- Gerjesztett rezgések
- Megoldási módszerek
- Stabilitás

10. Intelligens szerk.

Vektoriteráció, Alsó (inverz) iteráció

Induljunk ki egy \mathbf{q}_1 vektorból. Oldjuk meg a

$$\mathbf{K}\mathbf{q}_2 = \mathbf{M}\mathbf{q}_1$$

egyenletet. A \mathbf{q}_1 elmozdulást sajátvektorok sorbafejtésével felírva

$$\mathbf{q}_1 = \sum_{i=1}^n c_i \boldsymbol{\varphi}^i, \quad \alpha_i^2 \mathbf{M} \boldsymbol{\varphi}^i = \mathbf{K} \boldsymbol{\varphi}^i, \quad \mathbf{M} \sum_{i=1}^n c_i^i \boldsymbol{\varphi}^i = \mathbf{K} \sum_{i=1}^n \frac{1}{\alpha_i^2} c_i^i \boldsymbol{\varphi}^i$$

eredményre jutunk, vagyis

$$\mathbf{q}_2 = \sum_{i=1}^n \frac{1}{\alpha_i^2} c_i \boldsymbol{\varphi}^i .$$



Vektoriteráció, Alsó (inverz) iteráció

Bevezetés

1. Fogalmak

2. Variációs elvek

3. Elemmodell

4. Egyváltozós feladat

5. Kompatibilis elemek

6. Kétfváltozós feladatok

7. Lemezelemek

8. Modellezés

9. Rezgés

- Alapfogalmak
- Variációs elv
- Végeselemes modell
- Szabadrezgések
- Főkoordináták
- Rayleigh-hányados
- Jacobi-féle módszer
- **Iterációs technikák**
- Gerjesztett rezgések
- Megoldási módszerek
- Stabilitás

10. Intelligens szerk.

Az iteráció folytatásával $\mathbf{K}\mathbf{q}_3 = \mathbf{M}\mathbf{q}_2$, $\mathbf{K}\mathbf{q}_4 = \mathbf{M}\mathbf{q}_3$, ...

$$\mathbf{q}_{k+1} = \sum_{i=1}^n c_i \boldsymbol{\varphi}^i \frac{1}{(\alpha_i^2)^k} = \frac{1}{(\alpha_1^2)^k} \left(c_1 \boldsymbol{\varphi}^1 + c_2 \boldsymbol{\varphi}^2 \left(\frac{\alpha_1^2}{\alpha_2^2} \right)^k + \dots \right).$$

A lépéseket megismételve az egymást követő \mathbf{q}_k vektorok elemeinek tagonkénti hányadosa, ill. a *Rayleigh-féle* hányados

$$\lim_{k \rightarrow \infty} R(\mathbf{q}_{k+1}) = \frac{(\mathbf{q}_{k+1})_{s=1, \dots, n}}{(\mathbf{q}_k)_{s=1, \dots, n}} = \alpha_1^2$$

míg maga a vektor

$$\lim_{k \rightarrow \infty} \mathbf{q}_{k+1} \rightarrow \boldsymbol{\varphi}^1$$

az első saját vektort szolgáltatja. Konkrét megvalósításnál speciális iterációt szokás alkalmazni.



Bevezetés

1. Fogalmak

2. Variációs elvek

3. Elemmodell

4. Egyváltozós feladat

5. Kompatibilis elemek

6. Kétváltozós feladatok

7. Lemezelemek

8. Modellezés

9. Rezgés

- Alapfogalmak
- Variációs elv
- Véges elemes modell
- Szabadrezgések
- Főkoordináták
- Rayleigh-hányados
- Jacobi-féle módszer
- **Iterációs technikák**
- Gerjesztett rezgések
- Megoldási módszerek
- Stabilitás

10. Intelligens szerk.

Vektoriteráció, Felső iteráció

Most induljunk ki egy \mathbf{q}_1 vektorból. Oldjuk meg az

$$\mathbf{M}\mathbf{q}_2 = \mathbf{K}\mathbf{q}_1$$

egyenletet. A \mathbf{q}_1 elmozdulást sajátvektorok sorbafejtésével felírva

$$\alpha_i^2 \mathbf{M}\varphi^i = \mathbf{K}\varphi^i, \quad \mathbf{M} \sum_{i=1}^n c_i \varphi^i \alpha_i^2 = \mathbf{K} \sum_{i=1}^n c_i \varphi^i$$

eredményre jutunk, vagyis

$$\mathbf{q}_2 = \sum_{i=1}^n c_i \varphi^i \alpha_i^2.$$



Bevezetés

1. Fogalmak

2. Variációs elvek

3. Elemmodell

4. Egyváltozós feladat

5. Kompatibilis elemek

6. Kétváltozós feladatok

7. Lemezelemek

8. Modellezés

9. Rezgésstan

- Alapfogalmak
- Variációs elv
- Végeselemes modell
- Szabadrezgések
- Főkoordináták
- Rayleigh-hányados
- Jacobi-féle módszer
- **Iterációs technikák**
- Gerjesztett rezgések
- Megoldási módszerek
- Stabilitás

10. Intelligens szerk.

Vektoriteráció, Felső iteráció

Az iteráció folytatásával $\mathbf{M}\mathbf{q}_3 = \mathbf{K}\mathbf{q}_2$, $\mathbf{M}\mathbf{q}_4 = \mathbf{K}\mathbf{q}_3$,

$$\mathbf{q}_{k+1} = \sum_{i=1}^n c_i \varphi^i (\alpha_i^2)^k = (\alpha_n^2)^k \left(c_n \varphi^n + c_{n-1} \varphi^{n-1} \left(\frac{\alpha_{n-1}^2}{\alpha_n^2} \right)^k + \dots \right).$$

A lépéseket megismételve

$$\lim_{k \rightarrow \infty} R(\mathbf{q}_{k+1}) = \alpha_n^2, \quad \lim_{k \rightarrow \infty} \mathbf{q}_{k+1} \rightarrow \varphi^n$$

Ezt az iterációt *felső* iterációnak szokás nevezni, mivel a felső frekvenciák meghatározására alkalmas.



Bevezetés

1. Fogalmak

2. Variációs elvek

3. Elemmodell

4. Egyváltozós feladat

5. Kompatibilis elemek

6. Kétváltozós feladatok

7. Lemezelemek

8. Modellézés

9. Rezgésstan

- Alapfogalmak
- Variációs elv
- Végeselemes modell
- Szabadrezgések
- Főkoordináták
- Rayleigh-hányados
- Jacobi-féle módszer
- Iterációs technikák
- **Gerjesztett rezgések**
- Megoldási módszerek
- Stabilitás

10. Intelligens szerk.

Gerjesztett rezgések

gépek, berendezések működésük során időben változó terheléssel terheltek. Ezek egy része külső erőhatásból (pl. futódarú terhet emel) származhat, technológiai folyamatból (pl. esztergálásnál keletkező forgácsoló erő), a környezetről átadódó mozgásokból (pl. gépek talajjal érintkező részei, a más gépekről a talajra átadódó erőhatások miatt mozognak) vagy akár a működés közbeni belső geometriai kapcsolatok, hőmérsékleti mezők változásaiból.

Tömören, csak a szabad paraméterek vonatkozásában felírható mozgásegyenlet

$$\mathbf{M}\ddot{\mathbf{q}} + \mathbf{K}\mathbf{q} = \mathbf{f}(t)$$



Bevezetés

1. Fogalmak

2. Variációs elvek

3. Elemmodell

4. Egyváltozós feladat

5. Kompatibilis elemek

6. Kétfváltozós feladatok

7. Lemezelemek

8. Modellezés

9. Rezgés

- Alapfogalmak
- Variációs elv
- Végeselemes modell
- Szabadrezgések
- Főkoordináták
- Rayleigh-hányados
- Jacobi-féle módszer
- Iterációs technikák
- Gerjesztett rezgések
- Megoldási módszerek
- Stabilitás

10. Intelligens szerk.

Harmónikusan gerjesztett rendszer (csillapítás nélkül)

Vizsgálatainkat a harmonikus gerjesztés esetével kezdjük, ekkor

$$\mathbf{f} = \mathbf{f}_A \sin(\omega t + \psi)$$

terhelést feltételezve, ahol \mathbf{f}_A a terhelés amplitudója, a megoldás

$$\mathbf{q} = \mathbf{q}_A \sin(\omega t + \psi).$$

A deriválások elvégzése után

$$(\mathbf{K} - \omega^2 \mathbf{M}) \mathbf{q}_A = \mathbf{f}_A$$

algebrai egyenlethez jutunk, amiből a

$$\mathbf{Z}(\omega^2) = \mathbf{K} - \omega^2 \mathbf{M}$$

dinamikai merevségi mátrix.



Bevezetés

1. Fogalmak

2. Variációs elvek

3. Elemmodell

4. Egyváltozós feladat

5. Kompatibilis elemek

6. Kétfváltozós feladatok

7. Lemezelemek

8. Modellezés

9. Rezgés

- Alapfogalmak
- Variációs elv
- Végeselemes modell
- Szabadrezgések
- Főkoordináták
- Rayleigh-hányados
- Jacobi-féle módszer
- Iterációs technikák
- Gerjesztett rezgések
- Megoldási módszerek
- Stabilitás

10. Intelligens szerk.

Harmónikusan gerjesztett rendszer

Feltéve, hogy

$$\omega^2 \neq \alpha_i^2 \quad (i = 1, \dots, n) \quad \text{és} \quad \det \mathbf{Z}(\omega^2) \neq 0$$

$$\mathbf{q}_A = (\mathbf{Z}(\omega))^{-1} \mathbf{f}_A \equiv \mathbf{H}(\omega) \mathbf{f}_A,$$

ahol $\mathbf{H}(\omega)$ dinamikai hatásmátrix.

A fő koordináták révén áll a

$$\mathbf{q} = \Phi \mathbf{w}$$

transzformáció. Az amplitudók vonatkozásában

$$\mathbf{q}_A = \Phi \mathbf{w}_A$$

összefüggés van érvényben, mellyel

$$\left(\Phi^T \mathbf{K} \Phi - \omega^2 \Phi^T \mathbf{M} \Phi \right) \mathbf{w}_A = \Phi^T \mathbf{f}_A .$$



Bevezetés

1. Fogalmak

2. Variációs elvek

3. Elemmodell

4. Egyváltozós feladat

5. Kompatibilis elemek

6. Kétfváltozós feladatok

7. Lemezelemek

8. Modellezés

9. Rezgés

- Alapfogalmak
- Variációs elv
- Végeselemes modell
- Szabadrezgések
- Főkoordináták
- Rayleigh-hányados
- Jacobi-féle módszer
- Iterációs technikák
- Gerjesztett rezgések
- Megoldási módszerek
- Stabilitás

10. Intelligens szerk.

Harmónikusan gerjesztett rendszer

A sajátvektorok tömeg- és merevségi mátrixra vonatkozó ortogonalitás alapján

$$(\mathbf{S}^2 - \omega^2 \mathbf{E}) \mathbf{w}_A = \mathbf{\Phi}^T \mathbf{f}_A \quad .$$

A kapott diagonál mátrixot $\mathbf{\Lambda}$ -val jelölve

$$\mathbf{\Lambda} = \langle \alpha_1^2 - \omega^2, \alpha_2^2 - \omega^2, \dots, \alpha_n^2 - \omega^2 \rangle$$

annak inverze

$$\mathbf{\Lambda}^{-1} = \left\langle \frac{1}{\alpha_1^2 - \omega^2}, \frac{1}{\alpha_2^2 - \omega^2}, \dots, \frac{1}{\alpha_n^2 - \omega^2} \right\rangle$$

vagyis

$$\mathbf{w}_A = \mathbf{\Lambda}^{-1} \mathbf{\Phi}^T \mathbf{f}_A$$

amiből a kitérés amplitudó vektora

$$\mathbf{q}_A = \mathbf{\Phi} \mathbf{\Lambda}^{-1} \mathbf{\Phi}^T \mathbf{f}_A$$



Harmónikusan gerjesztett rendszer – Rezonancia

Bevezetés

1. Fogalmak

2. Variációs elvek

3. Elemmodell

4. Egyváltozós feladat

5. Kompatibilis elemek

6. Kétfváltozós feladatok

7. Lemezelemek

8. Modellezés

9. Rezgés

- Alapfogalmak
- Variációs elv
- Véges elemes modell
- Szabadrezgések
- Főkoordináták
- Rayleigh-hányados
- Jacobi-féle módszer
- Iterációs technikák
- Gerjesztett rezgések
- Megoldási módszerek
- Stabilitás

10. Intelligens szerk.

A kapott eredmény a dinamikai merevségi mátrix inverze, a dinamikai hatásmátrix

$$\mathbf{H}(\omega) = (\mathbf{Z}(\omega))^{-1} = \mathbf{\Phi} \mathbf{\Lambda}^{-1} \mathbf{\Phi}^T =$$
$$= [\varphi^1, \varphi^2, \dots, \varphi^n] \left\langle \frac{1}{\alpha_1^2 - \omega^2}, \frac{1}{\alpha_2^2 - \omega^2}, \dots, \frac{1}{\alpha_n^2 - \omega^2} \right\rangle \begin{bmatrix} \varphi^{1T} \\ \varphi^{2T} \\ \vdots \\ \varphi^{nT} \end{bmatrix} = \sum_{i=1}^n \frac{\varphi^i \varphi^{iT}}{\alpha_i^2 - \omega^2}$$

Ennek visszahelyettesítése után

$$\mathbf{q}_A = \sum_{i=1}^n \varphi^i \frac{\varphi^{iT} \mathbf{f}_A}{\alpha_i^2 - \omega^2} \equiv \sum_{i=1}^n \varphi^i g_i \quad .$$

A kapott eredmény jól mutatja, ha $\omega = \alpha_i$ ($i = 1, \dots, n$) rezonancia fog fellépni, ami idővel végtelen nagy kitéréshez, a szerkezet tönkremeneteléhez vezet.



Bevezetés

1. Fogalmak

2. Variációs elvek

3. Elemmodell

4. Egyváltozós feladat

5. Kompatibilis elemek

6. Kétfváltozós feladatok

7. Lemezelemek

8. Modellezés

9. Rezgés

- Alapfogalmak
- Variációs elv
- Végeselemes modell
- Szabadrezgések
- Főkoordináták
- Rayleigh-hányados
- Jacobi-féle módszer
- Iterációs technikák
- Gerjesztett rezgések
- Megoldási módszerek
- Stabilitás

10. Intelligens szerk.

Nem harmónikus gerjesztés vizsgálata

Kiindulva a csillapítatlan rendszer mozgásegyenletéből

$$\mathbf{M}\ddot{\mathbf{q}} + \mathbf{K}\mathbf{q} = \mathbf{f},$$

A sorbafejtés segítségével

$$\mathbf{q} = \Phi \mathbf{w}$$

Ekkor a szokásos átalakítással

$$\mathbf{M}\Phi\ddot{\mathbf{w}} + \mathbf{K}\Phi\mathbf{w} = \mathbf{f},$$

$$\Phi^T \mathbf{M}\Phi\ddot{\mathbf{w}} + \Phi^T \mathbf{K}\Phi\mathbf{w} = \Phi^T \mathbf{f} \equiv \bar{\mathbf{f}}$$

$$\ddot{\mathbf{w}} + \mathbf{S}^2 \mathbf{w} = \bar{\mathbf{f}},$$

ami valójában

$$\ddot{w}_i + \alpha_i^2 w_i = \bar{f}_i \quad i = 1, \dots, n$$

Nem harmónikus gerjesztés vizsgálata

Tehát az egyszabadságfokú rendszer megoldása alapján

$$w_i = w_{0i} \cos \alpha_i t + \frac{\dot{w}_{0i}}{\alpha_i} \sin \alpha_i t + \frac{1}{\alpha_i} \int_0^t \bar{f}_i(\tau) \sin \alpha_i(t - \tau) d\tau \quad i = 1, \dots, n$$

A kezdeti \mathbf{w}_0 és $\dot{\mathbf{w}}_0$ főkoordináta vektor értékeket az eredeti rendszer mozgásának leírására szolgáló \mathbf{q} vektorra vonatkozó feltételből kell meghatározni.

$$\sin \mathbf{S}t = \langle \sin \alpha_1 t, \sin \alpha_2 t, \dots, \sin \alpha_i t, \dots, \sin \alpha_n t \rangle$$

diagonál mátrixot ($\sin \leftrightarrow \cos$), a kezdeti feltételek fő koordinátákra vonatkozó

$$\mathbf{w}(0) = \mathbf{w}_0, \quad \dot{\mathbf{w}}(0) = \dot{\mathbf{w}}_0$$

vektorait, tömörebben

$$\mathbf{w} = \cos \mathbf{S}t \mathbf{w}_0 + \mathbf{S}^{-1} \sin \mathbf{S}t \dot{\mathbf{w}}_0 + \int_0^t \mathbf{S}^{-1} \sin \mathbf{S}(t - \tau) \bar{\mathbf{f}}(\tau) d\tau$$

alakban írható fel.



Bevezetés

1. Fogalmak

2. Variációs elvek

3. Elemmodell

4. Egyváltozós feladat

5. Kompatibilis elemek

6. Kétfváltozós feladatok

7. Lemezelemek

8. Modellézés

9. Rezgésstan

- Alapfogalmak
- Variációs elv
- Végeselemes modell
- Szabadrezgések
- Főkoordináták
- Rayleigh-hányados
- Jacobi-féle módszer
- Iterációs technikák
- **Gerjesztett rezgések**
- Megoldási módszerek
- Stabilitás

10. Intelligens szerk.

Nem harmónikus gerjesztés vizsgálata

Ennek ismeretében az eredeti elmozdulási paraméterek

$$\mathbf{q} = \Phi \mathbf{w}, \quad \mathbf{M}\mathbf{q} = \mathbf{M}\Phi \mathbf{w}, \quad \Phi^T \mathbf{M}\mathbf{q} = \Phi^T \mathbf{M}\Phi \mathbf{w} = \mathbf{w},$$

$$\mathbf{w}_0 = \Phi^T \mathbf{M}\mathbf{q}_0, \quad \dot{\mathbf{w}}_0 = \Phi^T \mathbf{M}\dot{\mathbf{q}}_0, \quad \text{azaz} \quad \Phi^{-1} = \Phi^T \mathbf{M}.$$

De a gyakorlati megfigyelések alapján az n tagú sorbafejtés helyett elegendő – a terhelés időbeli lefutásától függően – a sorbafejtés néhány első tagját venni csak mivel a sorbafejtés magasabb sorszámú tagjainak a hatása egyre kisebb.

Ezt figyelembevéve az alkalmazott transzformáció

$$\underset{(n,1)}{\mathbf{q}} = \underset{(n,k)}{\tilde{\Phi}} \underset{(k,1)}{\tilde{\mathbf{w}}}, \quad 0 < k < n$$

A mozgásegyenletet ismételten át tudjuk transzformálni az új $\tilde{\mathbf{w}}$ korlátozott számú főkoordináták rendszerébe.

Lényeges előnye ennek megoldásnak az, hogy a $\tilde{\Phi}$ mátrix (n, k) mérete miatt, csak k számú sajátértékproblémát kell előzetesen megoldani, és nem n számút.



Bevezetés

1. Fogalmak

2. Variációs elvek

3. Elemmodell

4. Egyváltozós feladat

5. Kompatibilis elemek

6. Kétfváltozós feladatok

7. Lemezelemek

8. Modellezés

9. Rezgésstan

- Alapfogalmak
- Variációs elv
- Végeselemes modell
- Szabadrezgések
- Főkoordináták
- Rayleigh-hányados
- Jacobi-féle módszer
- Iterációs technikák
- Gerjesztett rezgések
- Megoldási módszerek
- Stabilitás

10. Intelligens szerk.

Csillapított rendszerek esete

A vizsgálandó rendszer

$$\mathbf{M}\ddot{\mathbf{q}} + \mathbf{C}\dot{\mathbf{q}} + \mathbf{K}\mathbf{q} = \mathbf{f},$$

ahol a csillapítások hatását hordozó \mathbf{C} mátrix a tömeg és a merevségi mátrixszal arányos

$$\mathbf{C} = c_M \mathbf{M} + c_K \mathbf{K}$$

Áttérve a

$$\mathbf{q} = \Phi \mathbf{w}$$

főkoordináták rendszerébe, kapjuk, hogy

$$(\Phi^T \mathbf{C} \Phi = c_M \mathbf{E} + c_K \mathbf{S}^2)$$

$$\ddot{\mathbf{w}} + (c_M \mathbf{E} + c_K \mathbf{S}^2) \dot{\mathbf{w}} + \mathbf{S}^2 \mathbf{w} = \Phi^T \mathbf{f} = \bar{\mathbf{f}}.$$

alakba írható át, vagyis egy széteső differenciálegyenlet-rendszerhez jutottunk,



Bevezetés

1. Fogalmak

2. Variációs elvek

3. Elemmodell

4. Egyváltozós feladat

5. Kompatibilis elemek

6. Kétfváltozós feladatok

7. Lemezelemek

8. Modellezés

9. Rezgésstan

- Alapfogalmak
- Variációs elv
- Végeselemes modell
- Szabadrezgések
- Főkoordináták
- Rayleigh-hányados
- Jacobi-féle módszer
- Iterációs technikák
- **Gerjesztett rezgések**
- Megoldási módszerek
- Stabilitás

10. Intelligens szerk.

Csillapított rendszerek esete

A j -dik egyenlet

$$\ddot{w}_j + (c_M + c_K \alpha_j^2) \dot{w}_j + \alpha_j^2 w_j = \bar{f}_j \quad j = 1, \dots, n,$$

amelyben a

$$c_M + c_K \alpha_j^2 = 2\xi \alpha_j$$

összefüggés a ξ a *Lehr-féle* csillapítás definícióját szolgáltatja. A főkoordináták rendszerébe átranzformált differenciálegyenlet megoldását közvetlen fel tudjuk írni:

$$w_j(t) = e^{-\beta_j t} \left(w_{0j} \cos \nu_j t + \frac{\beta_j w_{0j} + \dot{w}_{0j}}{\nu_j} \sin \nu_j t \right) + \frac{1}{\nu_j} \int_0^t \bar{f}_j(\tau) e^{-\beta_j(t-\tau)} \sin \nu_j(t-\tau) d\tau$$

ahol $w_{0j} = w_j(0)$, $\dot{w}_{0j} = \dot{w}_j(0)$ a kezdeti elmozdulás és sebesség, és $\nu_j = \sqrt{\alpha_j^2 - \beta_j^2}$, $\beta_j = \alpha_j \xi$.



Csillapított rendszerek esete

Bevezetés

1. Fogalmak

2. Variációs elvek

3. Elemmodell

4. Egyváltozós feladat

5. Kompatibilis elemek

6. Kétfváltozós feladatok

7. Lemezelemek

8. Modellezés

9. Rezgésstan

- Alapfogalmak
- Variációs elv
- Végeselemes modell
- Szabadrezgések
- Főkoordináták
- Rayleigh-hányados
- Jacobi-féle módszer
- Iterációs technikák
- Gerjesztett rezgések
- Megoldási módszerek
- Stabilitás

10. Intelligens szerk.

Bevezetve a kezdeti feltételek vektorait \mathbf{w}_0 , $\dot{\mathbf{w}}_0$ a

$$\beta^T = \langle \beta_1, \dots, \beta_j, \dots, \beta_n \rangle, \quad \nu^T = \langle \nu_1, \dots, \nu_j, \dots, \nu_n \rangle$$

$$\cos \nu t = \langle \cos \nu_1 t, \dots, \cos \nu_n t \rangle \quad (\cos \leftrightarrow \sin)$$

$$\exp(-\beta(t - \tau)) = \langle e^{-\beta_1(t-\tau)}, \dots, e^{-\beta_j(t-\tau)}, \dots, e^{-\beta_n(t-\tau)} \rangle$$

$$\begin{aligned} \mathbf{w}(t) = & \exp(-\beta t) \left[(\cos \nu t + \beta \nu^{-1} \sin \nu t) \mathbf{w}_0 + \nu^{-1} \sin \nu t \dot{\mathbf{w}}_0 \right] + \\ & + \nu^{-1} \int_0^t \exp(-\beta(t - \tau)) \sin \nu(t - \tau) \bar{\mathbf{f}}(\tau) d\tau . \end{aligned}$$

A kezdeti értékek a \mathbf{q}_0 és $\dot{\mathbf{q}}_0$

$$\mathbf{w}_0 = \Phi^T \mathbf{M} \mathbf{q}_0, \quad \dot{\mathbf{w}}_0 = \Phi^T \mathbf{M} \dot{\mathbf{q}}_0$$

a szokásos összefüggések alapján számolhatók.



Bevezetés

1. Fogalmak

2. Variációs elvek

3. Elemmodell

4. Egyváltozós feladat

5. Kompatibilis elemek

6. Kétváltozós feladatok

7. Lemezelemek

8. Modellézés

9. Rezgés

- Alapfogalmak
- Variációs elv
- Végeselemes modell
- Szabadrezgések
- Főkoordináták
- Rayleigh-hányados
- Jacobi-féle módszer
- Iterációs technikák
- Gerjesztett rezgések
- **Megoldási módszerek**
- Stabilitás

10. Intelligens szerk.

A mozgásegyenlet közvetlen integrálása

A mozgásegyenlet egy másodrendű differenciálegyenlet rendszer:

$$\mathbf{M}\ddot{\mathbf{q}} + \mathbf{C}\dot{\mathbf{q}} + \mathbf{K}\mathbf{q} = \mathbf{f}(t).$$

Cél a differenciálegyenletet diszkrét időpillanati kielégítése, és az időlépések közötti gyorsulás megváltozásának feltétele.

- időlépésenként elégítjük ki az egyenletet (azaz időben is diszkrét pontokat nézünk)
- a felvett feltételből következő időlépésen belüli vizsgálat. Ahhoz, hogy $\dot{\mathbf{q}}$ és $\ddot{\mathbf{q}}$ -t kiszámíthassuk, feltételezéseket kell tenni. Alapvetően ezek a hipotézisek, feltételezések szabják meg a megoldási módszert. Így beszélünk pl. *Differencia-* és *Newmark*-módszerről.

Az eljárások nagy számítási igényeik miatt előnyösen számítógéppel hajthatók végre. Ezzel kapcsolatban további kérdések merülnek fel:

- mennyi a megoldás időszükséglete?
- milyen a kapott megoldás pontossága?
- milyen az eljárás stabilitása?



Differencia módszer

Bevezetés

1. Fogalmak

2. Variációs elvek

3. Elemmodell

4. Egyváltozós feladat

5. Kompatibilis elemek

6. Kétfváltozós feladatok

7. Lemezelemek

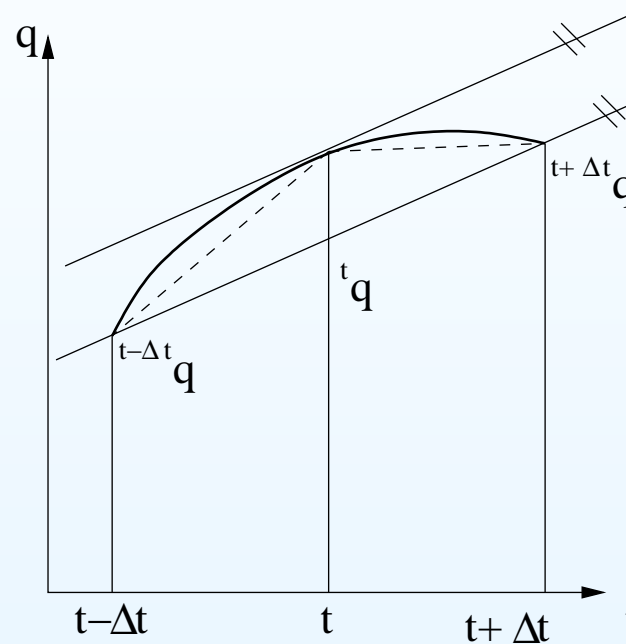
8. Modellezés

9. Rezgés

- Alapfogalmak
- Variációs elv
- Végesesemes modell
- Szabadrezgések
- Főkoordináták
- Rayleigh-hányados
- Jacobi-féle módszer
- Iterációs technikák
- Gerjesztett rezgések
- **Megoldási módszerek**
- Stabilitás

10. Intelligens szerk.

Az eljárás másodrendűen pontos és feltételesen stabil.



$${}^t \dot{q} = \frac{{}^{t+\Delta t} q - {}^{t-\Delta t} q}{2\Delta t}$$

$${}^t \ddot{q} = \frac{1}{\Delta t} \left[\frac{{}^{t+\Delta t} q - {}^t q}{\Delta t} - \frac{{}^t q - {}^{t-\Delta t} q}{\Delta t} \right] = \frac{1}{\Delta t^2} [{}^{t+\Delta t} q - 2{}^t q + {}^{t-\Delta t} q]$$



Differencia módszer

Bevezetés

1. Fogalmak

2. Variációs elvek

3. Elemmodell

4. Egyváltozós feladat

5. Kompatibilis elemek

6. Kétváltozós feladatok

7. Lemezelemek

8. Modellezés

9. Rezgés

- Alapfogalmak
- Variációs elv
- Véges elemes modell
- Szabadrezgések
- Főkoordináták
- Rayleigh-hányados
- Jacobi-féle módszer
- Iterációs technikák
- Gerjesztett rezgések
- **Megoldási módszerek**
- Stabilitás

10. Intelligens szerk.

A t időpillanatra vonatkoztatjuk a mozgásegyenletet:

$$\mathbf{M} {}^t\ddot{\mathbf{q}} + \mathbf{C} {}^t\dot{\mathbf{q}} + \mathbf{K} {}^t\mathbf{q} = {}^t\mathbf{f},$$

majd az alábbi lineáris algebrai egyenletrendszert kapjuk meg az ismeretlen ${}^{t+\Delta t}\mathbf{q}$ elmozdulásra

$$\left(\frac{1}{\Delta t^2} \mathbf{M} + \frac{1}{2 \Delta t} \mathbf{C} \right) {}^{t+\Delta t}\mathbf{q} = {}^t\mathbf{f} - \left(\mathbf{K} - \frac{2}{\Delta t^2} \mathbf{M} \right) {}^t\mathbf{q} - \left(\frac{1}{\Delta t^2} \mathbf{M} - \frac{1}{2 \Delta t} \mathbf{C} \right) {}^{t-\Delta t}\mathbf{q}$$

Ebből formálisan kifejezhető az ismeretlen elmozdulás a $t + \Delta t$ időpillanatban a korábban meghatározott elmozdulás vektorok függvényeként

$${}^{t+\Delta t}\mathbf{q} = f \left(\dots, {}^t\mathbf{q}, {}^{t-\Delta t}\mathbf{q} \right)$$

mely alapján az eljárást *explicit-módszernek* nevezzük.



Differencia módszer – Az eljárás indítása

Bevezetés

1. Fogalmak

2. Variációs elvek

3. Elemmodell

4. Egyváltozós feladat

5. Kompatibilis elemek

6. Kétfváltozós feladatok

7. Lemezelemek

8. Modellezés

9. Rezgés

- Alapfogalmak
- Variációs elv
- Végeselemes modell
- Szabadrezgések
- Főkoordináták
- Rayleigh-hányados
- Jacobi-féle módszer
- Iterációs technikák
- Gerjesztett rezgések
- **Megoldási módszerek**
- Stabilitás

10. Intelligens szerk.

A $t = 0$ illetve a $t = -\Delta t$ helyen a \mathbf{q} elmozdulás vektor ismerete szükséges

$${}^0\mathbf{q}, \quad {}^{-\Delta t}\mathbf{q} = ?$$

A kezdeti feltételből adódóan ismert

$$t = 0 \quad : \quad \mathbf{q}(t = 0) = {}^0\mathbf{q}, \quad \dot{\mathbf{q}}(t = 0) = {}^0\dot{\mathbf{q}}$$

A gyorsulás kiszámolható

$$\mathbf{M} {}^0\ddot{\mathbf{q}} + \mathbf{C} {}^0\dot{\mathbf{q}} + \mathbf{K} {}^0\mathbf{q} = {}^0\mathbf{f} \rightarrow {}^0\ddot{\mathbf{q}} = \mathbf{M}^{-1} ({}^0\mathbf{f} - \mathbf{C} {}^0\dot{\mathbf{q}} - \mathbf{K} {}^0\mathbf{q})$$

$$\left. \begin{aligned} {}^0\dot{\mathbf{q}} &= \frac{\Delta t \mathbf{q} - {}^{-\Delta t}\mathbf{q}}{2\Delta t} \rightarrow \Delta t \mathbf{q} = 2\Delta t {}^0\dot{\mathbf{q}} + {}^{-\Delta t}\mathbf{q} \\ {}^0\ddot{\mathbf{q}} &= \frac{1}{\Delta t^2} (\Delta t \mathbf{q} - 2{}^0\mathbf{q} + {}^{-\Delta t}\mathbf{q}) \end{aligned} \right\}$$



Differencia módszer – Az eljárás indítása

Bevezetés

1. Fogalmak

2. Variációs elvek

3. Elemmodell

4. Egyváltozós feladat

5. Kompatibilis elemek

6. Kétváltozós feladatok

7. Lemezelemek

8. Modellezés

9. Rezgés

- Alapfogalmak
- Variációs elv
- Véges elemes modell
- Szabadrezgések
- Főkoordináták
- Rayleigh-hányados
- Jacobi-féle módszer
- Iterációs technikák
- Gerjesztett rezgések
- **Megoldási módszerek**
- Stabilitás

10. Intelligens szerk.

$${}^0\ddot{\mathbf{q}} \Delta t^2 = {}^{\Delta t}\mathbf{q} - 2{}^0\mathbf{q} + {}^{-\Delta t}\mathbf{q} = 2\Delta t {}^0\dot{\mathbf{q}} + {}^{-\Delta t}\mathbf{q} - 2{}^0\mathbf{q} + {}^{-\Delta t}\mathbf{q}$$
$$\rightarrow {}^{-\Delta t}\mathbf{q} = {}^0\mathbf{q} - \Delta t {}^0\dot{\mathbf{q}} + \frac{\Delta t^2}{2} {}^0\ddot{\mathbf{q}}$$

Egy speciális helyzet áll elő, ha $\mathbf{C} = \mathbf{0}$ továbbá \mathbf{M} diagonális, akkor ezáltal a feladat könnyen kezelhetővé válik.

$$\left(\frac{1}{\Delta t^2} \mathbf{M}\right) {}^{t+\Delta t}\mathbf{q} = {}^t\mathbf{f} - \left(\mathbf{K} - \frac{2}{\Delta t^2} \mathbf{M}\right) {}^t\mathbf{q} - \left(\frac{1}{\Delta t^2} \mathbf{M}\right) {}^{t-\Delta t}\mathbf{q} \quad \left(\frac{1}{\Delta t^2} \mathbf{M}\right) {}^{t+\Delta t}\mathbf{q} = {}^t\tilde{\mathbf{f}}$$

Mivel a tömegmátrix diagonális

$$\mathbf{M} = \langle m_{11} \ m_{22} \ \dots \ m_{nn} \rangle, \quad m_{ii} > 0$$

az ismeretlen elmozdulás vektor i -dik koordinátája könnyen kifejezhető

$${}^{t+\Delta t}q_i = {}^t\tilde{f}_i \frac{\Delta t^2}{m_{ii}}$$



Bevezetés

1. Fogalmak

2. Variációs elvek

3. Elemmodell

4. Egyváltozós feladat

5. Kompatibilis elemek

6. Kétváltozós feladatok

7. Lemezelemek

8. Modellezés

9. Rezgés

- Alapfogalmak
- Variációs elv
- Végeselemes modell
- Szabadrezgések
- Főkoordináták
- Rayleigh-hányados
- Jacobi-féle módszer
- Iterációs technikák
- Gerjesztett rezgések
- **Megoldási módszerek**
- Stabilitás

10. Intelligens szerk.

Differencia módszer – Időlépés megválasztása

Az eljárás nagy előnye, hogy a \mathbf{K} merevségi mátrixot nem kell invertálni, sőt összeszerkeszteni sem szükséges, mert a szorzás az elem szintjén is végrehajtható:

$$\mathbf{K}^t \mathbf{q} = \sum_e \mathbf{K}^e t \mathbf{q}^e$$

Az eljárás feltételesen stabil, ez azt jelenti, hogy az időlépés kisebb kell legyen mint a csillapítatlan rezgőrendszer legnagyobb sajátrezgéshez tartozó periódus idő π -ed része

$$\Delta t < \frac{T_n}{\pi}$$

ahol T_n a legnagyobb sajátrezgés periódus ideje

$$T_n = \frac{2\pi}{\alpha_n}, \quad [\alpha_n] = \frac{rad}{s}.$$

A Δt -re nagyobb értéket megválasztva a kitérések egyre növekednek, a megoldás nem adja vissza a fizikai valóságot.



Newmark-féle módszer

Bevezetés

1. Fogalmak

2. Variációs elvek

3. Elemmodell

4. Egyváltozós feladat

5. Kompatibilis elemek

6. Kétváltozós feladatok

7. Lemezelemek

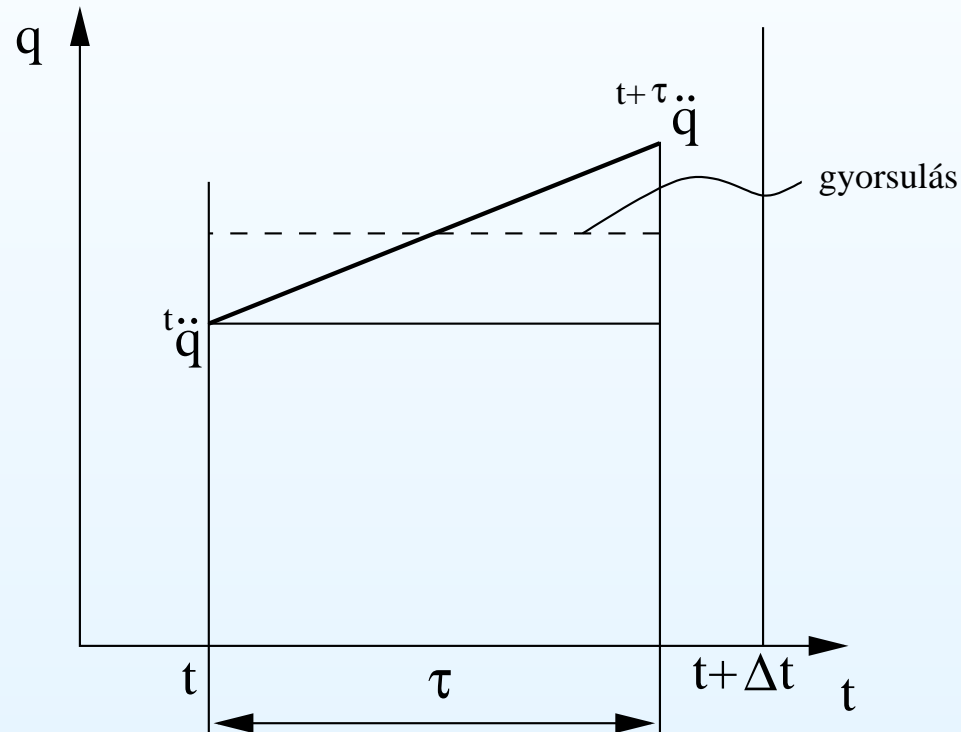
8. Modellezés

9. Rezgésstan

- Alapfogalmak
- Variációs elv
- Végeselemes modell
- Szabadrezgések
- Főkoordináták
- Rayleigh-hányados
- Jacobi-féle módszer
- Iterációs technikák
- Gerjesztett rezgések
- **Megoldási módszerek**
- Stabilitás

10. Intelligens szerk.

Az eljárás alapváltozata az intervallumonkénti súlyozott gyorsulás feltételezésére épül.





Bevezetés

1. Fogalmak

2. Variációs elvek

3. Elemmodell

4. Egyváltozós feladat

5. Kompatibilis elemek

6. Kétfváltozós feladatok

7. Lemezelemek

8. Modellezés

9. Rezgés

- Alapfogalmak
- Variációs elv
- Véges elemes modell
- Szabadrezgések
- Főkoordináták
- Rayleigh-hányados
- Jacobi-féle módszer
- Iterációs technikák
- Gerjesztett rezgések
- **Megoldási módszerek**
- Stabilitás

10. Intelligens szerk.

Newmark-féle módszer

Nem részletezve a levezetést a sebességre és az elmozdulásra az alábbi két összefüggést kapjuk:

$${}^{t+\Delta t}\dot{\mathbf{q}} = {}^t\dot{\mathbf{q}} + (1 - \gamma) (\Delta t) {}^t\ddot{\mathbf{q}} + \gamma \Delta t {}^{t+\Delta t}\ddot{\mathbf{q}}, \quad \gamma \geq \frac{1}{2}$$

$${}^{t+\Delta t}\mathbf{q} = {}^t\mathbf{q} + \Delta t {}^t\dot{\mathbf{q}} + \left(\frac{1}{2} - \beta\right) (\Delta t)^2 {}^t\ddot{\mathbf{q}} + \beta (\Delta t)^2 {}^{t+\Delta t}\ddot{\mathbf{q}}, \quad \beta \geq \frac{1}{4}$$

A számítás a választott súlyozó β , γ tényezőktől függően feltételesen stabil avagy feltételnélkülien stabil. Maga a módszer *implicit*.



Bevezetés

1. Fogalmak

2. Variációs elvek

3. Elemmodell

4. Egyváltozós feladat

5. Kompatibilis elemek

6. Kétfváltozós feladatok

7. Lemezelemek

8. Modellézés

9. Rezgésstan

- Alapfogalmak
- Variációs elv
- Végeselemes modell
- Szabadrezgések
- Főkoordináták
- Rayleigh-hányados
- Jacobi-féle módszer
- Iterációs technikák
- Gerjesztett rezgések
- Megoldási módszerek
- **Stabilitás**

10. Intelligens szerk.

Stabilitás

Az integráló eljárások stabilitása azért vetődik fel, mert az időlépésenkénti előrehaladás során, elképzelhető, hogy egyre távolabb kerülve a pontos megoldástól, a számítógép számábrázolását is figyelembe véve, a számok túlcsoordulhatnak.

Az explicit eljárások formálisan felírhatók a következő alakban is

$${}^{t+\Delta t} \begin{bmatrix} \mathbf{q} \\ \dot{\mathbf{q}} \\ \ddot{\mathbf{q}} \end{bmatrix} = \mathbf{A}^t \begin{bmatrix} \mathbf{q} \\ \dot{\mathbf{q}} \\ \ddot{\mathbf{q}} \end{bmatrix} + \mathbf{L} {}^{t+\Delta t} \mathbf{f}$$

Ha a terhelés hatásától eltekintünk, akkor az integrálás a megoldás vektor ismételt transzformációjaként interpretálható

$${}^{t+\Delta t} \hat{\mathbf{q}} = \mathbf{A}^t \hat{\mathbf{q}}$$

A transzformáció a megoldási vektort akkor nagyítja, ha van olyan sajátértéke, amelyik nagyobb, mint 1, és akkor kicsinyíti a megoldást, ha minden sajátérték kisebb mint 1. A numerikus integráló eljárás tehát stabil, ha

$$\rho(\mathbf{A}) \leq 1$$



Bevezetés

1. Fogalmak

2. Variációs elvek

3. Elemmodell

4. Egyváltozós feladat

5. Kompatibilis elemek

6. Kétfváltozós feladatok

7. Lemezelemek

8. Modellezés

9. Rezgés

- Alapfogalmak
- Variációs elv
- Végeselemes modell
- Szabadrezgések
- Főkoordináták
- Rayleigh-hányados
- Jacobi-féle módszer
- Iterációs technikák
- Gerjesztett rezgések
- Megoldási módszerek
- **Stabilitás**

10. Intelligens szerk.

Newmark módszer stabilitása

A választott γ és β tényezőktől függ. Ennek értelmében a $\gamma = \frac{1}{2}$ és $\beta = \frac{1}{4}$ trapéz formula feltétel nélkül stabil és energia konzervatív, azaz megőrzi a bevitt energiát. $\gamma < \frac{1}{2}$ -nél a számítás instabil. A feltételesen stabil altartományban áll:

$$(\gamma + 0.5)^2 - 4\beta \leq \frac{4}{\alpha_n^2 \Delta t^2}$$

illetve a határgörbén

$$\beta = \frac{1}{16} + \frac{(\gamma^2 + \gamma)}{4}.$$

Vizsgálatok folytathatók az amplitudó és a rezgésperiódikus idejének pontatlansága tárgyában is. A következő táblázat összegzi az eredményeket, ahol α_n jelöli a vizsgált rendszer legnagyobb sajátkörfrekvenciájának az értékét, T a harmónikus rezgésidő exakt értékét, ΔT az eltérés értékét.



Megoldási módszerek összefoglalása

Bevezetés

1. Fogalmak

2. Variációs elvek

3. Elemmodell

4. Egyváltozós feladat

5. Kompatibilis elemek

6. Kétfváltozós feladatok

7. Lemezelemek

8. Modellezés

9. Rezgés

- Alapfogalmak
- Variációs elv
- Végeselemes modell
- Szabadrezgések
- Főkoordináták
- Rayleigh-hányados
- Jacobi-féle módszer
- Iterációs technikák
- Gerjesztett rezgések
- Megoldási módszerek
- **Stabilitás**

10. Intelligens szerk.

Algoritmus	γ	β	Időlépés hossz határa $\alpha_n \Delta t$	Amplitudó hiba	Periodicitási hiba $\frac{\Delta T}{T}$
Tiszta explicit explicit	0	0	0	$\frac{\alpha_n^2 \Delta t^2}{4}$	0
Centrális diff. m.	0.5	0	2	0	$-\frac{\alpha_n^2 \Delta t^2}{24}$
Lineáris gyorsulás	0.5	1/6	3.46	0	$\frac{\alpha_n^2 \Delta t^2}{24}$
Trapéz-m. (átlag gyorsulás)	0.5	0.25	∞	0	$\frac{\alpha_n^2 \Delta t^2}{12}$

Láthatóan a centrális differencia módszer feltételesen stabil, rövidebb periódus időt szolgáltatva, míg a trapéz féle módszer feltételnélküli számítást tesz lehetővé, hosszabb periódus időt adva. A tiszta explicit módszer habár feltétel nélkül stabil, de az eredmények jelentős amplitudó hibával lesznek terhelve.



Bevezetés

1. Fogalmak

2. Variációs elvek

3. Elemmodell

4. Egyváltozós feladat

5. Kompatibilis elemek

6. Kétváltozós feladatok

7. Lemezelemek

8. Modellelés

9. Rezgésstan

10. Intelligens szerk.

- Példa
- Smart materials
- Vezérlés
- Piezo és VEM
- Állapotegyenlet
- Diszkrétizáció
- Egyszerű tartófeladat

10. Intelligens szerk.



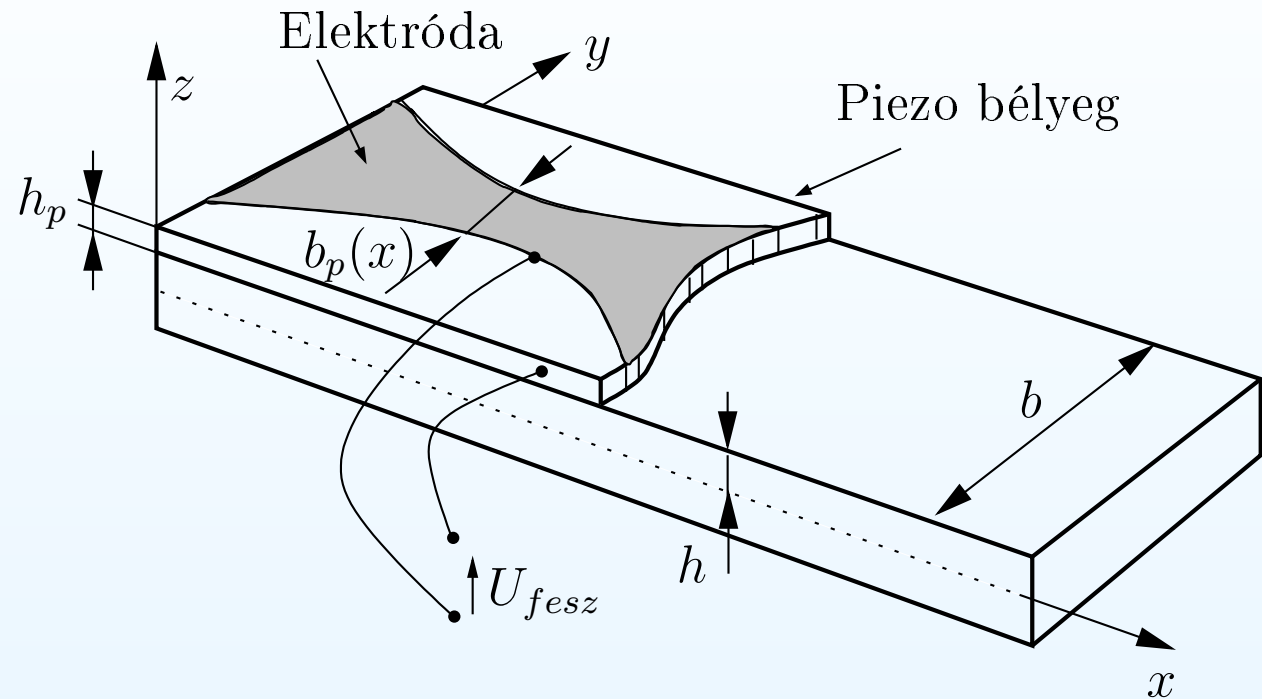
Példa

Bevezetés

1. Fogalmak
2. Variációs elvek
3. Elemmodell
4. Egyváltozós feladat
5. Kompatibilis elemek
6. Kétfváltozós feladatok
7. Lemezelemek
8. Modellezés
9. Rezgésstan
10. Intelligens szerk.

● Példa

- Smart materials
- Vezérlés
- Piezo és VEM
- Állapotegyenlet
- Diszkretizáció
- Egyszerű tartófeladat





Smart materials

Bevezetés

1. Fogalmak

2. Variációs elvek

3. Elemmodell

4. Egyváltozós feladat

5. Kompatibilis elemek

6. Kétfváltozós feladatok

7. Lemezelemek

8. Modellezés

9. Rezgésstan

10. Intelligens szerk.

- Példa
- **Smart materials**
- Vezérlés
- Piezo és VEM
- Állapotegyenlet
- Diszkretizáció
- Egyszerű tartófeladat

Léteznek olyan anyagok (*smart materials*) amelyek magában a szerkezeti elemekkel együttesen mozognak, deformálódnak.

1. Emlékező anyagok 5%-os nyúlást tudnak elszenvedni a hőmérséklet változás hatására. Alacsony frekvenciáknál és pontosság elérésénél használatosak pl. NITIOI
2. Piezoelektromos anyagok amelyek 0.1%-os nyúlásig dolgoznak, egyrészt mérőeszközként (a nyúlás hatására az anyagban elektromos feszültség alakul ki), ill. végrehajtóként (az elektromos feszültség hatására az anyag deformálódik). A Polimer és kerámia anyagok szolgálnak e célra, így *polyvinylidene fluoride* (PVF_2). A kerámiák közül a Zirconat és Titánból készült (PZT) jelzésű anyagok magas frekvenciáknál és nagy pontosságnál előnyösen használhatók.
3. Mágneses anyagok amelyek 0.15% os nyúlásig képesek dolgozni, főképp nyomásnak kitett tartományokban. A legjobbak egyike a *TERFENOL – D*.



Bevezetés

1. Fogalmak

2. Variációs elvek

3. Elemmodell

4. Egyváltozós feladat

5. Kompatibilis elemek

6. Kétfváltozós feladatok

7. Lemezelemek

8. Modellezés

9. Rezgésstan

10. Intelligens szerk.

- Példa
- Smart materials
- **Vezérlés**
- Piezo és VEM
- Állapotegyenlet
- Diszkrétizáció
- Egyszerű tartófeladat

Rezgőrendszer vezérlése visszacsatolással

A vizsgált mechanikai rendszer mozgását a végelelemes diszkrétizálás után

$$\mathbf{M}\ddot{\mathbf{q}} + \mathbf{C}\dot{\mathbf{q}} + \mathbf{K}\mathbf{q} = \mathbf{f} = \mathbf{F}\mathbf{u}$$

ahol \mathbf{F} a bemenet (input) hatásmátrixa, \mathbf{u} a vezérelt bemeneti (input) vektor

$$\mathbf{x} = \begin{bmatrix} \mathbf{q} \\ \dot{\mathbf{q}} \end{bmatrix}$$

a másodrendű mozgásegyenletünk elsőrendűre vezethető

$$\underbrace{\dot{\mathbf{x}}}_{(2n,1)} = \frac{d}{dt} \begin{bmatrix} \mathbf{q} \\ \dot{\mathbf{q}} \end{bmatrix} = \begin{bmatrix} \mathbf{0} & \mathbf{E} \\ -\mathbf{M}^{-1}\mathbf{K} & -\mathbf{M}^{-1}\mathbf{C} \end{bmatrix} \begin{bmatrix} \mathbf{q} \\ \dot{\mathbf{q}} \end{bmatrix} + \begin{bmatrix} \mathbf{0} \\ \mathbf{M}^{-1}\mathbf{F} \end{bmatrix} \mathbf{u} =$$
$$= \underbrace{\mathbf{A}}_{(2n,2n)} \underbrace{\mathbf{x}}_{(2n,1)} + \underbrace{\mathbf{B}}_{(2n,2m)} \underbrace{\mathbf{u}}_{(2m,1)}$$



Állapotegyenlet sémája

Bevezetés

1. Fogalmak

2. Variációs elvek

3. Elemmodell

4. Egyváltozós feladat

5. Kompatibilis elemek

6. Kétfváltozós feladatok

7. Lemezelemek

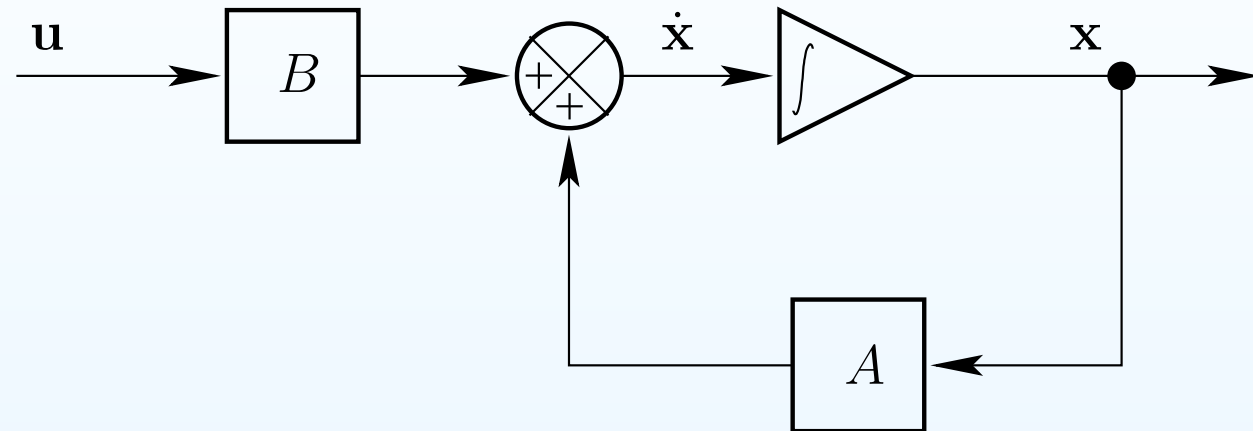
8. Modellezés

9. Rezgés

10. Intelligens szerk.

- Példa
- Smart materials
- **Vezérlés**
- Piezo és VEM
- Állapotegyenlet
- Diszkrétizáció
- Egyszerű tartófeladat

Grafikailag a rendszert az alábbi ábra szemlélteti.





Bevezetés

1. Fogalmak

2. Variációs elvek

3. Elemmodell

4. Egyváltozós feladat

5. Kompatibilis elemek

6. Kétfváltozós feladatok

7. Lemezelemek

8. Modellezés

9. Rezgésstan

10. Intelligens szerk.

- Példa
- Smart materials
- **Vezérlés**
- Piezo és VEM
- Állapotegyenlet
- Diszkrétizáció
- Egyszerű tartófeladat

Rezgőrendszer vezérlése visszacsatolással

Bevezetve egy ún. kimeneti (mérő, szenzor) vektort y -t, a dinamikai rendszerünket az alábbi egyenletrendszer fogja jellemezni

$$\begin{aligned}\dot{\mathbf{x}} &= \mathbf{A} \mathbf{x} + \mathbf{B} \mathbf{u}, \\ \mathbf{y} &= \mathbf{Y}_x \mathbf{x}\end{aligned}$$

továbbá

$$\mathbf{u} = -\mathbf{G} \mathbf{y} = -\mathbf{G} \mathbf{Y}_x \mathbf{x}$$

$$\mathbf{u} = -\mathbf{G} \mathbf{x} \quad (\mathbf{Y}_x = \mathbf{E})$$

Ez utóbbit az *állapot teljes visszacsatolásának* nevezzük.



Bevezetés

1. Fogalmak

2. Variációs elvek

3. Elemmodell

4. Egyváltozós feladat

5. Kompatibilis elemek

6. Kétváltozós feladatok

7. Lemezelemek

8. Modellezés

9. Rezgésstan

10. Intelligens szerk.

- Példa
- Smart materials
- **Vezérlés**
- Piezo és VEM
- Állapotegyenlet
- Diszkrétizáció
- Egyszerű tartófeladat

Rezgőrendszer vezérlése visszacsatolással

A teljes visszacsatolásnál

$$\dot{\mathbf{x}} = \mathbf{A} \mathbf{x} + \mathbf{B} \mathbf{u} = (\mathbf{A} - \mathbf{B} \mathbf{G}) \mathbf{x}$$

az erősítő \mathbf{G} mátrix meghatározására a *pólus elhelyezési* technikát és a Lineáris Kvadratikus Regulátor (*LQR*) módszert szokás használni. Szokásos az állapotegyenletet és a kimeneti (output) egyenletet bővített formában értelmezni

$$\begin{aligned} \dot{\mathbf{x}}(t) &= \mathbf{A} \mathbf{x}(t) + \mathbf{B} \mathbf{u}(t), \\ \mathbf{y}(t) &= \mathbf{Y}_x \mathbf{x}(t) + \mathbf{Y}_u \mathbf{u}(t) \end{aligned}$$



Bevezetés

1. Fogalmak

2. Variációs elvek

3. Elemmodell

4. Egyváltozós feladat

5. Kompatibilis elemek

6. Kétfváltozós feladatok

7. Lemezelemek

8. Modellezés

9. Rezgésstan

10. Intelligens szerk.

- Példa
- Smart materials
- **Vezérlés**
- Piezo és VEM
- Állapotegyenlet
- Diszkrétizáció
- Egyszerű tartófeladat

Rezgőrendszer vezérlése visszacsatolással

Gyakran azonban jobb megoldás érhető el, ha a bemenet értékének meghatározásánál a rendszer pillanatnyi állapota is befolyást gyakorol. Kétfajta visszacsatolásról beszélünk. Az első esetben a bemenet függ az állapotvektortól és egy ún. előrejelző értéktől

$$\mathbf{u}(t) = -\mathbf{G} \mathbf{x}(t) + \mathbf{F}_r \mathbf{r}(t)$$

ahol \mathbf{G} - az erősítő mátrix, \mathbf{F}_r - előrejelző mátrix, $\mathbf{r}(t)$ - a referencia bemenet vektora. Ezt a szabályozást állapot visszacsatolású szabályozásnak nevezik.



Bevezetés

1. Fogalmak

2. Variációs elvek

3. Elemmodell

4. Egyváltozós feladat

5. Kompatibilis elemek

6. Kétfváltozós feladatok

7. Lemezelemek

8. Modellezés

9. Rezgésstan

10. Intelligens szerk.

- Példa
- Smart materials
- **Vezérlés**
- Piezo és VEM
- Állapotegyenlet
- Diszkrétizáció
- Egyszerű tartófeladat

Visszacsatolt állapotra alapozott szabályozás

Gyakran azonban jobb megoldás érhető el, ha a bemenet értékének meghatározásánál a rendszer pillanatnyi állapota is befolyást gyakorol. Kétfajta visszacsatolásról beszélünk. Az egyik esetben a bemenet függ az állapotvektortól és egy ún. előrejelző értéktől

$$\mathbf{u}(t) = -\mathbf{G} \mathbf{x}(t) + \mathbf{F}_r \mathbf{r}(t)$$

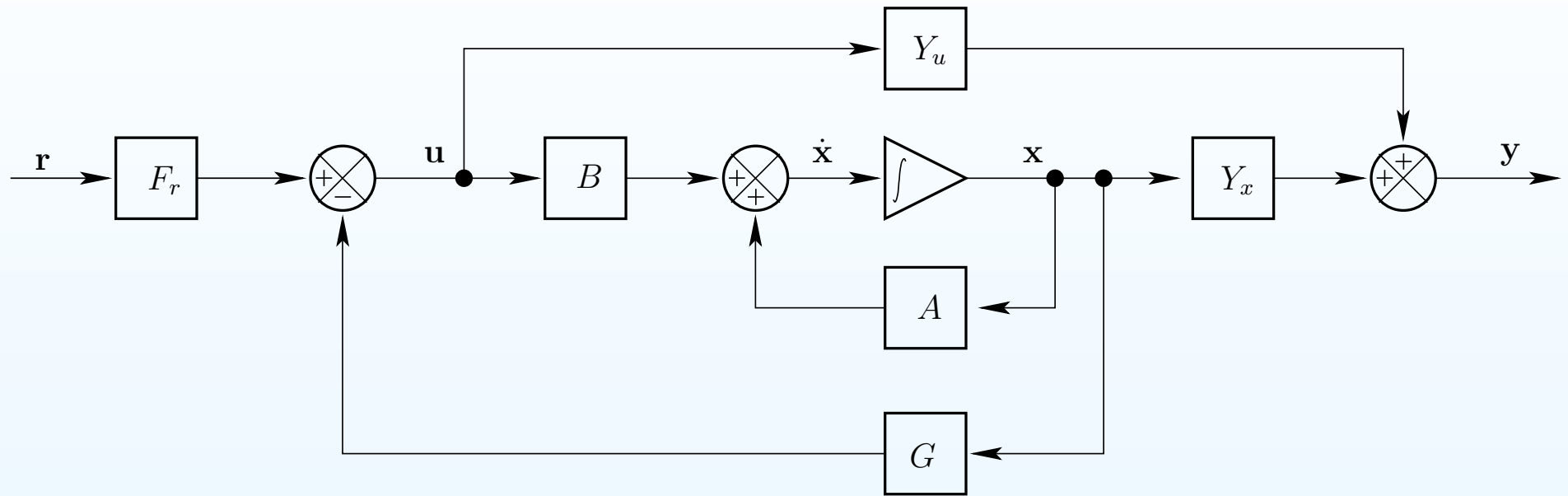
ahol \mathbf{G} - az erősítő mátrix, \mathbf{F}_r - előrejelző mátrix, $\mathbf{r}(t)$ - a referencia bemenet vektora. Ezt a szabályozást állapot visszacsatolású szabályozásnak nevezik.

A másik esetben

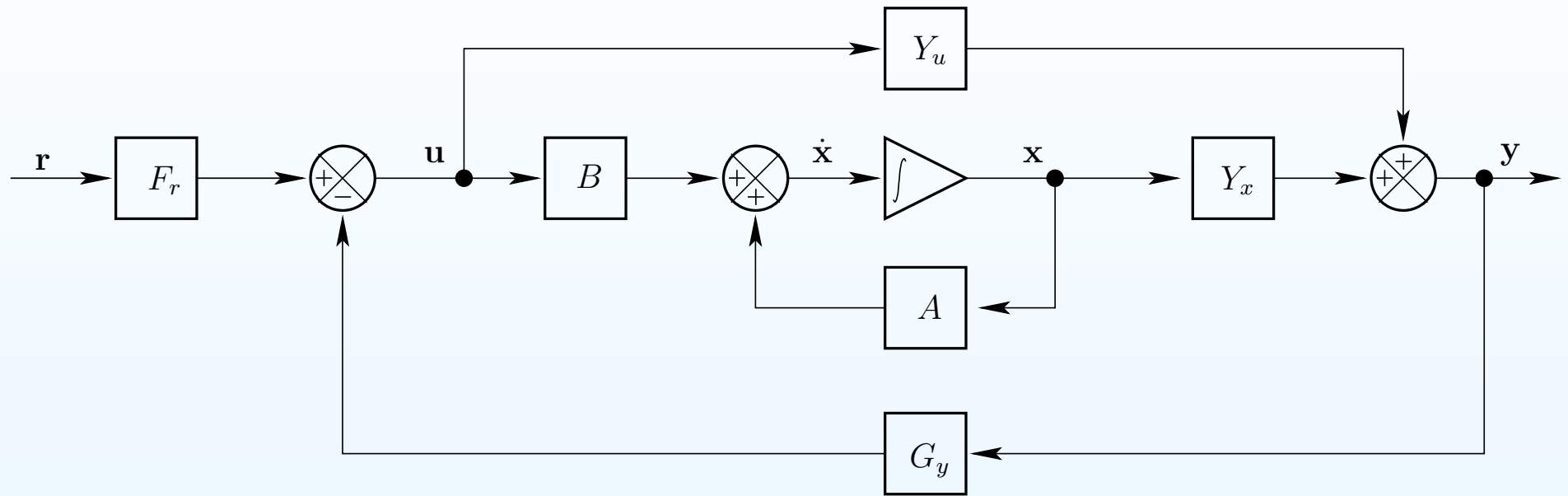
$$\mathbf{u}(t) = -\mathbf{G}_y \mathbf{y}(t) + \mathbf{F}_r \mathbf{r}(t)$$

a szabályozás kimeneti jelek visszacsatolásával valósul meg

Visszacsatolt állapotra alapozott szabályozás



Visszacsatolt kimenetre alapozott szabályozás





Bevezetés

1. Fogalmak

2. Variációs elvek

3. Elemmodell

4. Egyváltozós feladat

5. Kompatibilis elemek

6. Kétfváltozós feladatok

7. Lemezelemek

8. Modellézés

9. Rezgésstan

10. Intelligens szerk.

- Példa
- Smart materials
- Vezérlés
- **Piezo és VEM**
- Állapotegyenlet
- Diszkrétizáció
- Egyszerű tartófeladat

Piezo és VEM

A villamos eltolás \mathbf{d} [As/m^2] vektora ki kell elégítse a

$$\nabla \cdot \mathbf{d} = 0$$

egyenletet, a villamos térerősség \mathbf{e} [V/m] pedig, az ε [As/Vm] dielektromos állandón keresztül van kapcsolatban a villamos eltolással

$$\mathbf{d} = \varepsilon \mathbf{e}$$

A villamos térerősség ψ [V] potenciálon keresztül számolható, azaz

$$\mathbf{e} = -\nabla\psi \quad \Rightarrow \quad \nabla \times \mathbf{e} = 0, \quad \Delta\psi = 0$$

Fennállnak az alábbi peremfeltételek

$$\psi = \psi_0 \quad \mathbf{r} \in A_\psi$$

$$\mathbf{d} \cdot \mathbf{n} = -\bar{Q} \quad \mathbf{r} \in A_Q$$



Piezo és VEM

Bevezetés

1. Fogalmak

2. Variációs elvek

3. Elemmodell

4. Egyváltozós feladat

5. Kompatibilis elemek

6. Kétváltozós feladatok

7. Lemezelemek

8. Modellezés

9. Rezgésstan

10. Intelligens szerk.

- Példa
- Smart materials
- Vezérlés
- Piezo és VEM
- Állapotegyenlet
- Diszkrétizáció
- Egyszerű tartófeladat

Az állapotegyenletek vonatkozásában (hőhatást elhanyagolva) áll:

$$\begin{aligned} \mathbf{T} &= \mathbf{D} \cdot \cdot \mathbf{A} - \mathbf{E}_p \cdot \mathbf{e} \\ \mathbf{d} &= \mathbf{E}_p^T \cdot \cdot \mathbf{A} + \mathbf{K}_D \cdot \mathbf{e} \end{aligned}$$

ahol \mathbf{T} , \mathbf{A} a mechanikai feszültségi és alakváltozási tenzor, \mathbf{D} , \mathbf{E}_p a mechanikai anyagállandók 4-ed rendű tenzora, ill. a piezoelektromos kapcsoló 3-ad rendű tenzor, \mathbf{K}_D a dielektromos állandók másodrendű tenzora.

Az alakváltozás

$$\mathbf{A} = \mathbf{D}^{-1} \cdot \cdot \mathbf{T} + \mathbf{D}^{-1} \cdot \cdot \mathbf{E}_p \cdot \mathbf{e} = \mathbf{D}^{-1} \cdot \cdot \mathbf{T} + \mathbf{D}_p \cdot \mathbf{e}$$

ahol \mathbf{D}_p piezorugalmassági állandók 3-ad rendű tenzora, míg a második egyenlet

$$\mathbf{d} = \mathbf{E}_p^T \cdot \cdot \mathbf{D}^{-1} \cdot \cdot \mathbf{T} + (\mathbf{E}_p^T \cdot \cdot \mathbf{D}_p + \mathbf{K}_D) \cdot \mathbf{e} = \mathbf{D}_p^T \cdot \cdot \mathbf{T} + \mathbf{P} \cdot \mathbf{e}$$

ahol \mathbf{P} a permittivitási 2-d rendű tenzor.



Bevezetés

1. Fogalmak

2. Variációs elvek

3. Elemmodell

4. Egyváltozós feladat

5. Kompatibilis elemek

6. Kétfváltozós feladatok

7. Lemezelemek

8. Modellezés

9. Rezgésstan

10. Intelligens szerk.

- Példa
- Smart materials
- Vezérlés
- Piezo és VEM
- **Állapotegyenlet**
- Diszkrétizáció
- Egyszerű tartófeladat

Piezoelektromos hatást figyelembe vevő állapotegyenlet

A *Bubnov-Galjorkin*-féle módszer alkalmazásával egy testre felírva

$$\int_V \delta \mathbf{u} \cdot (\mathbf{T} \cdot \nabla + \rho \mathbf{k} - \rho c_M \dot{\mathbf{u}} - \rho \ddot{\mathbf{u}}) dV - \int_{A_p} \delta \mathbf{u} \cdot (\mathbf{T} \cdot \mathbf{n} - \bar{\mathbf{p}}) dA = 0$$

továbbá az elektromos mezők esetén

$$\int_V \delta \psi (\mathbf{d} \cdot \nabla) dV - \int_{A_Q} \delta \psi (Q + \mathbf{d} \cdot \mathbf{n}) dA = 0$$

$$\int_V \delta \mathbf{A} \cdot \cdot [\mathbf{D} \cdot \cdot \mathbf{A} - \mathbf{E}_p \cdot \mathbf{e}] dV - \int_V \delta \mathbf{u} \cdot [\rho \mathbf{k} - \rho c_M \dot{\mathbf{u}} - \rho \ddot{\mathbf{u}}] dV - \int_{A_p} \delta \mathbf{u} \cdot \bar{\mathbf{p}} dA = 0$$

$$- \int_V (\delta \psi \nabla) \cdot [\mathbf{E}_p^T \cdot \cdot \mathbf{A} + \mathbf{K}_D \cdot \mathbf{e}] dV - \int_{A_Q} \delta \psi \bar{Q} dA = 0$$



Bevezetés

1. Fogalmak

2. Variációs elvek

3. Elemmodell

4. Egyváltozós feladat

5. Kompatibilis elemek

6. Kétfváltozós feladatok

7. Lemezelemek

8. Modellezés

9. Rezgésstan

10. Intelligens szerk.

- Példa
- Smart materials
- Vezérlés
- Piezo és VEM
- Állapotegyenlet
- **Diszkretizáció**
- Egyszerű tartófeladat

Diszkretizáció

Kétfajta mezőt kell közelíteni, egyik az u elmozdulásmező, a másik a ψ potenciál.

A végelelemes approximációs technikát felhasználva, írhatjuk, hogy

$$\mathbf{u} \Rightarrow \mathbf{u} = \mathbf{N}_u \mathbf{q}, \quad \mathbf{A} \Rightarrow \quad \boldsymbol{\varepsilon} = \mathbf{B}_u \mathbf{q}, \quad \psi = \mathbf{N}_\psi \psi$$

Behelyettesítések révén a megoldandó differenciál egyenletrendszer

$$\begin{aligned} \mathbf{M}\ddot{\mathbf{q}} + \mathbf{C}\dot{\mathbf{q}} + \mathbf{K}_{uu}\mathbf{q} + \mathbf{K}_{u\psi}\psi &= \mathbf{f}_u, \\ \mathbf{K}_{\psi u}\mathbf{q} + \mathbf{K}_{\psi\psi}\psi &= \mathbf{f}_\psi \end{aligned}$$

Itt

$$\begin{aligned} \mathbf{M} &= \int_V \mathbf{N}_u^T \rho \mathbf{N}_u dV, & \mathbf{C} &= \int_V \mathbf{N}_u^T c_M \mathbf{N}_u dV, & \mathbf{K}_{uu} &= \int_V \mathbf{B}_u^T \mathbf{D} \mathbf{B}_u dV, \\ \mathbf{K}_{u\psi} &= \int_V \mathbf{B}_u^T \mathbf{E}_p \mathbf{B}_\psi dV = \mathbf{K}_{\psi u}^T, & \mathbf{K}_{\psi\psi} &= \int_V \mathbf{B}_\psi^T \mathbf{K}_D \mathbf{B}_\psi dV, \\ \mathbf{f}_u &= \int_V \mathbf{N}_u^T \rho \mathbf{k} dV + \int_{A_p} \mathbf{N}_u^T \bar{\mathbf{p}} dA, & \mathbf{f}_\psi &= \int_{A_Q} \mathbf{N}_\psi^T \bar{Q} dA, \\ \underbrace{\mathbf{D}}_{(6,6)}, & \underbrace{\mathbf{E}_p^T}_{(3,6)}, & \underbrace{\mathbf{K}_D}_{(3,3)} \end{aligned}$$



Egyszerű tartófeladat

Bevezetés

1. Fogalmak

2. Variációs elvek

3. Elemmodell

4. Egyváltozós feladat

5. Kompatibilis elemek

6. Kétváltozós feladatok

7. Lemezelemek

8. Modellezés

9. Rezgésstan

10. Intelligens szerk.

- Példa
- Smart materials
- Vezérlés
- Piezo és VEM
- Állapotegyenlet
- Diszkrétizáció
- **Egyszerű tartófeladat**

A végeelemes tárgyalásmódnak megfelelően

$$\varepsilon = D^{-1}\sigma + \mathbf{D}_p \mathbf{e}$$

$$\mathbf{d} = \mathbf{D}_p^T \sigma + \mathbf{P} \mathbf{e}$$

$$\mathbf{D}_p^T = \begin{bmatrix} 0 & 0 & 0 & 0 & d_{15} & 0 \\ 0 & 0 & 0 & d_{25} & 0 & 0 \\ d_{31} & d_{32} & d_{33} & 0 & 0 & d_{36} \end{bmatrix}$$

Egydimenziós esetben a b vastagságú piezotárca alsó és felső felülete között a poliarizációs iránnyal megegyező U_{fesz} -t helyezve, a fajlagos nyúlás

$$\varepsilon_z = \varepsilon_3 = d_{33}U_{fesz}/b$$

amiből a piezotárca vastagságának megváltozása

$$\Delta b = d_{33}U_{fesz}$$



Egyszerű tartófeladat

Bevezetés

1. Fogalmak

2. Variációs elvek

3. Elemmodell

4. Egyváltozós feladat

5. Kompatibilis elemek

6. Kétváltozós feladatok

7. Lemezelemek

8. Modellezés

9. Rezgésstan

10. Intelligens szerk.

- Példa
- Smart materials
- Vezérlés
- Piezo és VEM
- Állapotegyenlet
- Diszkrétizáció
- Egyszerű tartófeladat

A feszültség sarkainak megváltoztatása rövidülést fog okozni.

Ha veszünk egy piezo lapocskát, amire a feszültséget a polarizációs irányban a lapocska vastagsága mentén helyezük el, akkor a vastagságra merőleges irányban a lap L hosszának megváltozása

$$\Delta L = d_{31} \frac{U_{fesz}}{b} L$$

Végezetül vizsgáljunk egy téglalap keresztmetszetű prizmatikus tartóra elhelyezett változó $b_p(x)$ szélességű piezobélyeget. A tartó hossz tengelye x , a vastagság irányába mutasson a z tengely. A tartó magassága h a piezobélyegé h_p . A piezobélyegre U_{fesz} hat.



Példa

Bevezetés

1. Fogalmak

2. Variációs elvek

3. Elemmodell

4. Egyváltozós feladat

5. Kompatibilis elemek

6. Kétfváltozós feladatok

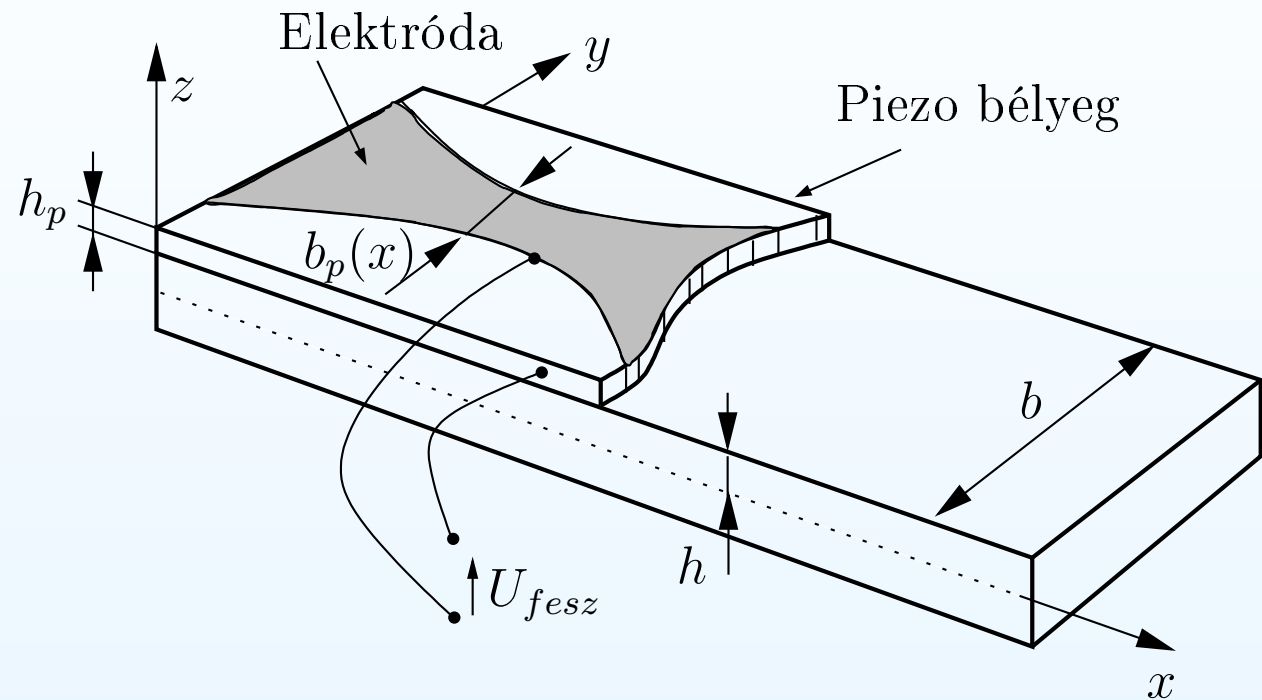
7. Lemezelemek

8. Modellezés

9. Rezgésstan

10. Intelligens szerk.

- Példa
- Smart materials
- Vezérlés
- Piezo és VEM
- Állapotegyenlet
- Diszkretizáció
- Egyszerű tartófeladat





Bevezetés

1. Fogalmak

2. Variációs elvek

3. Elemmodell

4. Egyváltozós feladat

5. Kompatibilis elemek

6. Kétfváltozós feladatok

7. Lemezelemek

8. Modellezés

9. Rezgésstan

10. Intelligens szerk.

- Példa
- Smart materials
- Vezérlés
- Piezo és VEM
- Állapotegyenlet
- Diszkrétizáció
- Egyszerű tartófeladat

Egyszerű tartófeladat

A hosszirányba mutató mechanikai feszültség a piezobélyegben és a tartóban

$$\sigma_x = \sigma_1 = E_{piezo}\varepsilon_x - E_{piezo}d_{31}\frac{U_{fesz}}{h_p}, \quad \sigma_x = E\varepsilon_x$$

ahol E_{piezo} , E a bélyeg és a tartó Young-féle modulusa, U_{fesz} a bélyegre adott feszültség.

A tartó mozgásegyenlete

$$(I_y E w_0'')'' + A \rho \ddot{w}_0 - p = 0$$

ahonnan $p = 0$ esetén

$$A \rho \ddot{w}_0 = M_y''$$



Bevezetés

1. Fogalmak

2. Variációs elvek

3. Elemmodell

4. Egyváltozós feladat

5. Kompatibilis elemek

6. Kétfváltozós feladatok

7. Lemezelemek

8. Modellézés

9. Rezgésstan

10. Intelligens szerk.

- Példa
- Smart materials
- Vezérlés
- Piezo és VEM
- Állapotegyenlet
- Diszkrétizáció
- Egyszerű tartófeladat

Egyszerű tartófeladat

A hajlítónyomaték

$$M_y = \int_A \sigma_x z \, dA = - (I_y E + I_{y, piezo} E_{piezo}) w''_0 + E_{piezo} d_{31} \frac{U_{fesz}}{h_p} (h_p b_p(x)) h$$

ami rövidebben

$$M_y = - (I_y E)_{red} w''_0 + E_{piezo} d_{31} \frac{U_{fesz}}{h_p} (h_p b_p(x)) h$$

mellyel a mozgásegyenlet

$$A \rho \ddot{w} + ((I_y E)_{red} w''_0)'' = E_{piezo} d_{31} \frac{U_{fesz}}{h_p} h_p h (b_p(x))''$$

KÖSZÖNÖM A FIGYELMET!